

Razvoj i validacija metode za određivanje elementarnih onečišćenja u eritromicinu

Brzović, Ana

Master's thesis / Diplomski rad

2016

Degree Grantor / Ustanova koja je dodijelila akademski / stručni stupanj: **University of Zagreb, Faculty of Pharmacy and Biochemistry / Sveučilište u Zagrebu, Farmaceutsko-biokemijski fakultet**

Permanent link / Trajna poveznica: <https://urn.nsk.hr/urn:nbn:hr:163:517152>

Rights / Prava: [In copyright](#)/[Zaštićeno autorskim pravom.](#)

Download date / Datum preuzimanja: **2024-04-27**



Repository / Repozitorij:

[Repository of Faculty of Pharmacy and Biochemistry University of Zagreb](#)



Ana Brzović

**Razvoj i validacija metode za određivanje
elementarnih onečišćenja u eritromicinu**

DIPLOMSKI RAD

Predan Sveučilištu u Zagrebu Farmaceutsko-biokemijskom fakultetu

Zagreb, 2016.

Ovaj diplomski rad prijavljen je na kolegiju Analitika lijekova 2 (Zavod za analitiku i kontrolu lijekova) Sveučilišta u Zagrebu Farmaceutsko-biokemijskog fakulteta, a izrađen u PLIVA – TAPI Istraživanje i razvoj (organizacijska jedinica Analitika) pod stručnim vodstvom prof. dr. sc. Biljane Nigović, prof. dr. sc. Ernesta Meštrovića i Matije Vukovinskog, mag. chem.

Zahvaljujem se prof. dr. sc. Biljani Nigović, prof. dr. sc. Ernestu Meštroviću i Matiji Vukovinskom, mag. chem. na stručnom vodstvu, prenesenom znanju i velikoj pomoći u izradi ovog diplomskog rada. Veliko hvala na strpljenju i podršci mojoj obitelji i Ivanu.

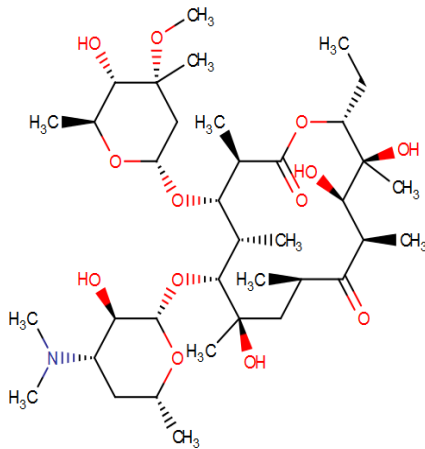
Sadržaj

| | |
|-----------------------------------------------------------------|----|
| 1. UVOD..... | 1 |
| 1.1 ERITROMICIN | 1 |
| 1.2 ONEČIŠĆENJA U FARMACEUTSKIM PROIZVODIMA | 3 |
| 1.3 REGULATORNI ZAHTJEVI ZA ELEMENTARNA ONEČIŠĆENJA..... | 4 |
| 1.4 INDUKTIVNO SPREGNUTA PLAZMA S MASENOM SPEKTROMETRIJOM | 7 |
| 1.4.1 NAČELA RADA ICP-MS | 8 |
| 1.4.2 PREDNOSTI I NEDOSTATCI ICP-MS..... | 10 |
| 1.5 VALIDACIJA ANALITIČKOG POSTUPKA | 10 |
| 2. OBRAZLOŽENJE TEME..... | 12 |
| 3. MATERIJALI I METODE..... | 13 |
| 3.1. MATERIJALI..... | 13 |
| 3.2 RAZVOJ METODE | 19 |
| 3.2.1 ISPITIVANJE TOPLJIVOSTI | 19 |
| 3.2.2 PRELIMINARNA ISPITIVANJA | 19 |
| 3.2.3 VALIDACIJA METODE..... | 19 |
| 4. REZULTATI I RASPRAVA..... | 25 |
| 4.1 ISPITIVANJE TOPLJIVOSTI | 25 |
| 4.2 VALIDACIJA ANALITIČKE METODE..... | 29 |
| 4.2.1 KADMIJ | 29 |
| 4.2.2 OLOVO | 31 |
| 4.2.3 ARSEN | 34 |
| 4.2.4 ŽIVA..... | 36 |
| 4.2.5 KOBALT | 39 |
| 4.2.6 VANADIJ | 41 |
| 4.2.7 NIKAL..... | 44 |
| 4.2.8 TALIJ | 46 |
| 4.2.9 SREBRO..... | 49 |

| | |
|------------------------------------------------------------------|----|
| 4.2.10 SELENIJ | 51 |
| 4.2.11 ZLATO | 54 |
| 4.2.12 RUTENIJ | 56 |
| 4.2.13 RODIJ | 59 |
| 4.2.14 PALADIJ | 61 |
| 4.2.15 IRIDIJ | 64 |
| 4.2.16 PLATINA | 66 |
| 4.2.17 OSMIJ | 69 |
| 4.2.18 ANTIMON | 71 |
| 4.2.19 LITIJ | 74 |
| 4.2.20 BARIJ | 76 |
| 4.2.21 BAKAR | 79 |
| 4.2.22 MOLIBDEN | 81 |
| 4.2.23 KOSITAR | 84 |
| 4.2.24 KROM | 86 |
| 4.3 ANALIZA ELEMENTARNIH ONEČIŠĆENJA U UZORKU ERITROMICINA | 89 |
| 6. LITERATURA | 91 |
| 7. SAŽETAK/SUMMARY | 92 |
| 7.1 SAŽETAK | 92 |
| 7.2 SUMMARY | 92 |

1. UVOD

1.1 ERITROMICIN



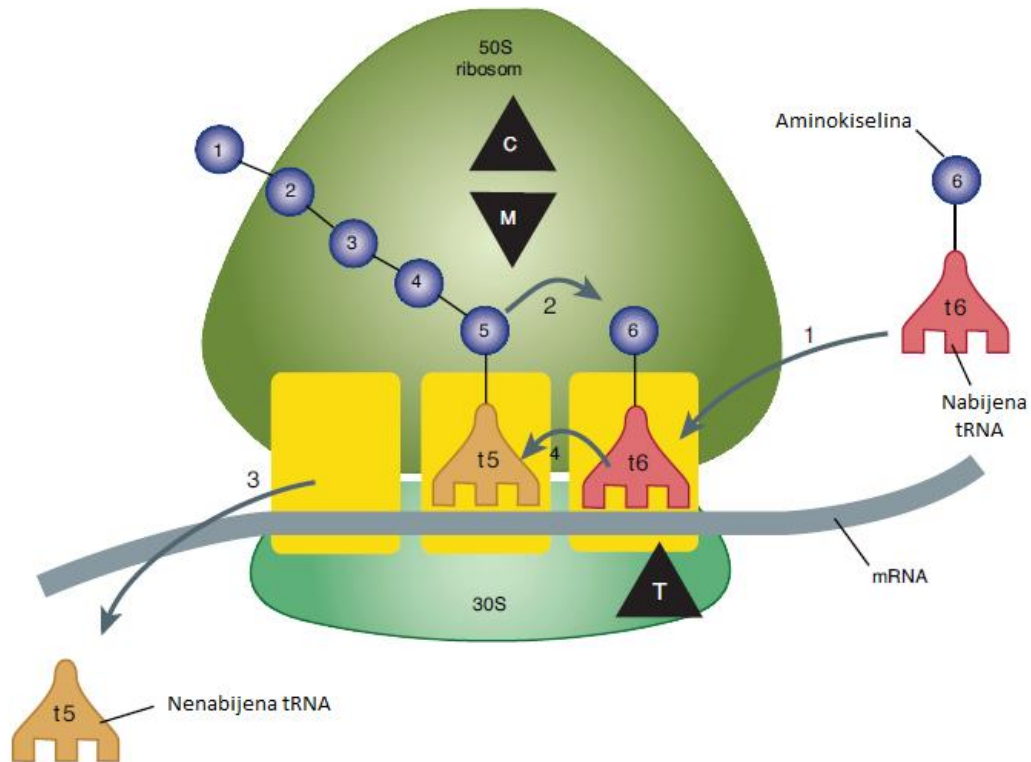
Slika 1: Struktura molekule eritromicina

Makrolidi su klasa strukturno sličnih spojeva koje karakterizira makrociklični prsten (najčešće od 14 ili 16 atoma) na kojima se nalaze deoksi šećeri. Eritromicin, kao predstavnik grupe makrolida izoliran je 1952. godine iz *Streptomyces erythreus*. Klaritromicin i azitromicin su semisintetski derivati eritromicina.

Struktura eritromicina se sastoji od makrolidnog prstena na koji su vezani šećeri dezosamin i kladinoza. (Slika 1.) Slabo je topljiv u vodi, a dobro se otapa u organskim otapalima. (Katzung, 2012)

Eritromicin je djelotvoran protiv gram pozitivnih organizama, posebice pneumococci, streptococci, staphylococci i corynebacteria. Gram negativni organizmi: *Neisseria*, *Bordetella pertussis*, *Bartonella henselae*, *Treponema pallidum* i *Campylobacter* vrste su osjetljive. Indiciran je kod infekcija gram pozitivnim bakterijama koje su rezistentne na penicilin i tetracikline i kod pacijenata koji su alergični na penicilin. Za Mikoplazme i *Legionella pneumoniu* eritromicin je lijek prvog izbora. (Mutschler, Derendorf, 1995)

Antibakterijska aktivnost eritromicina može biti bakteriostatska ili baktericidna pri višim koncentracijama za osjetljive organizme. Aktivnost je povećana pri alkalnom pH. Inhibicija sinteze proteina se postiže reverzibilnim vezanjem na bakterijsku 50S podjedinicu ribosoma što blokira translokaciju aminoacila. (Slika 2.) Rezistencija na eritromicin nastaje zbog promjena na mjestu vezanja eritromicina na bakterijski ribosom koje su posredovane plazmidima.



Slika 2: Koraci u sintezi proteina i mete nekoliko antibiotika. Aminokiseline su prikazane kao numerirani krugovi. Nabijena tRNA koja nosi aminokiselinu 6 veže se na akceptorsko mjesto ribosoma 70S (korak 1). Peptidil tRNA na donorskom mjestu s aminokiselinama od 1 do 5 veže rastući aminokiselinski lanac na aminokiselinu 6 (transpeptidacija, korak 2). Nenabijena tRNA na donorskom mjestu se oslobađa (korak 3) i novi 6 aminokiselinski lanac sa svojom tRNA se prebacuje na peptidilno mjesto (translokacija, korak 4). Makrolidi se vežu na 50S podjedinicu i blokiraju transpeptidaciju (korak 2). (Prilagođeno iz Katzung, Masters i Trevor, 2012)

Najčešće nuspojave vezane uz eritromicin su gastrointestinalne (anoreksija, dijareja, mučnina, povraćanje) i upravo su one jedan od najčešćih razloga odustajanja od terapije eritromicinom i zamjene s drugim antibiotikom. Postoji i mogućnost nastanka kožnog osipa.

Eritromicin može inhibirati citokrom P450 i zato ulazi u interakciju s drugim lijekovima. Zbog inhibicije citokroma može uzrokovati povećanje koncentracije nekih lijekova kao što su: varfarin, statini, kafein, teofilin, karbamazepin, ciklosporin, digoksin, triazolam, midazolam, alfentanil, kinidin, takrolimus, valproat, fenitoin i dr. Ne smije se koristiti s terfenadinom, astemisolom ili cisapridom jer kombinacija može uzrokovati opasne nepravilnosti otkucaja srca i iznenadnu smrt.

1.2 ONEČIŠĆENJA U FARMACEUTSKIM PROIZVODIMA

Onečišćenja su u aktivnim farmaceutskim supstancijama definirana kao tvari koje nemaju ljekoviti učinak, a imaju potencijal izazvati neželjene učinke. Stoga, količina onečišćenja u lijeku, ljekovitoj tvari i pomoćnim tvarima mora biti kontrolirana kako bi osigurali sigurnost. Prema ICH smjernici Q3A "Onečišćenja u novoj ljekovitoj tvari" onečišćenje se definira kao bilo koji sastojak nove ljekovite tvari koji nije kemijski definiran kao nova ljekovita tvar. (ICH Harmonised tripartite Guideline, Q3A, 2006) Prema ICH smjernici Q3B "Onečišćenja u novom gotovom lijeku" onečišćenja su definirana kao bilo koji sastojak novog gotovog lijeka koji nije ljekovita tvar ili ekscipijens u gotovom lijeku. (ICH Harmonised Tripartite Guideline, Q3B, 2006)

U farmaceutskom proizvodu onečišćenje izaziva probleme u kvaliteti s obzirom da može utjecati na djelotvornost lijeka ili na sigurnost primjene. Stoga, svako onečišćenje mora biti u potpunosti poznato, kvalitativno i kvantitativno, te ako je potrebno provedeno kroz toksikološku procjenu. (Qiu, Norwood, 2007) Ponekad onečišćenja mogu imati teratogene, mutagene ili karcinogene efekte. (Rama Rao i sur., 2010) S kemijske perspektive, farmaceutska onečišćenja su neizbježna jer nijedna kemijska reakcija nije 100% selektivna i nijedan kemijski spoj nije potpuno stabilan. (Qiu, Norwood, 2007)

Kod većine lijekova nepoželjne su primjese malih molekula poput *vode* (može hidrolizirati neke lijekove ili utjecati na djelotvornost), *malih elektrofila* (na primjer, aldehidi i derivati karboksilnih kiselina), peroksida (mogu oksidirati neke lijekove) i metala (mogu katalizirati oksidaciju i druge razgradne puteve lijekova). (Pilaniya i sur., 2010)

Onečišćenja mogu potjecati iz različitih izvora. Potencijalni izvor onečišćenja su svi polazni materijali (reagensi, katalizatori, ligandi, otapala) koji se koriste u sintezi aktivne ljekovite tvari ali i pomoćne tvari koje se koriste u oblikovanju formulacije. Između ostaloga, onečišćenja mogu potjeći i tijekom procesa sinteze aktivne ljekovite tvari zbog pojave različitih intermedijera ili nusprodukta u sintezi. Izvor onečišćenja može biti i korištena proizvodna oprema ili pakiranje a mogu nastati i nakon završetka proizvodnje kao razgradni produkti samog lijeka u uvjetima čuvanja. (Qiu, Norwood, 2007; Pilaniya i sur., 2010)

1.3 REGULATORNI ZAHTJEVI ZA ELEMENTARNA ONEČIŠĆENJA

Proizvođači lijekova su u potrazi za nabavljačima ljekovitih tvari koji im mogu omogućiti što jeftiniju djelatnu tvar (API) koja je uz to u skladu s trenutnim regulatornim zahtjevima, ali i onim zahtjevima koji će u skoro vrijeme biti implementirani. Kontrola elementarnih onečišćenja je postala jedna od najbrže rastućih područja unutar istraživanja, razvoja i kontrole kvalitete ljekovite tvari, pomoćnih tvari i lijekova. Postoje četiri izvora elementarnih onečišćenja u gotovom ljekovitom obliku: ljekovita tvar, pomoćna sredstva, proizvodnja i spremnici. Metali u farmaceutskim proizvodima su štetni iz nekoliko razloga: same toksičnosti metala, stvaranja netopljivih metalnih kompleksa i oksidacijske i hidrolitičke katalize. (Waterman i sur., 2003) Proizvođači lijekova se trude što više smanjiti kontaminaciju lijeka s metalima iz svog proizvodnog procesa i pakiranja te isto tako dobiti ljekovitu tvar i pomoćne tvari s što manjim količinama elementarnih onečišćenja. S obzirom da nije vjerojatno da se može povećati količina elementarnih onečišćenja koja dolaze od proizvodnog procesa ili pakiranja ako se oni ne mijenjaju, proizvođači lijekova mogu kontrolirati elementarna onečišćenja kontrolom nabavljača ljekovite stvari i pomoćnih tvari. Elementarna onečišćenja u ljekovitoj tvari mogu biti prisutna ukoliko su preostali katalizatori koji se namjerno dodaju u proces sinteze ili ako su prisutni kao onečišćenje.

Toksikološke studije su pokazale da su kadmij, živa, krom, olovo, nikal i arsen najtoksičniji metali, (Waterman i sur., 2003) međutim ne treba se zanemariti toksičnost niti ostalih metala.

Trenutno postoje nekoliko regulatornih zahtjeva koje se tiču kontrole elementarnih onečišćenja u farmaceutskom proizvodu. Najznačajnije su: Guideline for elemental impurities Q3D koje je izdala Internacionalna konvencija za harmonizaciju (International Conference on Harmonisation – ICH) i dva poglavlja 232 i 233 iz Američke farmakopeje (The United States Pharmacopeia USP).

Prije izlaska gore spomenutih poglavlja često su se koristila i poglavlja iz Europske farmakopeje (Ph. Eur.), kao i Američke i Britanske farmakopeje koja za ispitivanje ukupnog sadržaj metala u farmaceutskim materijalima koriste načelo reakcija između metala u uzorku i tioacetamidnog reagensa kojim se talože metali u obliku obojenih sulfida. Boja nastalog taloga uspoređuje se s paralelno tretiranom standardnom otopinom olova poznate koncentracije. Boja sulfida različitih teških metala varira od bijele do žute, narančaste, smeđe

i crne što otežava vizualnu usporedbu sa tamno smeđom bojom otopine olovovog sulfida. Ukupni sadržaj teških metala izražava se u odnosu na standardnu otopinu olova kao limit test. Iako je još u upotrebi ova metoda je nespecifična, neosjetljiva, zahtijeva puno vremena i vrlo često ima mali analitički prinos. Nespecifičnost znači da s ovom metodom nemamo informaciju koji teški metal daje pozitivni rezultat što je veliki nedostatak metode. (Wang i sur., 2000.)

ICH vodič za elementarna onečišćenja Q3D odnosi se na nove gotove lijekove i nove lijekove koji sadrže postojeće djelatne tvari. Implementacija Q3D smjernica na postojeće lijekove očekuje se nakon isteka 36 mjeseci od objave ICH vodiča. Ove smjernice uvedene su kako bi se ispunile potrebe pacijenata, farmaceutske industrije i regulatornih vlasti i kako bi se postavilo dopušteno dnevno izlaganje (Permitted Daily Exposure – PDE) za svaki metal od toksikološkog značaja. Q3D klasificira teške metale u tri skupine s obzirom na njihovu toksičnost i vjerojatnost pojavljivanja u ljekovitom proizvodu.

1) Elementi As, Cd, Hg i Pb su toksični i imaju ograničenu ili nikakvu primjenu u proizvodnji farmaceutika.

2) Elementi u ovoj skupini su podijeljeni u dvije podskupine 2A i 2B s obzirom na vjerojatnost pojavljivanja u ljekovitom obliku.

2A) Elementi u ovoj skupini imaju relativno visoku vjerojatnost pojavljivanja u ljekovitom obliku i zbog toga zahtijevaju procjenu rizika iz svih potencijalnih izvora elementarnih onečišćenja. Ovdje ubrajamo sljedeće elemente: Co, Ni i V.

2B) Elementi u ovoj skupini imaju smanjenu vjerojatnost pojavljivanja u ljekovitom obliku, a oni su: Ag, Au, Ir, Os, Pd, Pt, Rh, Ru, Se i Tl.

3) Elementi u ovoj skupini su relativno male toksičnosti kada su oralno primjenjeni ali zahtijevaju procjenu rizika kada se primjenjuju parenteralno ili inhalacijski. Tu ubrajamo: Li, Sb, Ba, Mo, Cu, Sn, Cr. (Wang i sur., 2010.)

Tijekom razvoja svi namjerno dodani elementi kao i nenamjerno dodani elementi koje je potrebno testirati u skladu sa smjernicom moraju se analizirati. U ICH smjernici Q3D nalazi se tablica s dopuštenim koncentracijama elementarnih onečišćenja za procjenu sadržaja onečišćenja teškim metalima kod ljekovitih oblika s dozom ne višom od 10g/dan (Tablica 1). Čimbenici koji su razmatrani u procjeni sigurnosti za utvrđivanje PDE su: oksidacijsko stanje elementa u kojem će se nalaziti u lijeku, ljudska izloženost, najrelevantnija studija na životinjama, put primjene i relevantne završne točke. (Wang i sur., 2010.)

| ELEMENT | SKUPINA | Oralni PDE µg/dan | Parenteralni PDE µg/dan | Inhalacijski PDE µg/dan |
|---------|---------|----------------------|----------------------------|----------------------------|
| Cd | 1 | 5 | 2 | 2 |
| Pb | 1 | 5 | 5 | 5 |
| As | 1 | 15 | 15 | 2 |
| Hg | 1 | 30 | 3 | 1 |
| Co | 2A | 50 | 5 | 3 |
| V | 2A | 100 | 10 | 1 |
| Ni | 2A | 200 | 20 | 5 |
| Tl | 2B | 8 | 8 | 8 |
| Au | 2B | 100 | 100 | 1 |
| Pd | 2B | 100 | 10 | 1 |
| Ir | 2B | 100 | 10 | 1 |
| Os | 2B | 100 | 10 | 1 |
| Rh | 2B | 100 | 10 | 1 |
| Ru | 2B | 100 | 10 | 1 |
| Se | 2B | 150 | 80 | 130 |
| Ag | 2B | 150 | 10 | 7 |
| Pt | 2B | 100 | 10 | 1 |
| Li | 3 | 550 | 250 | 25 |
| Sb | 3 | 1200 | 90 | 20 |
| Ba | 3 | 1400 | 700 | 300 |
| Mo | 3 | 3000 | 1500 | 10 |
| Cu | 3 | 3000 | 300 | 30 |
| Sn | 3 | 6000 | 600 | 60 |
| Cr | 3 | 11000 | 1100 | 3 |

Tablica 1: Dopušteno dnevno izlaganje za elementarna onečišćenja (ICH Harmonised Guideline, Guideline for Elemental Impurities, Q3D, 2014)

1.4 INDUKTIVNO SPREGNUTA PLAZMA S MASENOM SPEKTROMETRIJOM (ICP-MS)

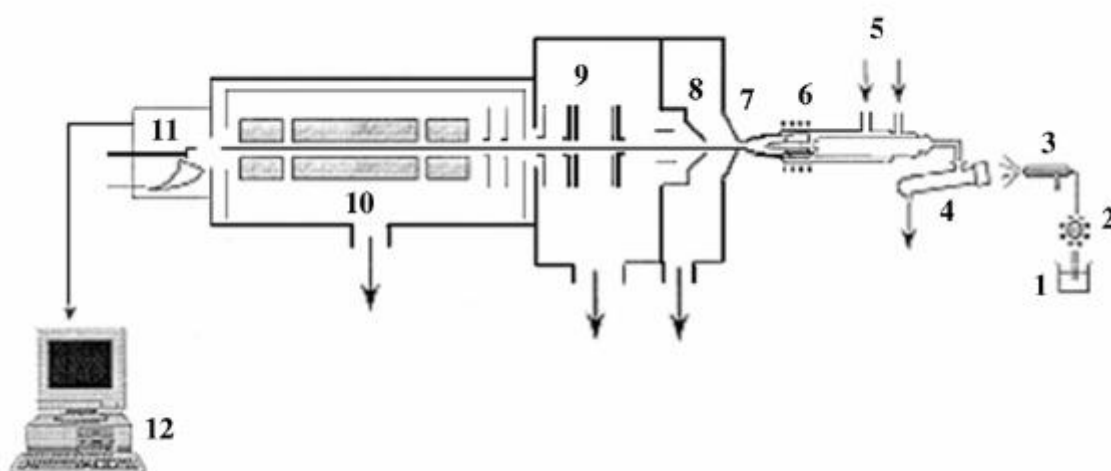
ICP-MS je najbrže razvijajuća tehnika za analizu elemenata u tragovima. Od svoje komercijalizacije 1983. godine koristi se u različitim poljima od kojih su najčešći biomedicina, ekologija i geologija. Iako može odrediti iste elemente kao i ostale atomske spektroskopske tehnike kao što su FAA (Flame Atomic Absorption), ETA (Electrothermal atomization) i ICP-OES (Inductively coupled plasma optical emission spectroscopy, ICP-MS ima veliku prednost u svojoj multielementarnoj analizi, brzini analize, limitu detekcije i sposobnosti mjerenju izotopa. ICP-MS može provoditi kvalitativne, polukvantitativne i kvantitativne analize. Slika 3 prikazuje elemente koje se pomoću ICP-MS može kvantitativno analizirati (obojeni elementi). (Thomas, 2004; Bazilio, Weinrich, 2012)



Slika 3. Približan limit detekcije s ICP-MS (preuzeto od PerkinElmer, Inc.)

1.4.1 NAČELA RADA ICP-MS

ICP-MS je tehnika u kojoj se kao ionizacijski izvor koristi induktivno spregnuta plazma, a za detekciju nastalih iona koristi se maseni spektrometar. Danas su dostupni ICP-MS instrumenti različitog dizajna koji imaju slične komponente: raspršivač, komora za sprejanje, baklja i detektor, ali mogu se značajno razlikovati u dizajnu sučelja, instrumentu za odvajanje masa i vakuumskoj komori. Slika 4. prikazuje shematski dijagram ICP-MS instrumenta s osnovnim dijelovima.



Slika 4. Shematski prikaz ICP-MS instrumenta: 1 – tekući uzorak, 2 – pumpa, 3 – raspršivač, 4 – komora za sprejanje, 5 – ulazi za plin argon u baklju, 6 – baklja, 7 – prvi konus (sampler cone), 8 – drugi konus (skimmer cone), 9 – ionske leće, 10 – kvadrupolni maseni analizator, 11 – detektor multiplikator elektrona, 12 – skupljanje podataka. (Waterman i sur.,)

Uglavnom korišteni plin za plazmu je argon uz temperaturu plazme od 6000 do 10000K, prikladno za ionizaciju i ekscitaciju većine elemenata. Kvarcna baklja se sastoji od tri koncentrične cijevi u koje se uvode različiti protoci argona. Kada se uzorci uvode u plazmu prolaze faze desolvacije, isparavanja, atomizacije i ionizacije prije nego uđu u maseni spektrometar. Nastali ioni se ekstrahiraju u sučelje masenog spektrometra kroz prvi i drugi konus koji su najčešće načinjeni od nikla. Nakon toga ioni se fokusiraju pomoću niza ionskih leća u maseni analizator. Pozitivno nabijeni ioni se razdvajaju na temelju njihovih omjera masa/naboj, a detektiraju se upotrebom multiplikatora elektrona. (Rama Rao i sur., 2010.)

Rad ICP-MS instrumenta možemo podijeliti u nekoliko faza:

1) Uvođenje uzorka

Mehanizam uvođenja uzorka u plazmu možemo promatrati kao dva odvojena koraka, stvaranje aerosola s raspršivačem i razdvajanje kapljica s komorom za sprejanje. Uzorak koji je najčešće u tekućem stanju uvodi se u pneumatski raspršivač gdje se pretvara u aerosol. Male kapljice aerosola, koje predstavljaju 1-2% uzorka se razdvajaju od većih kapljica pomoću komore za sprejanje. Male kapljice aerosola izlaze iz komore za sprejanje i uvode se u baklju.

2) Stvaranje iona

Kako aerosol putuje kroz različite temperaturne zone u baklji, uzorak prolazi faze desolvacije, isparavanja, atomizacije i ionizacije. Tijekom toga, uzorak se pretvara iz tekućeg aerosola u čvrste čestice a potom u plin. Svrha plazme je da formira pozitivno nabijene ione iz uzorka aerosola.

3) Regija sučelja

Uloga regije sučelja (međusklop) je učinkoviti i konzistentni prijenos nastalih iona iz plazme koja je pri atmosferskom tlaku u područje masenog analizatora koje je na puno nižem tlaku (vakuum). Sučelje se sastoji od dva metalna konusa s vrlo malim otvorima koji su u vakuumu. Oba konusa su najčešće od nikla ali mogu biti i od drugih materijala kao što je platina.

4) Usmjeravanje iona

Ionske leće nalaze se između konusa sučelja i masenog spektrometra, a sastoje se od elektrostatskih ploča. Funkcija ionskih leća je da učinkovito usmjere i prenesu ione u maseni spektrometar. Druga, također vrlo važna uloga ionskih leća je zaustaviti neutralne čestice i fotone do masenog analizatora i detektora jer te čestice uzrokuju nestabilnost signala i povećaju pozadinski šum

5) Razdvajanje iona i detekcija

Ioni prolaze iz sustava ionskih leća u vakuum fazu analizatora gdje se razdvajaju na temelju omjera mase i naboja. Koriste se 4 različite vrste masenih analizatora od kojih je najčešći kvadrupolni maseni analizator. Kvadrupolni maseni analizator koristi kombinaciju električnih polja istosmjerne i izmjenične struje iona. Najčešći detektor koji se koristi je multiplikator elektrona. Kada ion izlazi iz kvadrupolnog analizatora udara u dinodu i oslobađa nekoliko sekundarnih elektrona. Ti sekundarni elektroni

udaraju u sljedeću dinodu i na taj način se stvara još elektrona. Multiplikator elektrona detektira svaki ion koji izlazi iz analizatora. Detektor računa i pohranjuje ukupni signal za svaki omjer masa/naboj stvarajući maseni spektar. (Thomas, 2004)

1.4.2 PREDNOSTI I NEDOSTATCI ICP-MS

Brza i učinkovita multielementarna analiza čini ovu tehniku poželjnom za analizu metalnih onečišćenja. U odnosu na ICP- AES, ICP-MS daje informaciju i o izotopima što je bitno jer je ponekad nužna potpuna karakterizacija elemenata. Za razliku od ICP-AES rezultati ispitivanja ICP-MS se lako analiziraju i daju jednostavniji spektar. Brzina analize je također prednost ove metode, s obzirom da mjerenje cijelog skupa elemenata traje nekoliko minuta. Prednost je vrlo niska granica detekcije i pokrivanje širokog raspona elemenata.

Nedostatak ICP-MS u usporedbi s ICP-AES je ta da ne može detektirati neutralne čestice. Glavni nedostatak ICP-MS je visoka cijena uređaja, kao i potrebno veliko znanje za korištenje zbog kojeg još nije u rutinskoj uporabi. ICP-MS zahtijeva vakuumsku pumpu i ionske leće s kojima analitičari često ne znaju baratati. (Hill, 2007)

1.5 VALIDACIJA ANALITIČKOG POSTUPKA

Analitičke metode trebaju biti validirane kako bi se osigurala pouzdanost i točnost analitičkih podataka. Validacija analitičkog postupka je postupak kojim dokazujemo da naša metoda služi svrsi koju smo joj namijenili. Njome se jamči da će se u propisanim uvjetima njegove primjene dobiti točni, precizni i reproducibilni rezultati tijekom dugoročnog korištenja metode.

Osnovni validacijski parametri koji se određuju tijekom validacije analitičke metode su: točnost, preciznost, selektivnost, granica dokazivanja, granica određivanja, linearnost, radno područje i robusnost. Koji parametri će se ispitivati u postupku validacije ovisi o namjeni metode. U metodi koja se koristi u ovom radu ispitivali smo iduće parametre: linearnost, točnost, preciznost, specifičnost, robustnost, ponovljivost te granica određivanja.

Linearnost analitičke metode je mogućnost metode da unutar danog područja daje rezultate koji su izravno proporcionalni koncentraciji analita u uzorku. Za potvrdu linearosti odabira se najmanje pet različitih koncentracija analita.

Točnost metode definira se kao stupanj podudaranja između stvarne, odnosno prihvaćene referentne vrijednosti i srednje vrijednosti dobivene primjenom analitičkog postupka. Eksperimenti se provode najmanje tri puta za najmanje tri koncentracijske razine unutar radnog područja metode.

Preciznost se određuje kao izraz slaganja između niza mjerenja izvedenih iz istog homogenog uzorka pod propisanim uvjetima. Može se iskazati kao ponovljivost, srednja preciznost i obnovljivost. Ponovljivost izražava slaganje rezultata koji su dobiveni u istim radnim uvjetima, istom metodom i u kratkom vremenskom razdoblju. Srednja preciznost označava podudaranje rezultata dobivenih u istom laboratoriju pod propisanim različitim uvjetima u opravdanim vremenskim razmacima. Obnovljivost izražava odstupanje rezultata dobivenih uzastopnim mjerenjem nekoliko istih uzoraka, istom metodom u različitim laboratorijima provedenih od različitih analitičara koristeći različitu opremu.

Specifičnost je svojstvo metode da točno i specifično odredi željeni analit u prisutnosti ostalih komponenata u matrici uzorka pod utvrđenim uvjetima ispitivanja. Specifična metoda je ona kojom se može odrediti samo jedan specifični analit.

Robustnost se određuje kao mjera otpornosti analitičkog postupka na male, namjerne promjene radnih uvjeta metode. Provodi se da bi se odredilo kako male promjene radnih uvjeta i provedbe utječu na rezultat analize.

Granica određivanja je najmanja količina analita u uzorku koja se može kvantificirati uz odgovarajuću preciznost i točnost pri propisanim uvjetima metode. Određuje se razrjeđivanjem osnovne otopine. (Lazarić; Nigović, 2013/2014)

2. OBRAZLOŽENJE TEME

Kontrola elementarnih onečišćenja je samo jedan dio sveukupne kontrole u gotovom lijeku koja osigurava da onečišćenja ne prelaze dopušteni dnevni unos (PDE), ali u skoroj budućnosti morat će se primijeniti za sve farmaceutske proizvode. Zbog toga je to područje jedno od najbrže rastućih područja ne samo u kontroli kvalitete lijekova već i u cijeloj industriji, a to podrazumijeva investiranje u laboratorije, instrumente i stručnjake. Potreba za kontrolom elementarnih onečišćenja vodi do proboja ICP-MS i ICP-AES tehnika u farmaceutskoj industriji. Pacijent ne unosi elementarna onečišćenja samo lijekovima, već i iz vode, zraka i hrane. To je razlog zašto bi se svi trebali uključiti u smanjivanje količine elementarnih onečišćenja u svojim proizvodima. Kako bi se što efikasnije kontrolirala elementarna onečišćenja potrebno je imati veliko znanje o regulatornim zahtjevima, sintezi i proizvodnom procesu kako bi se mogao razviti najbolji pristup kontroli elementarnih onečišćenja.

Cilj ovog rada bio je ispitati može li se razviti brza i učinkovita metoda s kojom se mogu odrediti, u jednom snimanju, sva elementarna onečišćenja propisana ICH Q3D smjernicom u eritromicinu koristeći ICP-MS.

3. MATERIJALI I METODE

3.1. MATERIJALI

Mjere opreza:

Pri izvođenju potrebno je koristiti zaštitnu odjeću, rukavice, naočale i masku za lice.

U izradi ovog rada korišteni su sljedeće supstancije, kemikalije i instrumenti:

Instrumenti:

Vaga: Metler Toledo AT261

ICP-MS: Agilent Technologies 7700x s autosamplerom: Agilent Technologies ASX-500

ICP-MS: Agilent Technologies 7900 s autosamplerom I-AS

Mikrovalna pećnica: Milestone Ultrace Single Reaction Chamber Microwave

Aparat za ultračistu vodu: SG ULTRA CLEAR

Ispitivana supstancija:

Eritromicin, AbbVie Inc.

Kemikalije:

Deionizirana voda

Nitratna kiselina (69,0-70,0%), For Trace Metal Analysis, J. T.

Kloridna kiselina (36,5-38%), For Trace Metal Analysis, J. T. Baker

Perklorna kiselina (69,0-72,0%), For Trace Metal Analysis, J. T. Baker

Vodikov peroksid (30%), Suprapur, Merck, 30%

Popis korištenih standardnih otopina metala dana je u tablici 2.

| STANDARDNA OTOPINA | TIP | PRODUCT NO/LOT | KONC (mg/L) | PROIZVOĐAČ |
|--------------------|-----|-----------------------|-------------|--------------------|
| Litij | CRS | CGLI1/G2-LI03006 | 1000 | Inorganic Ventures |
| Vanadij | | CGV1/J2-V02106 | 996 | |
| Krom | | CGCR(3)10/J2-CR03078R | 9970 | |
| Kobalt | | CGCO1/H2-CO02063 | 998 | |
| Nikal | | CGNI1/J2-NI02103 | 1003 | |
| Bakar | | CGCU10/J2-CU03024 | 10028 | |
| Arsen | | MSAS-10PPM/H2-AS02113 | 10,007 | |
| Selenij | | CGSE(4)1/J2-SE02058 | 1002 | |
| Molibden | | CGMO1/M2-MO02073 | 1000 | |
| Rutenij | | CGRU1/G2-RU01069 | 998 | |
| Rodij | | CGRHN1/G2-RH01125 | 1006 | |
| Paladij | | CGPD1/J2-PD02087 | 1000 | |
| Srebro | | CGAG1/J2-AG03048 | 999 | |
| Kadmij | | MSCH-10PPM/H2-CD02057 | 10,000 | |
| Kositar | | CGSN10/H2-SN02056R | 10039 | |
| Antimon | | CGSB1/J2-SB03037 | 999 | |
| Barij | | SGBA10/H2-BA02081R | 9984 | |
| Osmij | | CGOS1/J2-OS01106 | 1000 | |
| Iridij | | CGIR1/J2-IR01072 | 999 | |
| Platina | | CGPT1/J2-PT02016 | 998 | |
| Zlato | | CGAUN1/J2-AU04053 | 1000 | |
| Živa | | CGHG1/J2-HG02133 | 1002 | |
| Talij | | MSTL-10PPM/J2-TL02024 | 10,000 | |
| Olovo | | MSPB-10PPM/H2-PB03061 | 9,997 | |
| Skandij | | CGSC1/H2-SC02123 | 996 | |
| Germanij | | CGGE1/H2-GE01110 | 1000 | |
| Disprozij | | CGDY1/J2_DY01042 | 1001 | |
| Niobij | | CGNB1/J2-NB01082 | 999 | |

Tablica 2: Popis korištenih standardnih otopina

Izračun sadržaja metala

Sadržaj svakog metala: Ag, As, Au, Ba, Cd, Co, Cr, Cu, Hg, Ir, Li, Mo, Ni, Pb, Pd, Pt, Rh, Ru, Sb, Se, Sn, Tl, V, Os u ppm računa se prema formuli:

$$\text{ppm metala u uzorku} = \frac{c\left(\frac{\text{ng}}{\text{mL}}\right) \times V(\text{mL})}{m(\text{mg})}$$

gdje je: c (ng/mL) – koncentracija metala u uzorku koju je instrument izmjerio

V (mL) – konačni volumen otopljenog uzorka

m (mg) – masa uzorka

Izračun analitičkog prinosa

Analitički prinos (Recovery) računa se prema formuli:

$$\text{Analitički prinos (\%)} = \left(\frac{\left(\frac{C_s}{DF_s} \right) - \left(\frac{C_{us}}{DF_{us}} \right)}{C_A} \right) \times 100$$

gdje je: C_s – koncentracija analita u Spiked sample solution (ppm)

C_{us} – koncentracija analita u Unspiked sample solution (ppm)

DF_s – faktor razrjeđenja of Spiked sample solution ($DF_s = 1$)

DF_{us} – faktor razrjeđenja of unspiked sample solution ($DF_{us} = 1$)

C_A – koncentracija Spike amount (ppm)

Priprema standardnih otopina teških metala

Standardne otopine teških metala pripremaju se u dvije odmjerne tikvice, prva u kojoj je otapalo HNO_3 i druga u kojoj je otapalo HCl . Razlog je taj jer se teški metali najčešće zbog stabilnosti čuvaju ili u jednoj kiselini ili u drugoj. Kod računanja volumena standardne otopine pojedinog teškog metala koji se dodaje u jednu od dvije standardne otopine uvjet je da na 200% specifikacije dodajemo najviše 1 mL pripremljene standardne otopine jer kod volumena većih od 1 mL povećava se mogućnost pogreške.

Priprema standardne otopine 1 (Stock solution, SS-1)

U odmjernu tikvicu od 50 mL ulije se 500 μL koncentrirane nitratne kiseline, po 500 μL standardne otopine kadmija i olova, 800 μL standardne otopine talija, 1500 μL standardne otopine arsena, po 150 μL standardne otopine selenija i srebra, 200 μL standardne otopine

nikla, 550 μL standardne otopine litija, 1200 μL standardne otopine antimona, 3000 μL standardne otopine molibdena, 140 μL standardne otopine barija, 300 μL standardne otopine bakra, 600 μL standardne otopine kositra i 1100 μL standardne otopine kroma. Nadopuni se deioniziranom vodom do oznake.

Priprema standardne otopine 2 (Stock solution, SS-2)

U odmjernu tikvicu od 50 ml ulije se 500 μL koncentrirane klorne kiseline, 30 μL standardne otopine žive, 50 μL standardne otopine kobalta i po 100 μL standardnih otopina paladija, platine, rodija, rutenija, iridija, osmija, vanadija i zlata. Nadopuni se deioniziranom vodom do oznake.

Priprema otopine internog standarda (Stock solution of internal standard, ISTD)

U odmjernu tikvicu od 10 mL ulije se 100 μL nitratne kiseline, te 250 μL standardne otopine germanija. Nadopuni se deioniziranom vodom do oznake.

Priprema radnih otopina

U odmjernu tikvicu uliju se otopine H_2O_2 , HCl , ISTD, SS-1 i SS-2 u količini prikazanoj u tablici. Nadopuni se deioniziranom vodom do oznake.

| 0% | 30% | 50% | 100% | 150% | 200% |
|----------------------------|----------------------------|----------------------------|----------------------------|----------------------------|----------------------------|
| Level 0 | Level 1 | Level 2 | Level 3 | Level 4 | Level 5 |
| BLK/50mL | STD-1/50mL | STD-2/50mL | STD-3/50mL | STD-4/50mL | STD-5/50mL |
| 1mL H_2O_2 |
| 1mL HCl |
| 100 μL ISTD |
| | 150 μL SS-1 | 250 μL SS-1 | 500 μL SS-1 | 750 μL SS-1 | 1000 μL SS-1 |
| | 150 μL SS-2 | 250 μL SS-2 | 500 μL SS-2 | 750 μL SS-2 | 1000 μL SS-2 |

Tablica 3: Priprema radnih otopina BLK, STD-1, STD-2, STD-3, STD-4, STD-5

| Specifikacija | 0% | 30% | 50% | 100% | 150% | 200% |
|---------------|-------|---------|---------|---------|---------|---------|
| | Blank | Level 1 | Level 2 | Level 3 | Level 4 | Level 5 |
| Li | 0 | 33 | 55 | 110 | 165 | 220 |
| V | 0 | 6 | 10 | 20 | 30 | 40 |
| Cr | 0 | 660 | 1100 | 2200 | 3300 | 4400 |
| Co | 0 | 3 | 5 | 10 | 15 | 20 |
| Ni | 0 | 12 | 20 | 40 | 60 | 80 |
| Cu | 0 | 180 | 300 | 600 | 900 | 1200 |
| As | 0 | 0,9 | 1,5 | 3 | 4,5 | 6 |
| Se | 0 | 9 | 15 | 30 | 45 | 60 |
| Mo | 0 | 180 | 300 | 600 | 900 | 1200 |
| Ru | 0 | 6 | 10 | 20 | 30 | 40 |
| Rh | 0 | 6 | 10 | 20 | 30 | 40 |
| Pd | 0 | 9 | 15 | 30 | 45 | 60 |
| Ag | 0 | 0,3 | 0,5 | 1 | 1,5 | 2 |
| Cd | 0 | 360 | 600 | 1200 | 1800 | 2400 |
| Sn | 0 | 72 | 120 | 240 | 360 | 480 |
| Sb | 0 | 84 | 140 | 280 | 420 | 560 |
| Ba | 0 | 6 | 10 | 20 | 30 | 40 |
| Os | 0 | 6 | 10 | 20 | 30 | 40 |
| Ir | 0 | 6 | 10 | 20 | 30 | 40 |
| Pt | 0 | 6 | 10 | 20 | 30 | 40 |
| Au | 0 | 6 | 10 | 20 | 30 | 40 |
| Hg | 0 | 1,8 | 3 | 6 | 9 | 12 |
| Tl | 0 | 0,48 | 0,8 | 1,6 | 2,4 | 3,2 |
| Pb | 0 | 0,3 | 0,5 | 1 | 1,5 | 2 |

Tablica 4: Koncentracije analiziranih teških metala (ppb) u pojedinoj radnoj otopini

| Analiti | <i>Skupina 1</i> | | | | <i>Skupina 2A</i> | | | | | |
|-----------------------------------------------------------------------------|-------------------|-----|-----|-----|-------------------|-----|------|----|----|----|
| | Cd | Pb | As | Hg | Co | V | Ni | | | |
| Predloženi specifikacijski limit u skladu s ICH Q3D smjernicama | 0.5 | 0.5 | 1.5 | 3 | 5 | 10 | 20 | | | |
| Analiti | <i>Skupina 2B</i> | | | | | | | | | |
| | Tl | Au | Ag | Se | Ru | Rh | Pd | Ir | Pt | Os |
| Predloženi specifikacijski limit u skladu s ICH Q3D smjernicama | 0.8 | 10 | 15 | 15 | 10 | | | | | |
| Analiti | <i>Skupina 3</i> | | | | | | | | | |
| | Li | Sb | Ba | Cu | Mo | Sn | Cr | | | |
| Predloženi specifikacijski limit u skladu s ICH Q3D smjernicama | 55 | 120 | 140 | 300 | 300 | 600 | 1100 | | | |

Tablica 5: Predloženi specifikacijski limit u skladu s ICH Q3D smjernicama

3.2 RAZVOJ METODE

3.2.1 ISPITIVANJE TOPLJIVOSTI

Prvi korak ovog rada bio je pronalazak načina na koji će se uzorak pripremati za samo snimanje pomoću ICP-MS metode. Uzorak se mora u potpunosti otopiti a rezultati ispitivanja topljivosti su prikazani u poglavlju 4.1. Zaključak je da ćemo u metodi otapati eritromicin u $1\text{mLH}_2\text{O}_2 + 1\text{mL HCl}$ bez mikrovalne digestije.

3.2.2 PRELIMINARNA ISPITIVANJA

Preliminarni testovi su rađeni na Agilent Technologies 7700x (ICP-MS instrument). S obzirom da je instrument imao određene nepravilnosti s dovodom helija sve testove smo napravili i na Agilent Technologies 7900 i te podatke smo prikazali iako su podaci bili podudarni.

U predvalidacijskom ispitivanju ispitalo se koji interni standard je pogodan za metodu. Koristili smo germanij, disprozij, skandij i niobij, a pokazalo se da je najbolje korištenje germanija kao internog standarda. Također, u predvalidacijskom ispitivanju ispitivali smo i koji izotopi su prikladni za metodu. Na kraju se odlučilo da je najbolje raditi s izotopima koje preporučuje kompanija Agilent. Ispitivana je granica određivanja na 10% specifikacije, na 20% specifikacije i na 30% specifikacije. Pri koncentracijama od 10% i 20% specifikacije primijećen je prenizak analitički prinos zlata (ispod 70%) i prevelik RSD kod talija. Zaključak je da je najbolje postaviti granicu određivanja na 30% specifikacije.

3.2.3 VALIDACIJA METODE

Ovo je protokol za validaciju metode određivanja elementarnih onečišćenja u eritromicinu. Sadržaj Ag, As, Au, Ba, Cd, Co, Cr, Cu, Hg, Ir, Li, Mo, Ni, Pb, Pd, Pt, Rh, Ru, Sb, Se, Sn, Tl, V i Os s Ge kao internim standardom bit će određen s ICP-MS.

| PARAMETAR | KRITERIJ PRIHVATLJIVOSTI |
|---------------------------------|--------------------------|
| Linearnost | |
| Koeficijent korelacije | ≥ 0.990 |
| Granica odredivanja (QL) | $\leq 0.5 J$ |
| Analitički prinos | 70-150% |
| RSD | $\leq 20\%$ |
| Točnost | |
| Analitički prinos | 70-150% |
| Ponovljivost | |
| RSD | $\leq 20\%$ |
| Preciznost | |
| RSD | $\leq 20\%$ |

Tablica 6: Kriteriji prihvatljivosti

Podatci o ICP-MS instrumentu:

Plin nositelj: Argon

Collision Gas: Helij

Make Up Gas: Argon

Baklja: Kvarc

Podatci o metodi:

Acq mode: spectrum

Peak pattern: 1 point

Replikati: 3

Sweeps/Replicate: 50

| Prije mjerenja | | | |
|-------------------------------|-----------------|----------------------------------------------------|----------------------|
| | Vrijeme/sekunda | Brzina/okretaja u sekundi (peristaltička pumpa) | Bočica za uzorak |
| uzimanje uzorka | 40 | 0.3 | uzorak |
| stabiliziranje | 60 | 0.3 | uzorak |
| Poslije mjerenja | | | |
| | Vrijeme/sekunda | Brzina/okretaja u sekundi (peristaltička pumpa) | Bočica za uzorak |
| Proba ispiranje (uzorak) | 5 | 0.3 | Otopina za ispiranje |
| Proba ispiranje (standard) | 0 | | Otopina za ispiranje |
| Ispiranje 1 | 50 | 0.3 | Bočica 1 |
| Proba ispiranje 1 | 0 | | Otopina za ispiranje |
| Ispiranje 2 | 50 | 0.3 | Bočica 2 |
| Proba ispiranje 2 | 0 | | Otopina za ispiranje |

Bočica 1: 1% v/vHCl; Bočica 2: 2% v/vHCl + 2% v/v H₂O₂, Otopina za ispiranje: 1% v/v HNO₃

Tablica 7: Parametri peristaltičke pumpe

| Element | Masa | Oznak | Standardni mod | He mod | Tip | Interni |
|---------|------|-------------------|-------------------------|--------|------------------|------------------|
| | | | Vrijeme integracije / s | | | |
| Li | 7 | ⁷ Li | 5 | N/A | Analit | ⁷² Ge |
| V | 51 | ⁵¹ V | N/A | 0.3 | Analit | ⁷² Ge |
| Cr | 52 | ⁵² Cr | N/A | 0.3 | Analit | ⁷² Ge |
| Co | 59 | ⁵⁹ Co | N/A | 0.3 | Analit | ⁷² Ge |
| Ni | 60 | ⁶⁰ Ni | N/A | 0.3 | Analit | ⁷² Ge |
| Cu | 63 | ⁶³ Cu | N/A | 0.3 | Analit | ⁷² Ge |
| As | 75 | ⁷⁵ As | N/A | 1.5 | Analit | ⁷² Ge |
| Se | 78 | ⁷⁸ Se | N/A | 1.5 | Analit | ⁷² Ge |
| Mo | 95 | ⁹⁵ Mo | 0.1 | N/A | Analit | ⁷² Ge |
| Ru | 101 | ¹⁰¹ Ru | 0.1 | N/A | Analit | ⁷² Ge |
| Rh | 103 | ¹⁰³ Rh | 0.1 | N/A | Analit | ⁷² Ge |
| Pd | 105 | ¹⁰⁵ Pd | 0.1 | N/A | Analit | ⁷² Ge |
| Ag | 107 | ¹⁰⁷ Ag | 1 | N/A | Analit | ⁷² Ge |
| Cd | 111 | ¹¹¹ Cd | 0.1 | N/A | Analit | ⁷² Ge |
| Sn | 120 | ¹²⁰ Sn | 0.1 | N/A | Analit | ⁷² Ge |
| Sb | 121 | ¹²¹ Sb | 0.1 | N/A | Analit | ⁷² Ge |
| Ba | 138 | ¹³⁸ Ba | 1 | N/A | Analit | ⁷² Ge |
| Os | 189 | ¹⁸⁹ Os | 0.1 | N/A | Analit | ⁷² Ge |
| Ir | 193 | ¹⁹³ Ir | 0.1 | N/A | Analit | ⁷² Ge |
| Pt | 195 | ¹⁹⁵ Pt | 0.1 | N/A | Analit | ⁷² Ge |
| Au | 197 | ¹⁹⁷ Au | 1.5 | N/A | Analit | ⁷² Ge |
| Hg | 202 | ²⁰² Hg | 1.5 | N/A | Analit | ⁷² Ge |
| Tl | 205 | ²⁰⁵ Tl | 1.5 | N/A | Analit | ⁷² Ge |
| Pb | 208 | ²⁰⁸ Pb | 1 | N/A | Analit | ⁷² Ge |
| Ge | 72 | ⁷² Ge | 0.1 | 0.3 | Interni standard | N/A |

Tablica 8: Akvizicijski parametri

LINEARNOST

Za mjerenje linearnosti treba se pripremiti slijepa proba (BLK) i pet otopina s koncentracijama elementarnih onečišćenja od granice određivanja (0,3J) do 2J (STD-1,STD-2, STD-3, STD-4, STD-5). J je oznaka za specifikaciju, 1J je koncentracija pri 100% specifikacije. Rezultati se prikazuju grafom u ovisnosti omjera (vrijednost koju izbacuje ICP-MS instrument) i koncentracije pojedinog elementarnog onečišćenja. Parametar prihvatljivosti koji se promatra je koeficijent korelacije regresijskog pravca.

TOČNOST

Za mjerenje točnosti priprema se otopina uzorka bez dodavanja metala (ACC1-3) i otopine s dodanim elementarnim onečišćenjima s koncentracijom od 0,5J (ACC4-6), 1,0J (ACC7-9) i 1,5J (ACC10-12). Svaki koncentracijski nivo se priprema po tri puta. Rezultat se izražava s RSD vrijednosti i analitičkim prinosom.

PRECIZNOST

Za mjerenje preciznosti priprema se šest otopina s dodanim elementarnim onečišćenjima u koncentraciji od 1J. Rezultat se izražava s RSD vrijednosti.

GRANICA ODREĐIVANJA

Za mjerenje granice određivanja priprema se šest otopina s dodanim metalima s koncentracijom od 0,3J. Ta je razina određena prilikom prevalidacijskih ispitivanja. Na 0,1J i 0,2J analitički prinos i RSD nije bio zadovoljavajuć. Rezultat se izražava s RSD vrijednosti.

PONOVLJIVOST

Za mjerenje ponovljivosti koristili smo podatke iz mjerenja točnosti i preciznosti. Iz mjerenja točnosti koristi se samo podatak kod otopine s koncentracijom elementarnih onečišćenja 1J. Rezultat se izražava s RSD vrijednosti.

ROBUSTNOST

Robustnost analitičke procedure je mjera njenog kapaciteta da ostane nepromjenjena neovisno o malim promjenama parametara navedenih u dokumentaciji i da pokaže prikladnost za normalnu upotrebu. Robustnost procedure će se dokazati kroz zadovoljavanje kriterija ponovljivosti te kroz slične rezultate validacije onima u predvalidaciji.

SPECIFIČNOST

Specifičnost je svojstvo analitičke procedure da mjeri točno traženi analit u prisutnosti drugih potencijalnih onečišćenja (interferencija). Specifičnost metode dokazat će se zadovoljavanjem svih prije navedenih kriterija jer će se u svim prije spomenutim testovima nalaziti i sva druga potencijalna onečišćenja (interferencija).

4. REZULTATI I RASPRAVA

4.1 ISPITIVANJE TOPLJIVOSTI

Prvi korak ovog rada bio je ispitati topljivost eritromicina u matrici koja je pogodna za daljnje ispitivanje. Uzorak se mora u potpunosti otopiti, a rezultati ispitivanja topljivosti su:

1. Otapanje s mikrovalnom digestijom na 270°C

Uzorak eritromicina (približno 100 mg) otapan je u epruveti u različitim vrstama otapala i različitim količinama tih otapala. Pripremljene otopine podvrgnute su mikrovalnoj digestiji prema programu:

| t/min | E/W | T ₁ /°C | T ₂ /°C | p/bar |
|-------|------|--------------------|--------------------|-------|
| 25 | 1500 | 270 | 70 | 130 |
| 20 | 1500 | 270 | 70 | 130 |

Tablica 9: Program mikrovalne digestije (270°C)

Nakon mikrovalne digestije otopine se prebace u odmjerne tikvice od 50 mL, nadopunjene do oznake s vodom te se provjeri da li se uzorak otopio. Volumeni i vrste korištenog otapala te rezultati testa topljivosti prikazani su u tablici 10.

| m(uzorka)/mg | otapalo | otapanje |
|--------------|------------------------------------------------------------|----------------|
| 100,92 | 5 mL HNO ₃ | otopljeno |
| 104,55 | 4 mL HNO ₃ + 0,25 mL HClO ₄ | otopljeno |
| 101,96 | 5 mL HCl | nije otopljeno |
| 101,30 | 5 mL H ₂ O ₂ | otopljeno |
| 100,68 | 2 mL HNO ₃ | otopljeno |
| 97,32 | 2 mL HNO ₃ + 0,25 mL HClO ₄ | otopljeno |
| 96,35 | 2 mL H ₂ O ₂ | otopljeno |
| 95,83 | 2 mL H ₂ O ₂ + 2 mL H ₂ O | otopljeno |
| 101,45 | 4 mL H ₂ O ₂ + 0,5 mL HCl | nije otopljeno |
| 103,46 | 4,5 mL HCl + 1,5 mL HNO ₃ | otopljeno |
| 99,13 | 4,5 mL HNO ₃ + 1,5 mL HCl | otopljeno |
| 97,90 | 1,5 mL HCl + 4,5 mL H ₂ O | nije otopljeno |

Tablica 10: Rezultati otapanja uzorka u različitim otapalima nakon mikrovalne digestije (270°C)

2. Otapanje s mikrovalnom digestijom na 200°C

Otapala u kojima se u prvom programu eritromicin otopio ponovno su korištena uz temperaturu mikrovalne digestije od 200°C. Otopine su pripremljene na isti način te su podvrgnute mikrovalnoj digestiji prema programu:

| t/min | E/W | T ₁ /°C | T ₂ /°C | p/bar |
|-------|------|--------------------|--------------------|-------|
| 25 | 1500 | 200 | 70 | 130 |
| 20 | 1500 | 200 | 70 | 130 |

Tablica 11: Program mikrovalne digestije (200°C)

Nakon mikrovalne digestije otopine su prebačene u odmjerne tikvice od 50 mL, nadopunjene do oznake s vodom te je provjereno je li se uzorak otopio. Otapala i rezultati prikazani u tablici 12.

| m(uzorka)/mg | otapalo | otapanje |
|--------------|------------------------------------------------------------|----------------|
| 97,70 | 5 mL HNO ₃ | otopljeno |
| 104,81 | 4 mL HNO ₃ + 0,25 mL HClO ₄ | otopljeno |
| 104,92 | 5 mL H ₂ O ₂ | otopljeno |
| 101,83 | 2 mL HNO ₃ | otopljeno |
| 104,82 | 2 mL HNO ₃ + 0,25 mL HClO ₄ | otopljeno |
| 96,05 | 2 mL H ₂ O ₂ | otopljeno |
| 103,91 | 2 mL H ₂ O ₂ + 2 mL H ₂ O | otopljeno |
| 99,37 | 4,5 mL HCl + 1,5 mL HNO ₃ | nije otopljeno |
| 100,66 | 4,5 mL HNO ₃ + 1,5 mL HCl | otopljeno |

Tablica 12: Rezultati otapanja uzorka u različitim otapalima nakon mikrovalne digestije (200°C)

3. Otapanje s mikrovalnom digestijom na 150°C

Testirana je mikrovalna digestija na 150°C. Otopine su pripremljene na isti način a pripremljene otopine podvrgnute su mikrovalnoj digestiji prema programu:

| t/min | E/W | T ₁ /°C | T ₂ /°C | p/bar |
|-------|------|--------------------|--------------------|-------|
| 25 | 1500 | 150 | 70 | 130 |
| 20 | 1500 | 150 | 70 | 130 |

Tablica 13: Program mikrovalne digestije (150°C)

Nakon mikrovalne digestije otopine su prebačene u odmjerne tikvice od 50 mL, nadopunjene do oznake s vodom te je provjereno je li se uzorak otopio. Otapala i rezultati prikazani u tablici 14.

| m(uzorka)/mg | otapalo | otapanje |
|--------------|------------------------------------------------------------|----------------|
| 103,98 | 5 mL HNO ₃ | otopljeno |
| 103,66 | 4 mL HNO ₃ + 0,25 mL HClO ₄ | otopljeno |
| 102,41 | 5 mL H ₂ O ₂ | otopljeno |
| 97,62 | 2 mL HNO ₃ | otopljeno |
| 99,87 | 2 mL HNO ₃ + 0,25 mL HClO ₄ | otopljeno |
| 96,87 | 2 mL H ₂ O ₂ | otopljeno |
| 100,77 | 2 mL H ₂ O ₂ + 2 mL H ₂ O | otopljeno |
| 97,03 | 4,5 mL HNO ₃ + 1,5 mL HCl | nije otopljeno |

Tablica 14: Rezultati otapanja uzorka u različitim otapalima nakon mikrovalne digestije (150°C)

4. Otapanje bez mikrovalne digestije

S obzirom da je cilj svake metode da između ostalog bude brza, provjereno je može li se eritromicin otopiti bez korištenja mikrovalne digestije. Uzorci eritromicina mase oko 200 mg odvagani su u odmjerne tikvice od 100 mL, dodani su različiti volumeni otapala, dobro promiješani te nadopunjeni s vodom do oznake. Rezultati otapanja su prikazani u tablici 15.

| m(uzorka)/mg | otapalo | otapanje |
|--------------|---------------------------------------------------|----------------|
| 202,87 | 5 mL HNO ₃ | nije otopljeno |
| 199,24 | 5 mL HCl | nije otopljeno |
| 198,98 | 2,5 mL HNO ₃ + 2,5 mL HCl | nije otopljeno |
| 200,24 | 2,5 mL H ₂ O ₂ + 2,5 mL HCl | otopljeno |

Tablica 15: Rezultati otapanja uzorka u otapalima pri sobnoj temperaturi

5. Otapanje bez mikrovalne digestije

U prethodnom ispitivanju primijećeno je da se eritromicin dobro otopio u smjesi H₂O₂ i HCl te se krenulo u ispitivanje topljivosti bez mikrovalne digestije sa smjesom različitih volumena H₂O₂ i HCl. Uzorci eritromicina mase oko 200 mg odvagani su u odmjerne tikvice

od 100 mL, dodani su različiti volumeni otapala, dobro promiješani te nadopunjeni s vodom do oznake. Rezultati otapanja su prikazani u tablici 16.

| m(uzorka)/mg | otapalo | otapanje |
|--------------|-------------------------------------------------|----------------|
| 197,15 | 10 mL H ₂ O ₂ | nije otopljeno |
| 198,69 | 8 mL H ₂ O ₂ + 1 mL HCl | otopljeno |
| 204,15 | 5 mL H ₂ O ₂ + 1 mL HCl | otopljeno |
| 201,70 | 2 mL H ₂ O ₂ + 1 mL HCl | otopljeno |
| 197,12 | 1 mL H ₂ O ₂ + 1 mL HCl | otopljeno |
| 203,63 | 1 mL H ₂ O ₂ + 0,5 mL HCl | otopljeno |

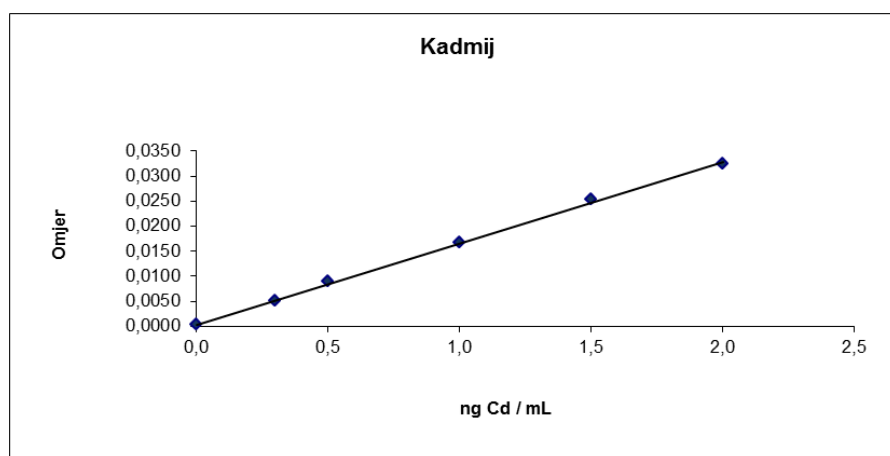
Tablica 16: Rezultati otapanja uzorka u otapalima pri sobnoj temperaturi

Nakon ispitivanja zaključak je da je 200 mg eritromicina najbolje otapati u smjesi 2 mL H₂O₂ i 2 mL HCl. U otopinu je na kraju dodano još i 2 mL pripremljenih standardnih otopina analiziranih elementarnih onečišćenja, SS-1 i SS-2. S obzirom da se ništa nije istaložilo smjesa 2 mL H₂O₂ i 2 mL HCl je izvrsna za metodu određivanja elementarnih onečišćenja u eritromicinu. Budući da je poželjno da metoda bude brza zaključili smo da ćemo u idućim ispitivanjima otapati 100 mg eritromicina u 1 mL H₂O₂ + 1 mL HCl bez mikrovalne digestije u odmjerne tikvici od 50 mL.

4.2 VALIDACIJA ANALITIČKE METODE

4.2.1 KADMIJ

LINEARNOST



| c (ng/mL) | Omjer |
|----------------|--------|
| 0,00 | 0,0001 |
| 0,30 | 0,0050 |
| 0,50 | 0,0089 |
| 1,00 | 0,0166 |
| 1,50 | 0,0252 |
| 2,00 | 0,0322 |

| | |
|------------------------|--------|
| Nagib (a) | 0,0164 |
| Odsjek (b) | 0,0001 |
| Koeficijent korelacije | 0,9994 |

Slika 5: Rezultati mjerenja linearnosti za kadmij

TOČNOST

| Level | Oznaka | m (mg) | Dodani ppm | c (ng/mL) | Izračunati ppm | Srednji ppm | Analitički prinos (%) | RSD (%) |
|---------|--------|----------|---------------|----------------|-------------------|----------------|--------------------------|------------|
| Level 0 | ACC-1 | 99,73 | 0,00 | 0,000 | 0,00 | 0,00 | - | - |
| | ACC-2 | 100,74 | | 0,000 | 0,00 | | | |
| | ACC-3 | 100,55 | | 0,000 | 0,00 | | | |
| Level 1 | ACC-4 | 99,04 | 0,25 | 0,518 | 0,26 | 0,26 | 102 | 2 |
| | ACC-5 | 99,12 | | 0,513 | 0,26 | | | |
| | ACC-6 | 99,83 | | 0,502 | 0,25 | | | |
| Level 2 | ACC-7 | 100,99 | 0,50 | 0,975 | 0,49 | 0,51 | 101 | 3 |
| | ACC-8 | 99,41 | | 1,031 | 0,52 | | | |
| | ACC-9 | 101,79 | | 1,035 | 0,52 | | | |
| Level 3 | ACC-10 | 98,99 | 0,75 | 1,472 | 0,74 | 0,74 | 99 | 1 |
| | ACC-11 | 100,25 | | 1,484 | 0,74 | | | |
| | ACC-12 | 99,42 | | 1,505 | 0,75 | | | |

Tablica 17: Rezultati mjerenja točnosti za kadmij

GRANICA ODREĐIVANJA

| Oznaka | <i>m</i> (mg) | Dodani ppm | <i>C</i> (ng/mL) | Izračunati ppm | Srednji ppm | Analitički prinos (%) | | | |
|--------|---------------|---------------|---------------------|-------------------|----------------|--------------------------|-------------------------|-----|------------|
| ACC-1 | 99,73 | 0,00 | 0,000 | 0,00 | 0,00 | - | | | |
| ACC-2 | 100,74 | | 0,000 | 0,00 | | - | | | |
| ACC-3 | 100,55 | | 0,000 | 0,00 | | - | | | |
| | | | | | | | Prosječna vrijednost | SD | RSD (%) |
| QL-1 | 100,53 | 0,15 | 0,318 | 0,16 | 0,16 | 106 | 105 | 0,0 | 2 |
| QL-2 | 99,93 | | 0,310 | 0,16 | | 103 | | | |
| QL-3 | 98,83 | | 0,316 | 0,16 | | 105 | | | |
| QL-4 | 102,70 | | 0,318 | 0,16 | | 106 | | | |
| QL-5 | 99,84 | | 0,305 | 0,15 | | 102 | | | |
| QL-6 | 100,27 | | 0,322 | 0,16 | | 107 | | | |

Tablica 18: Rezultati mjerenja granica određivanja za kadmij

PRECIZNOST

| Oznaka | <i>m</i> (mg) | <i>c</i> (ng/mL) | ppm | Srednja vrijednost | SD | RSD (%) |
|--------|---------------|---------------------|------|-----------------------|----|---------|
| PRE-1 | 100,38 | 0,989 | 0,49 | 0,50 | 0 | 2 |
| PRE-2 | 100,44 | 0,995 | 0,50 | | | |
| PRE-3 | 99,93 | 0,997 | 0,50 | | | |
| PRE-4 | 99,54 | 1,034 | 0,52 | | | |
| PRE-5 | 99,84 | 1,015 | 0,51 | | | |
| PRE-6 | 100,53 | 1,011 | 0,51 | | | |

Tablica 19: Rezultati mjerenja preciznost za kadmij

PONOVLJIVOST

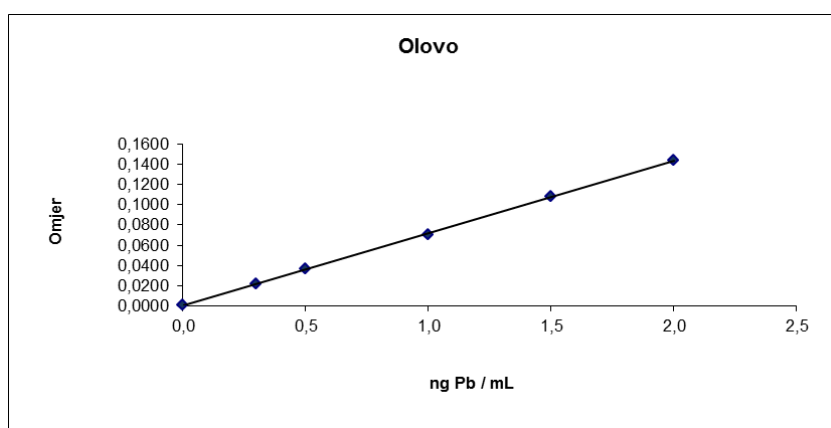
| | |
|--------------------|----------|
| Srednja vrijednost | 0,51 |
| SD | 0 |
| RSD(%) | 2 |

Tablica 20: Rezultati mjerenja ponovljivosti za kadmij

Koeficijent korelacije za kadmij iznosi 0,9994 što zadovoljava kriterij prihvatljivosti za linearnost. Analitički prinos i RSD vrijednost zadovoljavaju kriterije za granica određivanja i točnost. RSD vrijednost zadovoljava kriterij prihvatljivosti za preciznost i ponovljivost. Svi kriteriji su zadovoljeni stoga je metoda izvrsna za određivanje kadmija.

4.2.2 OLOVO

LINEARNOST



| <i>c</i> (ng/mL) | Omjer |
|---------------------|--------|
| 0,00 | 0,0011 |
| 0,30 | 0,0218 |
| 0,50 | 0,0363 |
| 1,00 | 0,0704 |
| 1,50 | 0,1079 |
| 2,00 | 0,1442 |

| | |
|------------------------|--------|
| Nagib (a) | 0,0711 |
| Odsjek (b) | 0,0011 |
| Koeficijent korelacije | 0,9999 |

Slika 6: Rezultati mjerenja linearnosti za olovo

TOČNOST

| Level | Oznaka | <i>m</i> (mg) | Dodani ppm | <i>c</i> (ng/mL) | Izračunati ppm | Srednji ppm | Analitički prinos (%) | RSD (%) |
|---------|--------|---------------|---------------|---------------------|-------------------|----------------|--------------------------|------------|
| Level 0 | ACC-1 | 99,73 | 0 | 0,000 | 0,00 | 0,00 | - | - |
| | ACC-2 | 100,74 | | 0,000 | 0,00 | | | |
| | ACC-3 | 100,55 | | 0,011 | 0,01 | | | |
| Level 1 | ACC-4 | 99,04 | 0,25 | 0,527 | 0,26 | 0,25 | 99 | 5 |
| | ACC-5 | 99,12 | | 0,485 | 0,24 | | | |
| | ACC-6 | 99,83 | | 0,486 | 0,24 | | | |
| Level 2 | ACC-7 | 100,99 | 0,50 | 0,986 | 0,49 | 0,50 | 100 | 1 |
| | ACC-8 | 99,41 | | 1,009 | 0,50 | | | |
| | ACC-9 | 101,79 | | 1,005 | 0,50 | | | |
| Level 3 | ACC-10 | 98,99 | 0,75 | 1,503 | 0,75 | 0,75 | 100 | 0 |
| | ACC-11 | 100,25 | | 1,498 | 0,75 | | | |
| | ACC-12 | 99,42 | | 1,512 | 0,76 | | | |

Tablica 21: Rezultati mjerenja točnosti za olovo

GRANICA ODREĐIVANJA

| Oznaka | <i>m</i> (mg) | Dodani ppm | <i>C</i> (ng/mL) | Izračunati ppm | Srednji ppm | Analitički prinos (%) | | | |
|--------|---------------|---------------|---------------------|-------------------|----------------|--------------------------|-------------------------|-----|------------|
| ACC-1 | 99,73 | 0,00 | 0,000 | 0,00 | 0,00 | - | | | |
| ACC-2 | 100,74 | | 0,000 | 0,00 | | - | | | |
| ACC-3 | 100,55 | | 0,011 | 0,01 | | - | | | |
| | | | | | | | Prosječna vrijednost | SD | RSD (%) |
| QL-1 | 100,53 | 0,15 | 0,314 | 0,16 | 0,16 | 104 | 105 | 0,0 | 3 |
| QL-2 | 99,93 | | 0,314 | 0,16 | | 103 | | | |
| QL-3 | 98,83 | | 0,340 | 0,17 | | 112 | | | |
| QL-4 | 102,70 | | 0,320 | 0,16 | | 105 | | | |
| QL-5 | 99,84 | | 0,309 | 0,15 | | 102 | | | |
| QL-6 | 100,27 | | 0,320 | 0,16 | | 105 | | | |

Tablica 22: Rezultati mjerenja granica određivanja za olovo

PRECIZNOST

| Oznaka | <i>m</i> (mg) | <i>c</i> (ng/mL) | ppm | Srednja vrijednost | SD | RSD (%) |
|--------|---------------|------------------|------|--------------------|----|---------|
| PRE-1 | 100,38 | 1,004 | 0,50 | 0,50 | 0 | 0 |
| PRE-2 | 100,44 | 0,996 | 0,50 | | | |
| PRE-3 | 99,93 | 0,999 | 0,50 | | | |
| PRE-4 | 99,54 | 1,004 | 0,50 | | | |
| PRE-5 | 99,84 | 1,002 | 0,50 | | | |
| PRE-6 | 100,53 | 1,009 | 0,50 | | | |

Tablica 23: Rezultati mjerenja preciznosti za olovo

PONOVLJIVOST

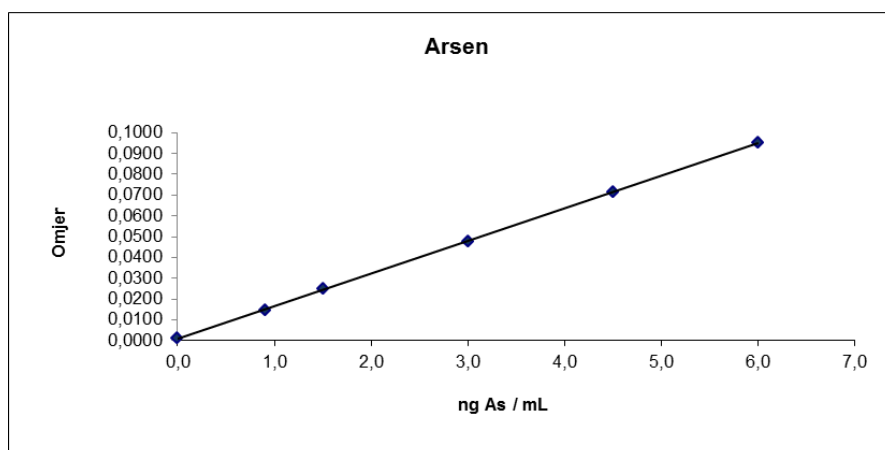
| | |
|--------------------|----------|
| Srednja vrijednost | 0,50 |
| SD | 0 |
| RSD(%) | 1 |

Tablica 24: Rezultati mjerenja ponovljivosti za olovo

Koeficijent korelacije za olovo iznosi 0,9999 što zadovoljava kriterij prihvatljivosti za linearnost. Analitički prinos i RSD vrijednost zadovoljavaju kriterije za granica određivanja i točnost. RSD vrijednost zadovoljava kriterij prihvatljivosti za preciznost i ponovljivost. Svi kriteriji su zadovoljeni stoga je metoda izvrsna za određivanje olovo.

4.2.3 ARSEN

LINEARNOST



| c (ng/mL) | Omjer |
|----------------|--------|
| 0,00 | 0,0011 |
| 0,90 | 0,0145 |
| 1,50 | 0,0248 |
| 3,00 | 0,0475 |
| 4,50 | 0,0713 |
| 6,00 | 0,0951 |

| | |
|------------------------|--------|
| Nagib (a) | 0,0156 |
| Odsjek (b) | 0,0011 |
| Koeficijent korelacije | 1,0000 |

Slika 7: Rezultati mjerenja linearnosti za arsen

TOČNOST

| Level | Oznaka | m (mg) | Dodani ppm | c (ng/mL) | Izračunati ppm | Srednji ppm | Analitički prinos (%) | RSD (%) |
|---------|--------|----------|---------------|----------------|-------------------|----------------|--------------------------|------------|
| Level 0 | ACC-1 | 99,73 | 0 | 0,000 | 0,00 | 0,00 | - | - |
| | ACC-2 | 100,74 | | 0,000 | 0,00 | | | |
| | ACC-3 | 100,55 | | 0,005 | 0,00 | | | |
| Level 1 | ACC-4 | 99,04 | 0,75 | 1,493 | 0,75 | 0,75 | 100 | 2 |
| | ACC-5 | 99,12 | | 1,489 | 0,74 | | | |
| | ACC-6 | 99,83 | | 1,531 | 0,77 | | | |
| Level 2 | ACC-7 | 100,99 | 1,50 | 2,996 | 1,50 | 1,51 | 101 | 2 |
| | ACC-8 | 99,41 | | 3,077 | 1,54 | | | |
| | ACC-9 | 101,79 | | 2,997 | 1,50 | | | |
| Level 3 | ACC-10 | 98,99 | 2,25 | 4,485 | 2,24 | 2,25 | 100 | 0 |
| | ACC-11 | 100,25 | | 4,503 | 2,25 | | | |
| | ACC-12 | 99,42 | | 4,518 | 2,26 | | | |

Tablica 25: Rezultati mjerenja točnosti za arsen

GRANICA ODREĐIVANJA

| Oznaka | <i>m</i> (mg) | Dodani ppm | <i>C</i> (ng/mL) | Izračunati ppm | Srednji ppm | Analitički prinos (%) | Prosječna vrijednost | SD | RSD (%) |
|--------|---------------|---------------|---------------------|-------------------|----------------|--------------------------|-------------------------|-----|------------|
| ACC-1 | 99,73 | 0,00 | 0,000 | 0,00 | 0,00 | - | 105 | 0,0 | 2 |
| ACC-2 | 100,74 | | 0,000 | 0,00 | | - | | | |
| ACC-3 | 100,55 | | 0,005 | 0,00 | | - | | | |
| QL-1 | 100,53 | 0,45 | 0,937 | 0,47 | 0,47 | 104 | | | |
| QL-2 | 99,93 | | 0,968 | 0,48 | | 107 | | | |
| QL-3 | 98,83 | | 0,953 | 0,48 | | 106 | | | |
| QL-4 | 102,70 | | 0,944 | 0,47 | | 105 | | | |
| QL-5 | 99,84 | | 0,924 | 0,46 | | 103 | | | |
| QL-6 | 100,27 | | 0,944 | 0,47 | | 105 | | | |

Tablica 26: Rezultati mjerenja granica određivanja za arsen

PRECIZNOST

| Oznaka | <i>m</i> (mg) | <i>c</i> (ng/mL) | ppm | Srednja vrijednost | SD | RSD (%) |
|--------|---------------|---------------------|------|-----------------------|----|---------|
| PRE-1 | 100,38 | 3,062 | 1,53 | 1,53 | 0 | 1 |
| PRE-2 | 100,44 | 3,032 | 1,52 | | | |
| PRE-3 | 99,93 | 3,091 | 1,55 | | | |
| PRE-4 | 99,54 | 3,088 | 1,54 | | | |
| PRE-5 | 99,84 | 3,018 | 1,51 | | | |
| PRE-6 | 100,53 | 3,044 | 1,52 | | | |

Tablica 27: Rezultati mjerenja preciznosti za arsen

PONOVLJIVOST

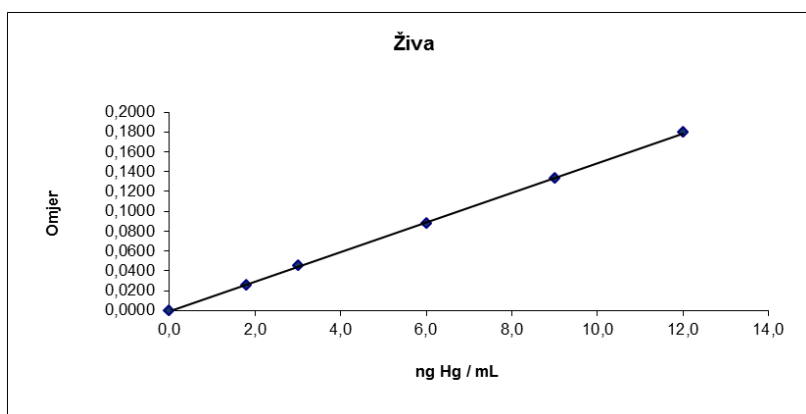
| | |
|--------------------|----------|
| Srednja vrijednost | 1,52 |
| SD | 0 |
| RSD(%) | 1 |

Tablica 28: Rezultati mjerenja ponovljivosti za arsen

Koeficijent korelacije za arsen iznosi 1,0000 što zadovoljava kriterij prihvatljivosti za linearnost. Analitički prinos i RSD vrijednost zadovoljavaju kriterije za granica određivanja i točnost. RSD vrijednost zadovoljava kriterij prihvatljivosti za preciznost i ponovljivost. Svi kriteriji su zadovoljeni stoga je metoda izvrsna za određivanje arsena.

4.2.4 ŽIVA

LINEARNOST



| <i>c</i> (ng/mL) | Omjer |
|---------------------|--------|
| 0,0 | 0,0002 |
| 1,8 | 0,0258 |
| 3,0 | 0,0455 |
| 6,0 | 0,0876 |
| 9,0 | 0,1334 |
| 12,0 | 0,1797 |

| | |
|------------------------|--------|
| Nagib (a) | 0,0149 |
| Odsjek (b) | 0,0002 |
| Koeficijent korelacije | 0,9999 |

Slika 8: Rezultati mjerenja linearnosti za živu

TOČNOST

| Level | Oznaka | <i>m</i> (mg) | Dodani ppm | <i>c</i> (ng/mL) | Izračunati ppm | Srednji ppm | Analitički prinos (%) | RSD (%) |
|---------|--------|---------------|---------------|---------------------|-------------------|----------------|--------------------------|------------|
| Level 0 | ACC-1 | 99,73 | 0,0 | 0,000 | 0,0 | 0,0 | - | - |
| | ACC-2 | 100,74 | | 0,000 | 0,0 | | | |
| | ACC-3 | 100,55 | | 0,000 | 0,0 | | | |
| Level 1 | ACC-4 | 99,04 | 1,5 | 2,921 | 1,5 | 1,5 | 98 | 0 |
| | ACC-5 | 99,12 | | 2,942 | 1,5 | | | |
| | ACC-6 | 99,83 | | 2,948 | 1,5 | | | |
| Level 2 | ACC-7 | 100,99 | 3,0 | 5,869 | 2,9 | 3,0 | 100 | 2 |
| | ACC-8 | 99,41 | | 6,098 | 3,0 | | | |
| | ACC-9 | 101,79 | | 6,004 | 3,0 | | | |
| Level 3 | ACC-10 | 98,99 | 4,5 | 9,006 | 4,5 | 4,5 | 100 | 1 |
| | ACC-11 | 100,25 | | 8,989 | 4,5 | | | |
| | ACC-12 | 99,42 | | 9,108 | 4,6 | | | |

Tablica 29: Rezultati mjerenja točnosti za živu

GRANICA ODREĐIVANJA

| Oznaka | <i>m</i> (mg) | Dodani ppm | <i>C</i> (ng/mL) | Izračunati ppm | Srednji ppm | Analitički prinos (%) | | | |
|--------|---------------|---------------|---------------------|-------------------|----------------|--------------------------|-------------------------|-----|------------|
| ACC-1 | 99,73 | 0,00 | 0,000 | 0,00 | 0,00 | - | | | |
| ACC-2 | 100,74 | | 0,000 | 0,00 | | - | | | |
| ACC-3 | 100,55 | | 0,000 | 0,00 | | - | | | |
| | | | | | | | Prosječna vrijednost | SD | RSD (%) |
| QL-1 | 100,53 | 0,9 | 1,912 | 1,0 | 0,9 | 106 | 104 | 0,0 | 2 |
| QL-2 | 99,93 | | 1,887 | 0,9 | | 105 | | | |
| QL-3 | 98,83 | | 1,923 | 1,0 | | 107 | | | |
| QL-4 | 102,70 | | 1,881 | 0,9 | | 104 | | | |
| QL-5 | 99,84 | | 1,837 | 0,9 | | 102 | | | |
| QL-6 | 100,27 | | 1,827 | 0,9 | | 101 | | | |

Tablica 30: Rezultati mjerenja granice određivanja za živu

PRECIZNOST

| Oznaka | <i>m</i> (mg) | <i>c</i> (ng/mL) | ppm | Srednja vrijednost | SD | RSD (%) |
|--------|---------------|------------------|-----|--------------------|----|---------|
| PRE-1 | 100,38 | 6,048 | 3,0 | 3,0 | 0 | 1 |
| PRE-2 | 100,44 | 6,012 | 3,0 | | | |
| PRE-3 | 99,93 | 6,007 | 3,0 | | | |
| PRE-4 | 99,54 | 6,088 | 3,0 | | | |
| PRE-5 | 99,84 | 6,078 | 3,0 | | | |
| PRE-6 | 100,53 | 6,069 | 3,0 | | | |

Tablica 31: Rezultati mjerenja preciznosti za živu

PONOVLJIVOST

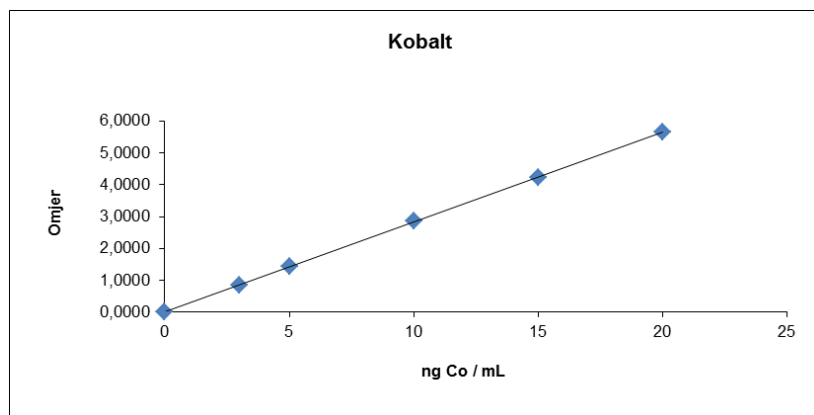
| | |
|--------------------|----------|
| Srednja vrijednost | 3,0 |
| SD | 0 |
| RSD(%) | 1 |

Tablica 32: Rezultati mjerenja ponovljivosti za živu

Koeficijent korelacije za živu iznosi 0,9999 što zadovoljava kriterij prihvatljivosti za linearnost. Analitički prinos i RSD vrijednost zadovoljavaju kriterije za granica određivanja i točnost. RSD vrijednost zadovoljava kriterij prihvatljivosti za preciznost i ponovljivost. Svi kriteriji su zadovoljeni stoga je metoda izvrsna za određivanje žive

4.2.5 KOBALT

LINEARNOST



| <i>c</i> (ng/mL) | Omjer |
|---------------------|--------|
| 0,0 | 0,0006 |
| 3,0 | 0,8335 |
| 5,0 | 1,4459 |
| 10,0 | 2,8599 |
| 15,0 | 4,2169 |
| 20,0 | 5,6614 |

| | |
|------------------------|--------|
| Nagib (a) | 0,2830 |
| Odsjek (b) | 0,0006 |
| Koeficijent korelacije | 0,9999 |

Slika 9: Rezultati mjerenja linearnosti za kobalt

TOČNOST

| Level | Oznaka | <i>m</i> (mg) | Dodani ppm | <i>c</i> (ng/mL) | Izračunati ppm | Srednji ppm | Analitički prinos (%) | RSD (%) |
|---------|--------|---------------|---------------|---------------------|-------------------|----------------|--------------------------|------------|
| Level 0 | ACC-1 | 99,73 | 0,0 | 0,000 | 0,0 | 0,0 | - | - |
| | ACC-2 | 100,74 | | 0,000 | 0,0 | | | |
| | ACC-3 | 100,55 | | 0,000 | 0,0 | | | |
| Level 1 | ACC-4 | 99,04 | 2,5 | 5,074 | 2,5 | 2,5 | 102 | 1 |
| | ACC-5 | 99,12 | | 5,129 | 2,6 | | | |
| | ACC-6 | 99,83 | | 5,060 | 2,5 | | | |
| Level 2 | ACC-7 | 100,99 | 5,0 | 10,161 | 5,1 | 5,1 | 101 | 0 |
| | ACC-8 | 99,41 | | 10,168 | 5,1 | | | |
| | ACC-9 | 101,79 | | 10,081 | 5,0 | | | |
| Level 3 | ACC-10 | 98,99 | 7,5 | 15,058 | 7,5 | 7,5 | 100 | 1 |
| | ACC-11 | 100,25 | | 14,842 | 7,4 | | | |
| | ACC-12 | 99,42 | | 15,107 | 7,6 | | | |

Tablica 33: Rezultati mjerenja točnosti za kobalt

GRANICA ODREĐIVANJA

| Oznaka | <i>m</i> (mg) | Dodani ppm | <i>C</i> (ng/mL) | Izračunati ppm | Srednji ppm | Analitički prinos (%) | Prosječna vrijednost | SD | RSD (%) |
|--------|---------------|---------------|---------------------|-------------------|----------------|--------------------------|-------------------------|-----|------------|
| ACC-1 | 99,73 | 0,00 | 0,000 | 0,00 | 0,00 | - | 107 | 0,0 | 2 |
| ACC-2 | 100,74 | | 0,000 | 0,00 | | - | | | |
| ACC-3 | 100,55 | | 0,000 | 0,00 | | - | | | |
| QL-1 | 100,53 | 1,5 | 3,250 | 1,6 | 1,6 | 108 | | | |
| QL-2 | 99,93 | | 3,252 | 1,6 | | 108 | | | |
| QL-3 | 98,83 | | 3,261 | 1,6 | | 109 | | | |
| QL-4 | 102,70 | | 3,213 | 1,6 | | 107 | | | |
| QL-5 | 99,84 | | 3,124 | 1,6 | | 104 | | | |
| QL-6 | 100,27 | | 3,174 | 1,6 | | 106 | | | |

Tablica 34: Rezultati mjerenja granice određivanja za kobalt

PRECIZNOST

| Oznaka | <i>m</i> (mg) | <i>c</i> (ng/mL) | ppm | Srednja vrijednost | SD | RSD (%) |
|--------|---------------|---------------------|-----|-----------------------|----|---------|
| PRE-1 | 100,38 | 10,252 | 5,1 | 5,1 | 0 | 1 |
| PRE-2 | 100,44 | 10,134 | 5,1 | | | |
| PRE-3 | 99,93 | 9,992 | 5,0 | | | |
| PRE-4 | 99,54 | 10,205 | 5,1 | | | |
| PRE-5 | 99,84 | 10,174 | 5,1 | | | |
| PRE-6 | 100,53 | 10,191 | 5,1 | | | |

Tablica 35: Rezultati mjerenja preciznosti za kobalt

PONOVLJIVOST

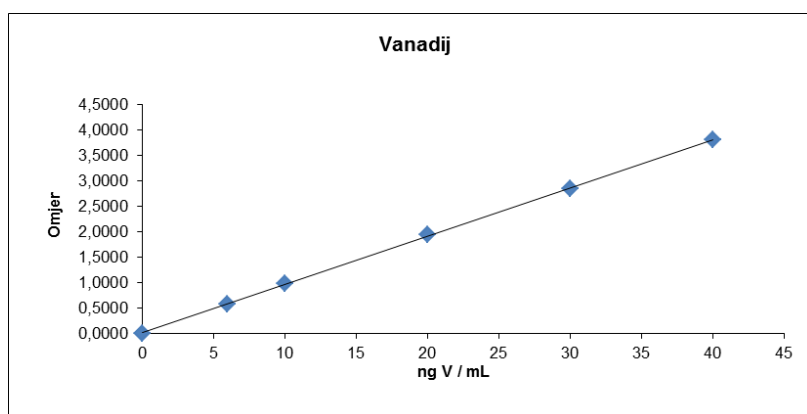
| | |
|--------------------|----------|
| Srednja vrijednost | 5,1 |
| SD | 0 |
| RSD(%) | 1 |

Tablica 36: Rezultati mjerenja ponovljivosti za kobalt

Koeficijent korelacije za kobalt iznosi 0,9999 što zadovoljava kriterij prihvatljivosti za linearnost. Analitički prinos i RSD vrijednost zadovoljavaju kriterije za granica određivanja i točnost. RSD vrijednost zadovoljava kriterij prihvatljivosti za preciznost i ponovljivost. Svi kriteriji su zadovoljeni stoga je metoda izvrsna za određivanje kobalta.

4.2.6 VANADIJ

LINEARNOST



| <i>c</i> (ng/mL) | Omjer |
|---------------------|--------|
| 0 | 0,0060 |
| 6 | 0,5826 |
| 10 | 0,9800 |
| 20 | 1,9377 |
| 30 | 2,8497 |
| 40 | 3,8179 |

| | |
|------------------------|--------|
| Nagib (a) | 0,0954 |
| Odsjek (b) | 0,0060 |
| Koeficijent korelacije | 1,0000 |

Slika 10: Rezultati mjerenja linearnosti za vanadij

TOČNOST

| Level | Oznaka | <i>m</i> (mg) | Dodani ppm | <i>c</i> (ng/mL) | Izračunati ppm | Srednji ppm | Analitički prinos (%) | RSD (%) |
|---------|--------|---------------|---------------|---------------------|-------------------|----------------|--------------------------|------------|
| Level 0 | ACC-1 | 99,73 | 0 | 0,003 | 0 | 0 | - | - |
| | ACC-2 | 100,74 | | 0,017 | 0 | | | |
| | ACC-3 | 100,55 | | 0,034 | 0 | | | |
| Level 1 | ACC-4 | 99,04 | 5 | 10,008 | 5 | 5 | 100 | 0 |
| | ACC-5 | 99,12 | | 9,984 | 5 | | | |
| | ACC-6 | 99,83 | | 10,040 | 5 | | | |
| Level 2 | ACC-7 | 100,99 | 10 | 19,926 | 10 | 10 | 100 | 0 |
| | ACC-8 | 99,41 | | 20,055 | 10 | | | |
| | ACC-9 | 101,79 | | 19,922 | 10 | | | |
| Level 3 | ACC-10 | 98,99 | 15 | 29,477 | 15 | 15 | 99 | 1 |
| | ACC-11 | 100,25 | | 30,119 | 15 | | | |
| | ACC-12 | 99,42 | | 30,005 | 15 | | | |

Tablica 37: Rezultati mjerenja točnosti za vanadij

GRANICA ODREĐIVANJA

| Oznaka | <i>m</i> (mg) | Dodani ppm | <i>C</i> (ng/mL) | Izračunati ppm | Srednji ppm | Analitički prinos (%) | | | |
|--------|---------------|---------------|------------------|-------------------|----------------|--------------------------|-------------------------|-----|------------|
| ACC-1 | 99,73 | 0,00 | 0,003 | 0,00 | 0,00 | - | | | |
| ACC-2 | 100,74 | | 0,017 | 0,00 | | - | | | |
| ACC-3 | 100,55 | | 0,034 | 0,00 | | - | | | |
| | | | | | | | Prosječna vrijednost | SD | RSD (%) |
| QL-1 | 100,53 | 3 | 6,296 | 3 | 3 | 105 | 105 | 0,1 | 2 |
| QL-2 | 99,93 | | 6,444 | 3 | | 107 | | | |
| QL-3 | 98,83 | | 6,412 | 3 | | 107 | | | |
| QL-4 | 102,70 | | 6,299 | 3 | | 105 | | | |
| QL-5 | 99,84 | | 6,191 | 3 | | 103 | | | |
| QL-6 | 100,27 | | 6,218 | 3 | | 103 | | | |

Tablica 38: Rezultati mjerenja granice određivanja za vanadij

PRECIZNOST

| Oznaka | <i>m</i> (mg) | <i>c</i> (ng/mL) | ppm | Srednja vrijednost | SD | RSD (%) |
|--------|---------------|------------------|-----|--------------------|----|---------|
| PRE-1 | 100,38 | 20,284 | 10 | 10 | 0 | 1 |
| PRE-2 | 100,44 | 20,147 | 10 | | | |
| PRE-3 | 99,93 | 20,264 | 10 | | | |
| PRE-4 | 99,54 | 20,199 | 10 | | | |
| PRE-5 | 99,84 | 20,117 | 10 | | | |
| PRE-6 | 100,53 | 19,809 | 10 | | | |

Tablica 39: Rezultati mjerenja preciznost za vanadij

PONOVLJIVOST

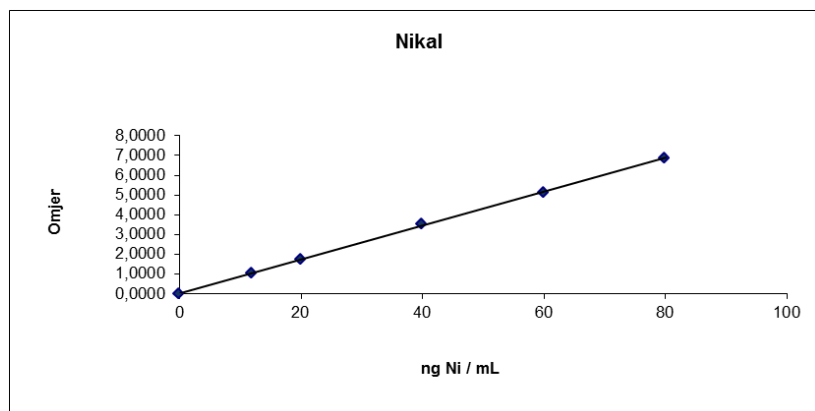
| | |
|--------------------|----------|
| Srednja vrijednost | 10 |
| SD | 0 |
| RSD(%) | 1 |

Tablica 40: Rezultati mjerenja ponovljivosti za vanadij

Koeficijent korelacije za vanadij iznosi 1,000 što zadovoljava kriterij prihvatljivosti za linearnost. Analitički prinos i RSD vrijednost zadovoljavaju kriterije za granica određivanja i točnost. RSD vrijednost zadovoljava kriterij prihvatljivosti za preciznost i ponovljivost. Svi kriteriji su zadovoljeni stoga je metoda izvrsna za određivanje vanadija.

4.2.7 NIKAL

LINEARNOST



| <i>c</i> (ng/mL) | Omjer |
|---------------------|--------|
| 0 | 0,0027 |
| 12 | 1,0311 |
| 20 | 1,7231 |
| 40 | 3,5211 |
| 60 | 5,1389 |
| 80 | 6,8934 |

| | |
|------------------------|--------|
| Nagib (a) | 0,0862 |
| Odsjek (b) | 0,0027 |
| Koeficijent korelacije | 0,9999 |

Slika 11: Rezultati mjerenja linearnosti za nikal

TOČNOST

| Level | Oznaka | <i>m</i> (mg) | Dodani ppm | <i>c</i> (ng/mL) | Izračunati ppm | Srednji ppm | Analitički prinos (%) | RSD (%) |
|---------|--------|---------------|---------------|---------------------|-------------------|----------------|--------------------------|------------|
| Level 0 | ACC-1 | 99,73 | 0 | 0,000 | 0 | 0 | - | - |
| | ACC-2 | 100,74 | | 0,000 | 0 | | | |
| | ACC-3 | 100,55 | | 1,070 | 1 | | | |
| Level 1 | ACC-4 | 99,04 | 10 | 23,109 | 12 | 11 | 103 | 9 |
| | ACC-5 | 99,12 | | 20,038 | 10 | | | |
| | ACC-6 | 99,83 | | 19,942 | 10 | | | |
| Level 2 | ACC-7 | 100,99 | 20 | 40,256 | 20 | 20 | 99 | 1 |
| | ACC-8 | 99,41 | | 40,050 | 20 | | | |
| | ACC-9 | 101,79 | | 39,418 | 20 | | | |
| Level 3 | ACC-10 | 98,99 | 30 | 59,326 | 30 | 30 | 99 | 0 |
| | ACC-11 | 100,25 | | 59,526 | 30 | | | |
| | ACC-12 | 99,42 | | 59,749 | 30 | | | |

Tablica 41: Rezultati mjerenja točnosti za nikal

GRANICA ODREĐIVANJA

| Oznaka | <i>m</i> (mg) | Dodani ppm | <i>C</i> (ng/mL) | Izračunati ppm | Srednji ppm | Analitički prinos (%) | Prosječna vrijednost | SD | RSD (%) |
|--------|---------------|---------------|---------------------|-------------------|----------------|--------------------------|-------------------------|-----|------------|
| ACC-1 | 99,73 | 0,00 | 0,000 | 0 | 0,00 | - | 105 | 0,2 | 4 |
| ACC-2 | 100,74 | | 0,000 | 0 | | - | | | |
| ACC-3 | 100,55 | | 1,070 | 1 | | - | | | |
| QL-1 | 100,53 | 6 | 12,963 | 6 | 7 | 105 | | | |
| QL-2 | 99,93 | | 12,930 | 6 | | 105 | | | |
| QL-3 | 98,83 | | 13,740 | 7 | | 112 | | | |
| QL-4 | 102,70 | | 12,753 | 6 | | 103 | | | |
| QL-5 | 99,84 | | 12,385 | 6 | | 100 | | | |
| QL-6 | 100,27 | | 12,963 | 6 | | 105 | | | |

Tablica 42: Rezultati mjerenja granice određivanja za nikal

PRECIZNOST

| Oznaka | <i>m</i> (mg) | <i>c</i> (ng/mL) | ppm | Srednja vrijednost | SD | RSD (%) |
|--------|---------------|---------------------|-----|-----------------------|----|---------|
| PRE-1 | 100,38 | 40,177 | 20 | 20 | 0 | 1 |
| PRE-2 | 100,44 | 39,859 | 20 | | | |
| PRE-3 | 99,93 | 40,308 | 20 | | | |
| PRE-4 | 99,54 | 40,363 | 20 | | | |
| PRE-5 | 99,84 | 39,392 | 20 | | | |
| PRE-6 | 100,53 | 40,023 | 20 | | | |

Tablica 43: Rezultati mjerenja preciznosti za nikal

PONOVLJIVOST

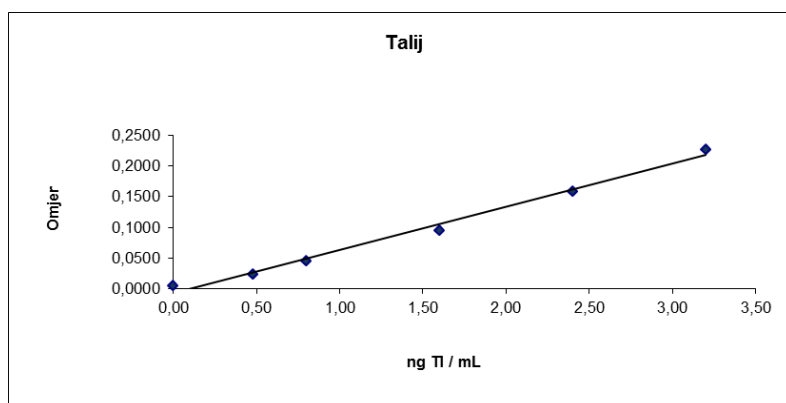
| | |
|--------------------|----------|
| Srednja vrijednost | 20 |
| SD | 0 |
| RSD(%) | 1 |

Tablica 44: Rezultati mjerenja ponovljivosti za nikal

Koeficijent korelacije za nikel iznosi 0,9999 što zadovoljava kriterij prihvatljivosti za linearnost. Analitički prinos i RSD vrijednost zadovoljavaju kriterije za granica određivanja i točnost. RSD vrijednost zadovoljava kriterij prihvatljivosti za preciznost i ponovljivost. Svi kriteriji su zadovoljeni stoga je metoda izvrsna za određivanje nikla.

4.2.8 TALIJ

LINEARNOST



| <i>c</i> (ng/mL) | Omjer |
|---------------------|--------|
| 0,00 | 0,0047 |
| 0,48 | 0,0234 |
| 0,80 | 0,0448 |
| 1,60 | 0,0953 |
| 2,40 | 0,1591 |
| 3,20 | 0,2272 |

| | |
|------------------------|--------|
| Nagib (a) | 0,0653 |
| Odsjek (b) | 0,0047 |
| Koeficijent korelacije | 0,9952 |

Slika 12: Rezultati mjerenja linearnosti za talij

TOČNOST

| Level | Oznaka | <i>m</i> (mg) | Dodani ppm | <i>c</i> (ng/mL) | Izračunati ppm | Srednji ppm | Analitički prinos (%) | RSD (%) |
|---------|--------|---------------|---------------|---------------------|-------------------|----------------|--------------------------|------------|
| Level 0 | ACC-1 | 99,73 | 0,00 | 0,000 | 0,00 | 0,00 | - | - |
| | ACC-2 | 100,74 | | 0,000 | 0,00 | | | |
| | ACC-3 | 100,55 | | 0,000 | 0,00 | | | |
| Level 1 | ACC-4 | 99,04 | 0,40 | 0,737 | 0,37 | 0,37 | 93 | 1 |
| | ACC-5 | 99,12 | | 0,748 | 0,37 | | | |
| | ACC-6 | 99,83 | | 0,756 | 0,38 | | | |
| Level 2 | ACC-7 | 100,99 | 0,80 | 1,521 | 0,76 | 0,78 | 98 | 2 |
| | ACC-8 | 99,41 | | 1,590 | 0,79 | | | |
| | ACC-9 | 101,79 | | 1,576 | 0,79 | | | |
| Level 3 | ACC-10 | 98,99 | 1,20 | 2,368 | 1,18 | 1,19 | 99 | 1 |
| | ACC-11 | 100,25 | | 2,383 | 1,19 | | | |
| | ACC-12 | 99,42 | | 2,396 | 1,20 | | | |

Tablica 45: Rezultati mjerenja točnosti za talij

GRANICA ODREĐIVANJA

| Oznaka | <i>m</i> (mg) | Dodani ppm | <i>C</i> (ng/mL) | Izračunati ppm | Srednji ppm | Analitički prinos (%) | | | |
|--------|---------------|---------------|---------------------|-------------------|----------------|--------------------------|-------------------------|-----|------------|
| ACC-1 | 99,73 | 0,00 | 0,000 | 0,00 | 0,00 | - | | | |
| ACC-2 | 100,74 | | 0,000 | 0,00 | | - | | | |
| ACC-3 | 100,55 | | 0,000 | 0,00 | | - | | | |
| | | | | | | | Prosječna vrijednost | SD | RSD (%) |
| QL-1 | 100,53 | 0,24 | 0,495 | 0,25 | 0,24 | 103 | 101 | 0,0 | 3 |
| QL-2 | 99,93 | | 0,486 | 0,24 | | 101 | | | |
| QL-3 | 98,83 | | 0,495 | 0,25 | | 103 | | | |
| QL-4 | 102,70 | | 0,488 | 0,24 | | 102 | | | |
| QL-5 | 99,84 | | 0,470 | 0,24 | | 98 | | | |
| QL-6 | 100,27 | | 0,462 | 0,23 | | 96 | | | |

Tablica 46: Rezultati mjerenja granice određivanja za talij

PRECIZNOST

| Oznaka | <i>m</i> (mg) | <i>c</i> (ng/mL) | ppm | Srednja vrijednost | SD | RSD (%) |
|--------|---------------|------------------|------|--------------------|----|---------|
| PRE-1 | 100,38 | 1,581 | 0,79 | 0,80 | 0 | 1 |
| PRE-2 | 100,44 | 1,588 | 0,79 | | | |
| PRE-3 | 99,93 | 1,608 | 0,80 | | | |
| PRE-4 | 99,54 | 1,609 | 0,80 | | | |
| PRE-5 | 99,84 | 1,584 | 0,79 | | | |
| PRE-6 | 100,53 | 1,586 | 0,79 | | | |

Tablica 47: Rezultati mjerenja preciznosti za talij

PONOVLJIVOST

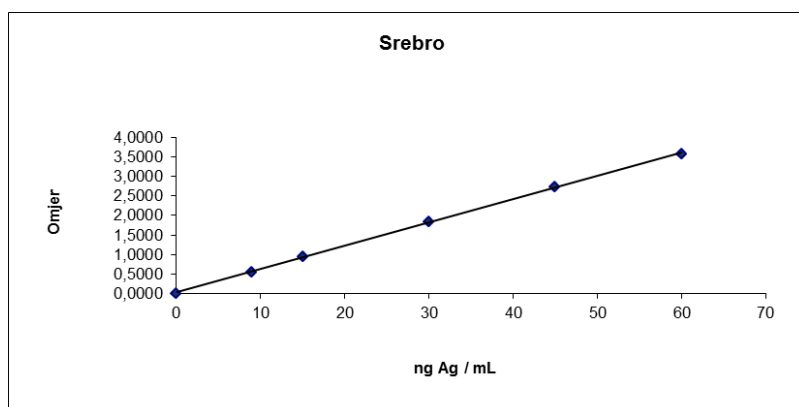
| | |
|--------------------|----------|
| Srednja vrijednost | 0,79 |
| SD | 0 |
| RSD(%) | 2 |

Tablica 48: Rezultati mjerenja ponovljivosti za talij

Koeficijent korelacije za talij iznosi 0,9952 što je nešto lošija vrijednost ali zadovoljava kriterij prihvatljivosti za linearnost. Analitički prinos i RSD vrijednost zadovoljavaju kriterije za granica određivanja i točnost. RSD vrijednost zadovoljava kriterij prihvatljivosti za preciznost i ponovljivost. Svi kriteriji su zadovoljeni stoga je metoda pogodna za određivanje talija.

4.2.9 SREBRO

LINEARNOST



| <i>c</i> (ng/mL) | Omjer |
|---------------------|--------|
| 0,0 | 0,0001 |
| 9,0 | 0,5458 |
| 15,0 | 0,9387 |
| 30,0 | 1,8461 |
| 45,0 | 2,7439 |
| 60,0 | 3,5812 |

| | |
|------------------------|--------|
| Nagib (a) | 0,0604 |
| Odsjek (b) | 0,0001 |
| Koeficijent korelacije | 0,9998 |

Slika 13: Rezultati mjerenja linearnosti za srebro

TOČNOST

| Level | Oznaka | <i>m</i> (mg) | Dodani ppm | <i>c</i> (ng/mL) | Izračunati ppm | Srednji ppm | Analitički prinos (%) | RSD (%) |
|---------|--------|---------------|---------------|---------------------|-------------------|----------------|--------------------------|------------|
| Level 0 | ACC-1 | 99,73 | 0,0 | 0,000 | 0,0 | 0,0 | - | - |
| | ACC-2 | 100,74 | | 0,000 | 0,0 | | | |
| | ACC-3 | 100,55 | | 0,000 | 0,0 | | | |
| Level 1 | ACC-4 | 99,04 | 7,5 | 14,496 | 7,2 | 7,3 | 97 | 1 |
| | ACC-5 | 99,12 | | 14,640 | 7,3 | | | |
| | ACC-6 | 99,83 | | 14,732 | 7,4 | | | |
| Level 2 | ACC-7 | 100,99 | 15,0 | 29,862 | 14,9 | 15,2 | 101 | 2 |
| | ACC-8 | 99,41 | | 30,979 | 15,5 | | | |
| | ACC-9 | 101,79 | | 30,274 | 15,1 | | | |
| Level 3 | ACC-10 | 98,99 | 22,5 | 44,700 | 22,4 | 22,4 | 100 | 1 |
| | ACC-11 | 100,25 | | 44,375 | 22,2 | | | |
| | ACC-12 | 99,42 | | 45,407 | 22,7 | | | |

Tablica 49: Rezultati mjerenja točnosti za srebro

GRANICA ODREĐIVANJA

| Oznaka | <i>m</i> (mg) | Dodani ppm | <i>C</i> (ng/mL) | Izračunati ppm | Srednji ppm | Analitički prinos (%) | | | |
|--------|---------------|---------------|---------------------|-------------------|----------------|--------------------------|-------------------------|-----|------------|
| ACC-1 | 99,73 | 0,00 | 0,000 | 0,00 | 0,00 | - | | | |
| ACC-2 | 100,74 | | 0,000 | 0,00 | | - | | | |
| ACC-3 | 100,55 | | 0,000 | 0,00 | | - | | | |
| | | | | | | | Prosječna vrijednost | SD | RSD (%) |
| QL-1 | 100,53 | 4,5 | 9,440 | 4,7 | 4,7 | 105 | 104 | 0,1 | 1 |
| QL-2 | 99,93 | | 9,368 | 4,7 | | 104 | | | |
| QL-3 | 98,83 | | 9,414 | 4,7 | | 105 | | | |
| QL-4 | 102,70 | | 9,441 | 4,7 | | 105 | | | |
| QL-5 | 99,84 | | 9,204 | 4,6 | | 102 | | | |
| QL-6 | 100,27 | | 9,118 | 4,6 | | 101 | | | |

Tablica 50: Rezultati mjerenja granice određivanja za srebro

PRECIZNOST

| Oznaka | <i>m</i> (mg) | <i>c</i> (ng/mL) | ppm | Srednja vrijednost | SD | RSD (%) |
|--------|---------------|---------------------|------|-----------------------|----|---------|
| PRE-1 | 100,38 | 30,387 | 15,2 | 15,2 | 0 | 1 |
| PRE-2 | 100,44 | 29,811 | 14,9 | | | |
| PRE-3 | 99,93 | 30,194 | 15,1 | | | |
| PRE-4 | 99,54 | 30,808 | 15,4 | | | |
| PRE-5 | 99,84 | 30,747 | 15,4 | | | |
| PRE-6 | 100,53 | 30,356 | 15,2 | | | |

Tablica 51: Rezultati mjerenja preciznosti za srebro

PONOVLJIVOST

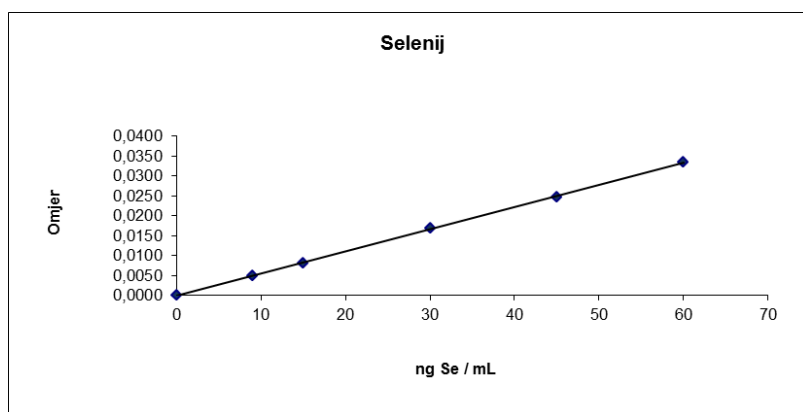
| | |
|--------------------|----------|
| Srednja vrijednost | 15,2 |
| SD | 0 |
| RSD(%) | 1 |

Tablica 52: Rezultati mjerenja ponovljivosti za srebro

Koeficijent korelacije za srebro iznosi 0,9998 što zadovoljava kriterij prihvatljivosti za linearnost. Analitički prinos i RSD vrijednost zadovoljavaju kriterije za granica određivanja i točnost. RSD vrijednost zadovoljava kriterij prihvatljivosti za preciznost i ponovljivost. Svi kriteriji su zadovoljeni stoga je metoda izvrsna za određivanje srebra.

4.2.10 SELENIJ

LINEARNOST



| <i>c</i> (ng/mL) | Omjer |
|---------------------|--------|
| 0,0 | 0,0002 |
| 9,0 | 0,0051 |
| 15,0 | 0,0082 |
| 30,0 | 0,0169 |
| 45,0 | 0,0247 |
| 60,0 | 0,0335 |

| | |
|------------------------|--------|
| Nagib (a) | 0,0006 |
| Odsjek (b) | 0,0002 |
| Koeficijent korelacije | 0,9999 |

Slika 14: Rezultati mjerenja linearnosti za selenij

TOČNOST

| Level | Oznaka | <i>m</i> (mg) | Dodani ppm | <i>c</i> (ng/mL) | Izračunati ppm | Srednji ppm | Analitički prinos (%) | RSD (%) |
|---------|--------|---------------|---------------|---------------------|-------------------|----------------|--------------------------|------------|
| Level 0 | ACC-1 | 99,73 | 0,0 | 0,000 | 0,0 | 0,0 | - | - |
| | ACC-2 | 100,74 | | 0,000 | 0,0 | | | |
| | ACC-3 | 100,55 | | 0,000 | 0,0 | | | |
| Level 1 | ACC-4 | 99,04 | 7,5 | 15,199 | 7,6 | 7,4 | 99 | 2 |
| | ACC-5 | 99,12 | | 14,482 | 7,2 | | | |
| | ACC-6 | 99,83 | | 14,901 | 7,5 | | | |
| Level 2 | ACC-7 | 100,99 | 15,0 | 30,503 | 15,3 | 15,0 | 100 | 2 |
| | ACC-8 | 99,41 | | 30,045 | 15,0 | | | |
| | ACC-9 | 101,79 | | 29,515 | 14,8 | | | |
| Level 3 | ACC-10 | 98,99 | 22,5 | 44,258 | 22,1 | 22,4 | 100 | 1 |
| | ACC-11 | 100,25 | | 45,240 | 22,6 | | | |
| | ACC-12 | 99,42 | | 45,089 | 22,5 | | | |

Tablica 53: Rezultati mjerenja točnosti za selenij

GRANICA ODREĐIVANJA

| Oznaka | <i>m</i> (mg) | Dodani ppm | <i>C</i> (ng/mL) | Izračunati ppm | Srednji ppm | Analitički prinos (%) | | | |
|--------|---------------|---------------|---------------------|-------------------|----------------|--------------------------|-------------------------|-----|------------|
| ACC-1 | 99,73 | 0,00 | 0,000 | 0,00 | 0,00 | - | | | |
| ACC-2 | 100,74 | | 0,000 | 0,00 | | - | | | |
| ACC-3 | 100,55 | | 0,000 | 0,00 | | - | | | |
| | | | | | | | Prosječna vrijednost | SD | RSD (%) |
| QL-1 | 100,53 | 4,5 | 9,036 | 4,5 | 4,7 | 100 | 103 | 0,2 | 5 |
| QL-2 | 99,93 | | 9,896 | 4,9 | | 110 | | | |
| QL-3 | 98,83 | | 9,148 | 4,6 | | 102 | | | |
| QL-4 | 102,70 | | 8,677 | 4,3 | | 96 | | | |
| QL-5 | 99,84 | | 9,579 | 4,8 | | 106 | | | |
| QL-6 | 100,27 | | 9,468 | 4,7 | | 105 | | | |

Tablica 54: Rezultati mjerenja granice određivanja za selenij

PRECIZNOST

| Oznaka | <i>m</i> (mg) | <i>c</i> (ng/mL) | ppm | Srednja vrijednost | SD | RSD (%) |
|--------|---------------|---------------------|------|-----------------------|----|---------|
| PRE-1 | 100,38 | 30,193 | 15,1 | 15,3 | 0 | 1 |
| PRE-2 | 100,44 | 30,863 | 15,4 | | | |
| PRE-3 | 99,93 | 30,654 | 15,3 | | | |
| PRE-4 | 99,54 | 30,441 | 15,2 | | | |
| PRE-5 | 99,84 | 30,434 | 15,2 | | | |
| PRE-6 | 100,53 | 30,745 | 15,4 | | | |

Tablica 55: Rezultati mjerenja preciznosti za selenij

PONOVLJIVOST

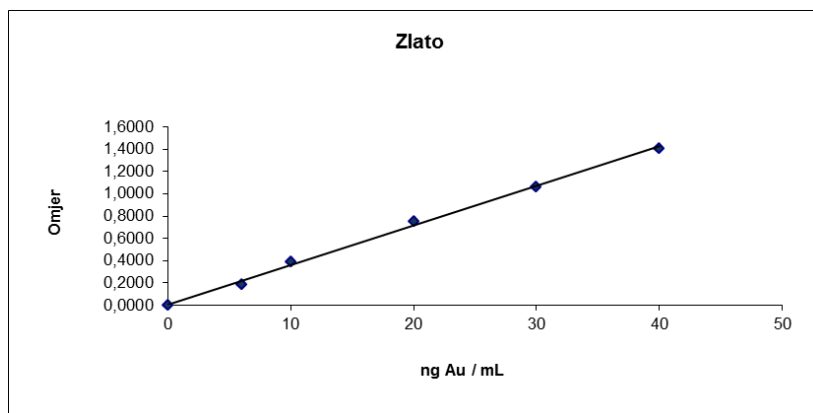
| | |
|--------------------|----------|
| Srednja vrijednost | 15,1 |
| SD | 0 |
| RSD(%) | 1 |

Tablica 56: Rezultati mjerenja ponovljivosti za selenij

Koeficijent korelacije za selenij iznosi 0,9999 što zadovoljava kriterij prihvatljivosti za linearnost. Analitički prinos i RSD vrijednost zadovoljavaju kriterije za granica određivanja i točnost. RSD vrijednost zadovoljava kriterij prihvatljivosti za preciznost i ponovljivost. Svi kriteriji su zadovoljeni stoga je metoda izvrsna za određivanje selenija.

4.2.11 ZLATO

LINEARNOST



| c (ng/mL) | Omjer |
|----------------|--------|
| 0 | 0,0002 |
| 6 | 0,1870 |
| 10 | 0,3886 |
| 20 | 0,7525 |
| 30 | 1,0645 |
| 40 | 1,4102 |

| | |
|------------------------|--------|
| Nagib (a) | 0,0357 |
| Odsjek (b) | 0,0002 |
| Koeficijent korelacije | 0,9988 |

Slika 15: Rezultati mjerenja linearnosti za zlato

TOČNOST

| Level | Oznaka | m (mg) | Dodani ppm | c (ng/mL) | Izračunati ppm | Srednji ppm | Analitički prinos (%) | RSD (%) |
|---------|--------|----------|---------------|----------------|-------------------|----------------|--------------------------|------------|
| Level 0 | ACC-1 | 99,73 | 0 | 0,000 | 0 | 0 | - | - |
| | ACC-2 | 100,74 | | 0,000 | 0 | | | |
| | ACC-3 | 100,55 | | 0,000 | 0 | | | |
| Level 1 | ACC-4 | 99,04 | 5 | 8,131 | 4 | 4 | 84 | 3 |
| | ACC-5 | 99,12 | | 8,453 | 4 | | | |
| | ACC-6 | 99,83 | | 8,628 | 4 | | | |
| Level 2 | ACC-7 | 100,99 | 10 | 17,249 | 9 | 9 | 90 | 4 |
| | ACC-8 | 99,41 | | 18,454 | 9 | | | |
| | ACC-9 | 101,79 | | 18,549 | 9 | | | |
| Level 3 | ACC-10 | 98,99 | 15 | 21,622 | 11 | 11 | 73 | 4 |
| | ACC-11 | 100,25 | | 21,280 | 11 | | | |
| | ACC-12 | 99,42 | | 22,915 | 11 | | | |

Tablic 57: Rezultati mjerenja točnosti za zlato

GRANICA ODREĐIVANJA

| Oznaka | <i>m</i> (mg) | Dodani ppm | <i>C</i> (ng/mL) | Izračunati ppm | Srednji ppm | Analitički prinos (%) | | | |
|--------|---------------|---------------|---------------------|-------------------|----------------|--------------------------|-------------------------|-----|------------|
| ACC-1 | 99,73 | 0,00 | 0,000 | 0,00 | 0,00 | - | | | |
| ACC-2 | 100,74 | | 0,000 | 0,00 | | - | | | |
| ACC-3 | 100,55 | | 0,000 | 0,00 | | - | | | |
| | | | | | | | Prosječna vrijednost | SD | RSD (%) |
| QL-1 | 100,53 | 3 | 6,103 | 3 | 3 | 102 | 98 | 0,2 | 7 |
| QL-2 | 99,93 | | 6,122 | 3 | | 102 | | | |
| QL-3 | 98,83 | | 6,208 | 3 | | 103 | | | |
| QL-4 | 102,70 | | 6,140 | 3 | | 102 | | | |
| QL-5 | 99,84 | | 5,232 | 3 | | 87 | | | |
| QL-6 | 100,27 | | 5,505 | 3 | | 92 | | | |

Tablica 58: Rezultati mjerenja granice određivanja za zlato

PRECIZNOST

| Oznaka | <i>m</i> (mg) | <i>c</i> (ng/mL) | ppm | Srednja vrijednost | SD | RSD (%) |
|--------|---------------|---------------------|-----|-----------------------|----|---------|
| PRE-1 | 100,38 | 14,699 | 7 | 9 | 1 | 9 |
| PRE-2 | 100,44 | 18,400 | 9 | | | |
| PRE-3 | 99,93 | 17,357 | 9 | | | |
| PRE-4 | 99,54 | 17,681 | 9 | | | |
| PRE-5 | 99,84 | 18,671 | 9 | | | |
| PRE-6 | 100,53 | 18,841 | 9 | | | |

Tablica 59: Rezultati mjerenja preciznosti za zlato

PONOVLJIVOST

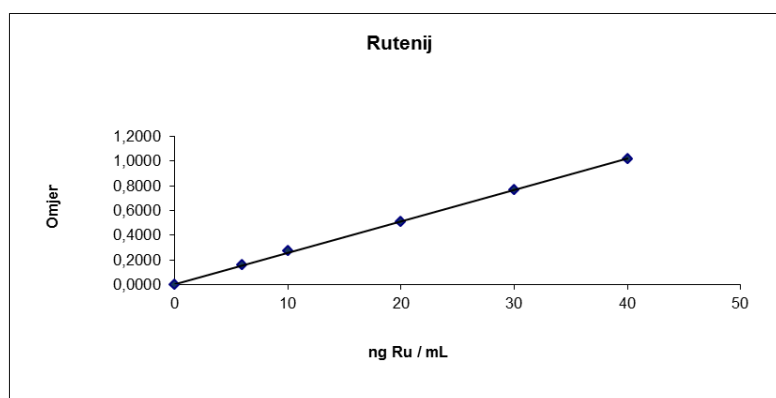
| | |
|--------------------|----------|
| Srednja vrijednost | 9 |
| SD | 1 |
| RSD(%) | 7 |

Tablica 60: Rezultati mjerenja ponovljivosti za zlato

Koeficijent korelacije za zlato iznosi 0,9988 što zadovoljava kriterij prihvatljivosti za linearnost. Analitički prinos i RSD vrijednost zadovoljavaju kriterije za granica određivanja. Analitički prinos kod mjerenja točnosti je na granici prihvatljivosti. RSD vrijednost zadovoljava kriterij prihvatljivosti za preciznost i ponovljivost. Svi kriteriji su zadovoljeni stoga je metoda pogodna za određivanje zlata.

4.2.12 RUTENIJ

LINEARNOST



| <i>c</i> (ng/mL) | Omjer |
|---------------------|--------|
| 0 | 0,0000 |
| 6 | 0,1563 |
| 10 | 0,2696 |
| 20 | 0,5046 |
| 30 | 0,7689 |
| 40 | 1,0205 |

| | |
|------------------------|--------|
| Nagib (a) | 0,0256 |
| Odsjek (b) | 0,0000 |
| Koeficijent korelacije | 0,9999 |

Slika 16: Rezultati mjerenja linearnosti za rutenij

TOČNOST

| Level | Oznaka | <i>m</i> (mg) | Dodani ppm | <i>c</i> (ng/mL) | Izračunati ppm | Srednji ppm | Analitički prinos (%) | RSD (%) |
|---------|--------|---------------|---------------|---------------------|-------------------|----------------|--------------------------|------------|
| Level 0 | ACC-1 | 99,73 | 0 | 0,000 | 0 | 0 | - | - |
| | ACC-2 | 100,74 | | 0,000 | 0 | | | |
| | ACC-3 | 100,55 | | 0,000 | 0 | | | |
| Level 1 | ACC-4 | 99,04 | 5 | 9,936 | 5 | 5 | 100 | 1 |
| | ACC-5 | 99,12 | | 9,939 | 5 | | | |
| | ACC-6 | 99,83 | | 10,195 | 5 | | | |
| Level 2 | ACC-7 | 100,99 | 10 | 20,428 | 10 | 10 | 103 | 1 |
| | ACC-8 | 99,41 | | 20,652 | 10 | | | |
| | ACC-9 | 101,79 | | 20,427 | 10 | | | |
| Level 3 | ACC-10 | 98,99 | 15 | 30,524 | 15 | 15 | 101 | 1 |
| | ACC-11 | 100,25 | | 30,138 | 15 | | | |
| | ACC-12 | 99,42 | | 30,271 | 15 | | | |

Tablica 61: Rezultati mjerenja točnosti za rutenij

GRANICA ODREĐIVANJA

| Oznaka | <i>m</i> (mg) | Dodani ppm | <i>C</i> (ng/mL) | Izračunati ppm | Srednji ppm | Analitički prinos (%) | | | |
|--------|---------------|---------------|---------------------|-------------------|----------------|--------------------------|-------------------------|-----|------------|
| ACC-1 | 99,73 | 0,00 | 0,000 | 0,00 | 0,00 | - | | | |
| ACC-2 | 100,74 | | 0,000 | 0,00 | | - | | | |
| ACC-3 | 100,55 | | 0,000 | 0,00 | | - | | | |
| | | | | | | | Prosječna vrijednost | SD | RSD (%) |
| QL-1 | 100,53 | 3 | 6,346 | 3 | 3 | 106 | 105 | 0,1 | 2 |
| QL-2 | 99,93 | | 6,292 | 3 | | 105 | | | |
| QL-3 | 98,83 | | 6,411 | 3 | | 107 | | | |
| QL-4 | 102,70 | | 6,435 | 3 | | 107 | | | |
| QL-5 | 99,84 | | 6,184 | 3 | | 103 | | | |
| QL-6 | 100,27 | | 6,112 | 3 | | 102 | | | |

Tablica 62: Rezultati mjerenja granice određivanja za rutenij

PRECIZNOST

| Oznaka | <i>m</i> (mg) | <i>c</i> (ng/mL) | ppm | Srednja vrijednost | SD | RSD (%) |
|--------|---------------|---------------------|-----|-----------------------|----|---------|
| PRE-1 | 100,38 | 20,123 | 10 | 10 | 0 | 0 |
| PRE-2 | 100,44 | 20,330 | 10 | | | |
| PRE-3 | 99,93 | 20,185 | 10 | | | |
| PRE-4 | 99,54 | 20,325 | 10 | | | |
| PRE-5 | 99,84 | 20,284 | 10 | | | |
| PRE-6 | 100,53 | 20,227 | 10 | | | |

Tablica 63: Rezultati mjerenja preciznosti za rutenij

PONOVLJIVOST

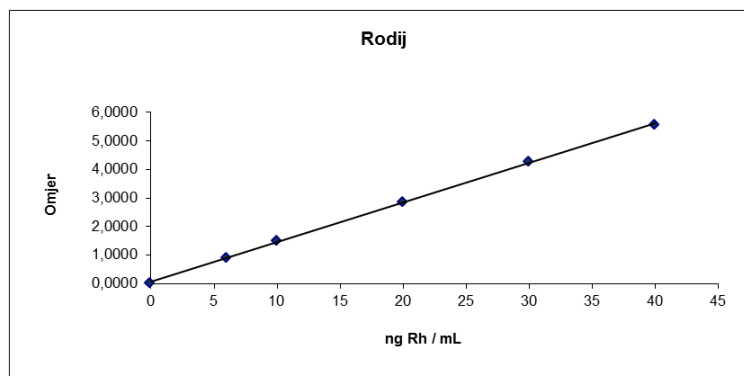
| | |
|--------------------|----------|
| Srednja vrijednost | 10 |
| SD | 0 |
| RSD(%) | 1 |

Tablica 64: Rezultati mjerenja ponovljivosti za rutenij

Koeficijent korelacije za rutenij iznosi 0,9999 što zadovoljava kriterij prihvatljivosti za linearnost. Analitički prinos i RSD vrijednost zadovoljavaju kriterije za granica određivanja i točnost. RSD vrijednost zadovoljava kriterij prihvatljivosti za preciznost i ponovljivost. Svi kriteriji su zadovoljeni stoga je metoda izvrsna za određivanje rutenija.

4.2.13 RODIJ

LINEARNOST



| <i>c</i> (ng/mL) | Omjer |
|---------------------|--------|
| 0 | 0,0088 |
| 6 | 0,8892 |
| 10 | 1,5041 |
| 20 | 2,8501 |
| 30 | 4,2758 |
| 40 | 5,5670 |

| | |
|------------------------|--------|
| Nagib (a) | 0,1408 |
| Odsjek (b) | 0,0088 |
| Koeficijent korelacije | 0,9998 |

Slika 17: Rezultati mjerenja linearnosti za rodij

TOČNOST

| Level | Oznaka | <i>m</i> (mg) | Dodani ppm | <i>c</i> (ng/mL) | Izračunati ppm | Srednji ppm | Analitički prinos (%) | RSD (%) |
|---------|--------|---------------|---------------|---------------------|-------------------|----------------|--------------------------|------------|
| Level 0 | ACC-1 | 99,73 | 0 | 0,000 | 0,0 | 0 | - | - |
| | ACC-2 | 100,74 | | 0,000 | 0,0 | | | |
| | ACC-3 | 100,55 | | 0,000 | 0,0 | | | |
| Level 1 | ACC-4 | 99,04 | 5 | 10,230 | 1,5 | 5 | 102 | 0 |
| | ACC-5 | 99,12 | | 10,219 | 1,5 | | | |
| | ACC-6 | 99,83 | | 10,256 | 1,5 | | | |
| Level 2 | ACC-7 | 100,99 | 10 | 20,417 | 2,9 | 10 | 103 | 1 |
| | ACC-8 | 99,41 | | 20,894 | 3,0 | | | |
| | ACC-9 | 101,79 | | 20,596 | 3,0 | | | |
| Level 3 | ACC-10 | 98,99 | 15 | 30,480 | 4,5 | 15 | 101 | 0 |
| | ACC-11 | 100,25 | | 30,217 | 4,5 | | | |
| | ACC-12 | 99,42 | | 30,372 | 4,6 | | | |

Tablica 65: Rezultati mjerenja točnosti za rodij

GRANICA ODREĐIVANJA

| Oznaka | <i>m</i> (mg) | Dodani ppm | <i>C</i> (ng/mL) | Izračunati ppm | Srednji ppm | Analitički prinos (%) | Prosječna vrijednost | SD | RSD (%) |
|--------|---------------|---------------|---------------------|-------------------|----------------|--------------------------|-------------------------|-----|------------|
| ACC-1 | 99,73 | 0,00 | 0,000 | 0,00 | 0,00 | - | 104 | 0,0 | 1 |
| ACC-2 | 100,74 | | 0,000 | 0,00 | | - | | | |
| ACC-3 | 100,55 | | 0,000 | 0,00 | | - | | | |
| QL-1 | 100,53 | 3 | 6,301 | 3 | 3 | 105 | | | |
| QL-2 | 99,93 | | 6,287 | 3 | | 105 | | | |
| QL-3 | 98,83 | | 6,323 | 3 | | 105 | | | |
| QL-4 | 102,70 | | 6,302 | 3 | | 105 | | | |
| QL-5 | 99,84 | | 6,154 | 3 | | 103 | | | |
| QL-6 | 100,27 | | 6,104 | 3 | | 102 | | | |

Tablica 66: Rezultati mjerenja granice određivanja za rodij

PRECIZNOST

| Oznaka | <i>m</i> (mg) | <i>c</i> (ng/mL) | ppm | Srednja vrijednost | SD | RSD (%) |
|--------|---------------|---------------------|-----|-----------------------|----|---------|
| PRE-1 | 100,38 | 20,256 | 10 | 10 | 0 | 1 |
| PRE-2 | 100,44 | 20,270 | 10 | | | |
| PRE-3 | 99,93 | 20,394 | 10 | | | |
| PRE-4 | 99,54 | 20,604 | 10 | | | |
| PRE-5 | 99,84 | 20,584 | 10 | | | |
| PRE-6 | 100,53 | 20,360 | 10 | | | |

Tablica 67: Rezultati mjerenja preciznosti za rodij

PONOVLJIVOST

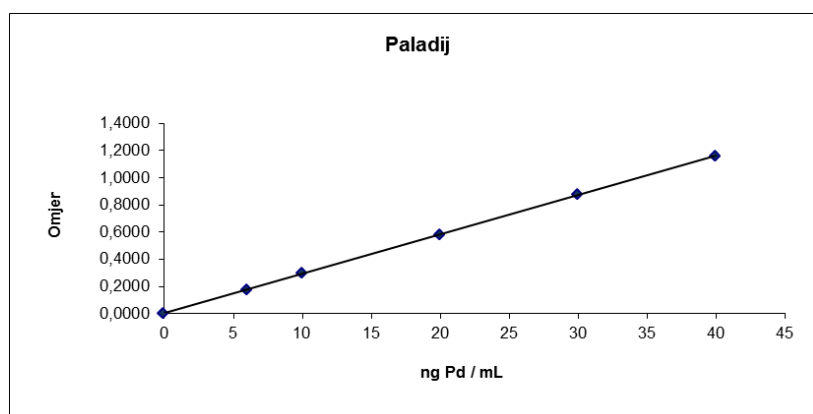
| | |
|--------------------|----------|
| Srednja vrijednost | 10 |
| SD | 0 |
| RSD(%) | 1 |

Tablica 68: Rezultati mjerenja ponovljivosti za rodij

Koeficijent korelacije za rodij iznosi 0,9998 što zadovoljava kriterij prihvatljivosti za linearnost. Analitički prinos i RSD vrijednost zadovoljavaju kriterije za granica određivanja i točnost. RSD vrijednost zadovoljava kriterij prihvatljivosti za preciznost i ponovljivost. Svi kriteriji su zadovoljeni stoga je metoda izvrsna za određivanje rodija.

4.2.14 PALADIJ

LINEARNOST



| <i>c</i> (ng/mL) | Omjer |
|---------------------|--------|
| 0 | 0,0001 |
| 6 | 0,1765 |
| 10 | 0,2954 |
| 20 | 0,5841 |
| 30 | 0,8763 |
| 40 | 1,1599 |

Slika 18: Rezultati mjerenja linearnosti za paladij

| | |
|------------------------|--------|
| Nagib (a) | 0,0291 |
| Odsjek (b) | 0,0001 |
| Koeficijent korelacije | 1,0000 |

TOČNOST

| Level | Oznaka | <i>m</i> (mg) | Dodani ppm | <i>c</i> (ng/mL) | Izračunati ppm | Srednji ppm | Analitički prinos (%) | RSD (%) |
|---------|--------|---------------|---------------|---------------------|-------------------|----------------|--------------------------|------------|
| Level 0 | ACC-1 | 99,73 | 0 | 0,000 | 0 | 0 | - | - |
| | ACC-2 | 100,74 | | 0,000 | 0 | | | |
| | ACC-3 | 100,55 | | 0,000 | 0 | | | |
| Level 1 | ACC-4 | 99,04 | 5 | 9,774 | 5 | 5 | 99 | 1 |
| | ACC-5 | 99,12 | | 9,929 | 5 | | | |
| | ACC-6 | 99,83 | | 9,949 | 5 | | | |
| Level 2 | ACC-7 | 100,99 | 10 | 19,697 | 10 | 10 | 100 | 2 |
| | ACC-8 | 99,41 | | 20,399 | 10 | | | |
| | ACC-9 | 101,79 | | 20,116 | 10 | | | |
| Level 3 | ACC-10 | 98,99 | 15 | 29,647 | 15 | 15 | 99 | 1 |
| | ACC-11 | 100,25 | | 29,541 | 15 | | | |
| | ACC-12 | 99,42 | | 30,086 | 15 | | | |

Tablica 69: Rezultati mjerenja točnosti za paladij

GRANICA ODREĐIVANJA

| Oznaka | <i>m</i> (mg) | Dodani ppm | <i>C</i> (ng/mL) | Izračunati ppm | Srednji ppm | Analitički prinos (%) | | | |
|--------|---------------|---------------|---------------------|-------------------|----------------|--------------------------|-------------------------|-----|------------|
| ACC-1 | 99,73 | 0,00 | 0,000 | 0,00 | 0,00 | - | | | |
| ACC-2 | 100,74 | | 0,000 | 0,00 | | - | | | |
| ACC-3 | 100,55 | | 0,000 | 0,00 | | - | | | |
| | | | | | | | Prosječna vrijednost | SD | RSD (%) |
| QL-1 | 100,53 | 3 | 6,364 | 3 | 3 | 106 | 105 | 0,0 | 1 |
| QL-2 | 99,93 | | 6,369 | 3 | | 106 | | | |
| QL-3 | 98,83 | | 6,358 | 3 | | 106 | | | |
| QL-4 | 102,70 | | 6,282 | 3 | | 105 | | | |
| QL-5 | 99,84 | | 6,182 | 3 | | 103 | | | |
| QL-6 | 100,27 | | 6,283 | 3 | | 105 | | | |

Tablica 70: Rezultati mjerenja granice određivanja za paladij

PRECIZNOST

| Oznaka | <i>m</i> (mg) | <i>c</i> (ng/mL) | ppm | Srednja vrijednost | SD | RSD (%) |
|--------|---------------|------------------|-----|--------------------|----|---------|
| PRE-1 | 100,38 | 20,164 | 10 | 10 | 0 | 1 |
| PRE-2 | 100,44 | 19,950 | 10 | | | |
| PRE-3 | 99,93 | 20,121 | 10 | | | |
| PRE-4 | 99,54 | 20,395 | 10 | | | |
| PRE-5 | 99,84 | 20,293 | 10 | | | |
| PRE-6 | 100,53 | 19,968 | 10 | | | |

Tablica 71: Rezultati mjerenja preciznosti za paladij

PONOVLJIVOST

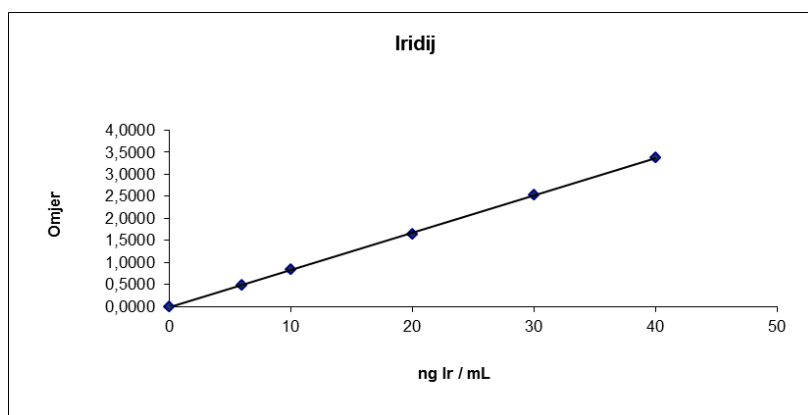
| | |
|--------------------|----------|
| Srednja vrijednost | 10 |
| SD | 0 |
| RSD(%) | 1 |

Tablica 72: Rezultati mjerenja ponovljivosti za paladij

Koeficijent korelacije za paladij iznosi 1,0000 što zadovoljava kriterij prihvatljivosti za linearnost. Analitički prinos i RSD vrijednost zadovoljavaju kriterije za granica određivanja i točnost. RSD vrijednost zadovoljava kriterij prihvatljivosti za preciznost i ponovljivost. Svi kriteriji su zadovoljeni stoga je metoda izvrsna za određivanje paladija.

4.2.15 IRIDIJ

LINEARNOST



| <i>c</i> (ng/mL) | Omjer |
|---------------------|--------|
| 0 | 0,0005 |
| 6 | 0,4838 |
| 10 | 0,8340 |
| 20 | 1,6498 |
| 30 | 2,5367 |
| 40 | 3,3821 |

| | |
|------------------------|--------|
| Nagib (a) | 0,0842 |
| Odsjek (b) | 0,0005 |
| Koeficijent korelacije | 0,9999 |

Slika 19: Rezultati mjerenja linearnosti za iridij

TOČNOST

| Level | Oznaka | <i>m</i> (mg) | Dodani ppm | <i>c</i> (ng/mL) | Izračunati ppm | Srednji ppm | Analitički prinos (%) | RSD (%) |
|---------|--------|---------------|---------------|---------------------|-------------------|----------------|--------------------------|------------|
| Level 0 | ACC-1 | 99,73 | 0 | 0,000 | 0 | 0 | - | - |
| | ACC-2 | 100,74 | | 0,000 | 0 | | | |
| | ACC-3 | 100,55 | | 0,000 | 0 | | | |
| Level 1 | ACC-4 | 99,04 | 5 | 9,518 | 5 | 5 | 96 | 1 |
| | ACC-5 | 99,12 | | 9,693 | 5 | | | |
| | ACC-6 | 99,83 | | 9,509 | 5 | | | |
| Level 2 | ACC-7 | 100,99 | 10 | 19,844 | 10 | 10 | 101 | 2 |
| | ACC-8 | 99,41 | | 20,662 | 10 | | | |
| | ACC-9 | 101,79 | | 20,284 | 10 | | | |
| Level 3 | ACC-10 | 98,99 | 15 | 30,072 | 15 | 15 | 102 | 1 |
| | ACC-11 | 100,25 | | 30,506 | 15 | | | |
| | ACC-12 | 99,42 | | 30,839 | 15 | | | |

Tablica 73: Rezultati mjerenja točnosti za iridij

GRANICA ODREĐIVANJA

| Oznaka | <i>m</i> (mg) | Dodani ppm | <i>C</i> (ng/mL) | Izračunati ppm | Srednji ppm | Analitički prinos (%) | Prosječna vrijednost | SD | RSD (%) |
|--------|---------------|---------------|---------------------|-------------------|----------------|--------------------------|-------------------------|-----|------------|
| ACC-1 | 99,73 | 0,00 | 0,000 | 0,00 | 0,00 | - | 103 | 0,0 | 1 |
| ACC-2 | 100,74 | | 0,000 | 0,00 | | - | | | |
| ACC-3 | 100,55 | | 0,000 | 0,00 | | - | | | |
| QL-1 | 100,53 | 3 | 6,218 | 3 | 3 | 104 | | | |
| QL-2 | 99,93 | | 6,206 | 3 | | 103 | | | |
| QL-3 | 98,83 | | 6,260 | 3 | | 104 | | | |
| QL-4 | 102,70 | | 6,145 | 3 | | 102 | | | |
| QL-5 | 99,84 | | 6,095 | 3 | | 102 | | | |
| QL-6 | 100,27 | | 6,031 | 3 | | 101 | | | |

Tablica 74: Rezultati mjerenja granice određivanja za iridij

PRECIZNOST

| Oznaka | <i>m</i> (mg) | <i>c</i> (ng/mL) | ppm | Srednja vrijednost | SD | RSD (%) |
|--------|---------------|---------------------|-----|-----------------------|----|---------|
| PRE-1 | 100,38 | 20,292 | 10 | 10 | 0 | 1 |
| PRE-2 | 100,44 | 19,833 | 10 | | | |
| PRE-3 | 99,93 | 20,131 | 10 | | | |
| PRE-4 | 99,54 | 20,296 | 10 | | | |
| PRE-5 | 99,84 | 20,106 | 10 | | | |
| PRE-6 | 100,53 | 20,150 | 10 | | | |

Tablica 75: Rezultati mjerenja preciznosti za iridij

PONOVLJIVOST

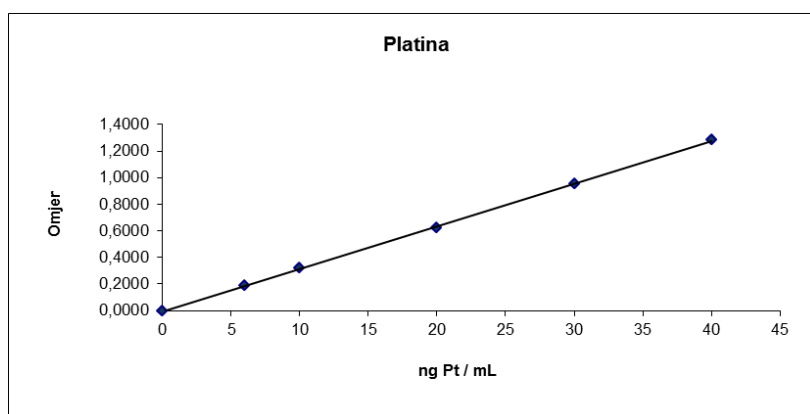
| | |
|--------------------|----------|
| Srednja vrijednost | 10 |
| SD | 0 |
| RSD(%) | 1 |

Tablica 76: Rezultati mjerenja ponovljivosti za iridij

Koeficijent korelacije za iridij iznosi 0,9999 što zadovoljava kriterij prihvatljivosti za linearnost. Analitički prinos i RSD vrijednost zadovoljavaju kriterije za granica određivanja i točnost. RSD vrijednost zadovoljava kriterij prihvatljivosti za preciznost i ponovljivost. Svi kriteriji su zadovoljeni stoga je metoda izvrsna za određivanje iridij.

4.2.16 PLATINA

LINEARNOST



| <i>c</i> (ng/mL) | Omjer |
|---------------------|--------|
| 0 | 0,0001 |
| 6 | 0,1853 |
| 10 | 0,3177 |
| 20 | 0,6257 |
| 30 | 0,9540 |
| 40 | 1,2835 |

| | |
|------------------------|--------|
| Nagib (a) | 0,0319 |
| Odsjek (b) | 0,0001 |
| Koeficijent korelacije | 0,9999 |

Slika 20: Rezultati mjerenja linearnosti za platinu

TOČNOST

| Level | Oznaka | <i>m</i> (mg) | Dodani ppm | <i>c</i> (ng/mL) | Izračunati ppm | Srednji ppm | Analitički prinos (%) | RSD (%) |
|---------|--------|---------------|---------------|---------------------|-------------------|----------------|--------------------------|------------|
| Level 0 | ACC-1 | 99,73 | 0 | 0,002 | 0 | 0 | - | - |
| | ACC-2 | 100,74 | | 0,000 | 0 | | | |
| | ACC-3 | 100,55 | | 0,000 | 0 | | | |
| Level 1 | ACC-4 | 99,04 | 5 | 9,796 | 5 | 5 | 99 | 1 |
| | ACC-5 | 99,12 | | 9,968 | 5 | | | |
| | ACC-6 | 99,83 | | 9,877 | 5 | | | |
| Level 2 | ACC-7 | 100,99 | 10 | 19,670 | 10 | 10 | 100 | 2 |
| | ACC-8 | 99,41 | | 20,244 | 10 | | | |
| | ACC-9 | 101,79 | | 20,111 | 10 | | | |
| Level 3 | ACC-10 | 98,99 | 15 | 29,698 | 15 | 15 | 100 | 1 |
| | ACC-11 | 100,25 | | 30,025 | 15 | | | |
| | ACC-12 | 99,42 | | 30,066 | 15 | | | |

Tablica 77: Rezultati mjerenja točnosti za platinu

GRANICA ODREĐIVANJA

| Oznaka | <i>m</i> (mg) | Dodani ppm | <i>C</i> (ng/mL) | Izračunati ppm | Srednji ppm | Analitički prinos (%) | | | |
|--------|---------------|---------------|---------------------|-------------------|----------------|--------------------------|-------------------------|-----|------------|
| ACC-1 | 99,73 | 0,00 | 0,002 | 0,00 | 0,00 | - | | | |
| ACC-2 | 100,74 | | 0,000 | 0,00 | | - | | | |
| ACC-3 | 100,55 | | 0,000 | 0,00 | | - | | | |
| | | | | | | | Prosječna vrijednost | SD | RSD (%) |
| QL-1 | 100,53 | 3 | 6,345 | 3 | 3 | 106 | 105 | 1,9 | 2 |
| QL-2 | 99,93 | | 6,353 | 3 | | 106 | | | |
| QL-3 | 98,83 | | 6,434 | 3 | | 107 | | | |
| QL-4 | 102,70 | | 6,301 | 3 | | 105 | | | |
| QL-5 | 99,84 | | 6,135 | 3 | | 102 | | | |
| QL-6 | 100,27 | | 6,163 | 3 | | 103 | | | |

Tablica 78: Rezultati mjerenja granice određivanja za platinu

PRECIZNOST

| Oznaka | <i>m</i> (mg) | <i>c</i> (ng/mL) | ppm | Srednja vrijednost | SD | RSD (%) |
|--------|---------------|------------------|-----|--------------------|----|---------|
| PRE-1 | 100,38 | 19,900 | 10 | 10 | 0 | 0 |
| PRE-2 | 100,44 | 19,833 | 10 | | | |
| PRE-3 | 99,93 | 19,896 | 10 | | | |
| PRE-4 | 99,54 | 20,123 | 10 | | | |
| PRE-5 | 99,84 | 19,951 | 10 | | | |
| PRE-6 | 100,53 | 19,948 | 10 | | | |

Tablica 79: Rezultati mjerenja preciznosti za platinu

PONOVLJIVOST

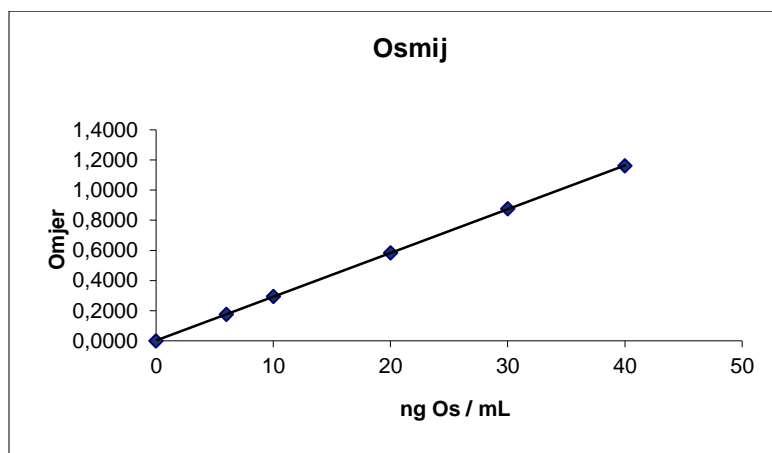
| | |
|--------------------|----------|
| Srednja vrijednost | 10 |
| SD | 0 |
| RSD(%) | 1 |

Tablica 80: Rezultati mjerenja ponovljivosti za platinu

Koeficijent korelacije za platinu iznosi 0,9999 što zadovoljava kriterij prihvatljivosti za linearnost. Analitički prinos i RSD vrijednost zadovoljavaju kriterije za granica određivanja i točnost. RSD vrijednost zadovoljava kriterij prihvatljivosti za preciznost i ponovljivost. Svi kriteriji su zadovoljeni stoga je metoda izvrsna za određivanje platine.

4.2.17 OSMIJ

LINEARNOST



| <i>c</i> (ng/mL) | Omjer |
|---------------------|--------|
| 0 | 0,0037 |
| 6 | 0,1481 |
| 10 | 0,2498 |
| 20 | 0,4832 |
| 30 | 0,7579 |
| 40 | 1,0133 |

| | |
|------------------------|--------|
| Nagib (a) | 0,0250 |
| Odsjek (b) | 0,0037 |
| Koeficijent korelacije | 0,9997 |

Slika 21: Rezultati mjerenja linearnosti za osmij

TOČNOST

| Level | Oznaka | <i>m</i> (mg) | Dodani ppm | <i>c</i> (ng/mL) | Izračunati ppm | Srednji ppm | Analitički prinos (%) | RSD (%) |
|---------|--------|---------------|---------------|---------------------|-------------------|----------------|--------------------------|------------|
| Level 0 | ACC-1 | 99,73 | 0 | 0,000 | 0 | 0 | - | - |
| | ACC-2 | 100,74 | | 0,000 | 0 | | | |
| | ACC-3 | 100,55 | | 0,000 | 0 | | | |
| Level 1 | ACC-4 | 99,04 | 5 | 9,086 | 5 | 5 | 92 | 2 |
| | ACC-5 | 99,12 | | 9,403 | 5 | | | |
| | ACC-6 | 99,83 | | 9,156 | 5 | | | |
| Level 2 | ACC-7 | 100,99 | 10 | 19,420 | 10 | 10 | 99 | 1 |
| | ACC-8 | 99,41 | | 19,967 | 10 | | | |
| | ACC-9 | 101,79 | | 19,804 | 10 | | | |
| Level 3 | ACC-10 | 98,99 | 15 | 28,616 | 14 | 14 | 94 | 1 |
| | ACC-11 | 100,25 | | 28,190 | 14 | | | |
| | ACC-12 | 99,42 | | 27,946 | 14 | | | |

Tablica 81: Rezultati mjerenja točnosti za osmij

GRANICA ODREĐIVANJA

| Oznaka | <i>m</i> (mg) | Dodani ppm | <i>C</i> (ng/mL) | Izračunati ppm | Srednji ppm | Analitički prinos (%) | Prosječna vrijednost | SD | RSD (%) |
|--------|---------------|---------------|---------------------|-------------------|----------------|--------------------------|-------------------------|-----|------------|
| ACC-1 | 99,73 | 0,00 | 0,000 | 0,00 | 0,00 | - | 102 | 0,1 | 2 |
| ACC-2 | 100,74 | | 0,000 | 0,00 | | - | | | |
| ACC-3 | 100,55 | | 0,000 | 0,00 | | - | | | |
| QL-1 | 100,53 | 3 | 6,149 | 3 | 3 | 102 | | | |
| QL-2 | 99,93 | | 6,179 | 3 | | 103 | | | |
| QL-3 | 98,83 | | 6,226 | 3 | | 104 | | | |
| QL-4 | 102,70 | | 6,181 | 3 | | 103 | | | |
| QL-5 | 99,84 | | 6,076 | 3 | | 101 | | | |
| QL-6 | 100,27 | | 5,948 | 3 | | 99 | | | |

Tablica 82: Rezultati mjerenja granice određivanja za osmij

PRECIZNOST

| Oznaka | <i>m</i> (mg) | <i>c</i> (ng/mL) | ppm | Srednja vrijednost | SD | RSD (%) |
|--------|---------------|---------------------|-----|-----------------------|----|---------|
| PRE-1 | 100,38 | 19,304 | 10 | 10 | 0 | 2 |
| PRE-2 | 100,44 | 19,551 | 10 | | | |
| PRE-3 | 99,93 | 19,673 | 10 | | | |
| PRE-4 | 99,54 | 19,743 | 10 | | | |
| PRE-5 | 99,84 | 19,268 | 10 | | | |
| PRE-6 | 100,53 | 18,956 | 9 | | | |

Tablica 83: Rezultati mjerenja preciznosti za osmij

PONOVLJIVOST

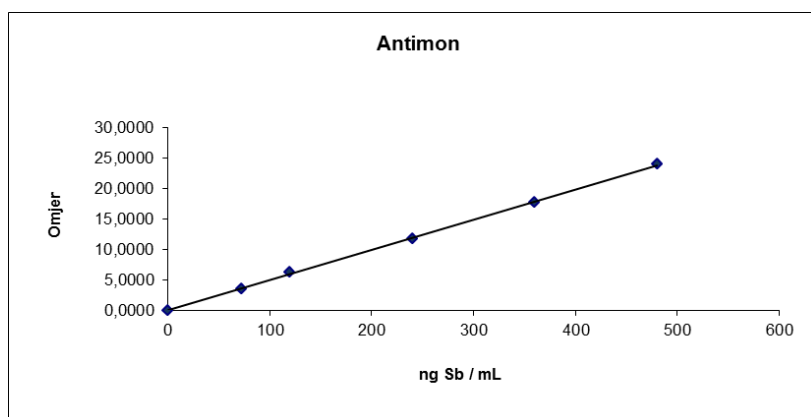
| | |
|--------------------|----------|
| Srednja vrijednost | 10 |
| SD | 0 |
| RSD(%) | 2 |

Tablica 84: Rezultati mjerenja ponovljivosti za osmij

Koeficijent korelacije za osmij iznosi 0,9997 što zadovoljava kriterij prihvatljivosti za linearnost. Analitički prinos i RSD vrijednost zadovoljavaju kriterije za granica određivanja i točnost. RSD vrijednost zadovoljava kriterij prihvatljivosti za preciznost i ponovljivost. Svi kriteriji su zadovoljeni stoga je metoda izvrsna za određivanje osmija.

4.2.18 ANTIMON

LINEARNOST



| <i>c</i> (ng/mL) | Omjer |
|---------------------|---------|
| 0 | 0,0137 |
| 72 | 3,5977 |
| 120 | 6,2370 |
| 240 | 11,6818 |
| 360 | 17,7081 |
| 480 | 23,9760 |

| | |
|------------------------|--------|
| Nagib (a) | 0,0496 |
| Odsjek (b) | 0,0137 |
| Koeficijent korelacije | 0,9998 |

Slika 22: Rezultati mjerenja linearnosti za antimon

TOČNOST

| Level | Oznaka | <i>m</i> (mg) | Dodani ppm | <i>c</i> (ng/mL) | Izračunati ppm | Srednji ppm | Analitički prinos (%) | RSD (%) |
|---------|--------|---------------|---------------|---------------------|-------------------|----------------|--------------------------|------------|
| Level 0 | ACC-1 | 99,73 | 0 | 0,000 | 0 | 0 | - | - |
| | ACC-2 | 100,74 | | 0,000 | 0 | | | |
| | ACC-3 | 100,55 | | 0,000 | 0 | | | |
| Level 1 | ACC-4 | 99,04 | 60 | 122,464 | 61 | 62 | 103 | 1 |
| | ACC-5 | 99,12 | | 122,825 | 61 | | | |
| | ACC-6 | 99,83 | | 124,615 | 62 | | | |
| Level 2 | ACC-7 | 100,99 | 120 | 240,525 | 120 | 123 | 102 | 2 |
| | ACC-8 | 99,41 | | 249,490 | 125 | | | |
| | ACC-9 | 101,79 | | 247,345 | 124 | | | |
| Level 3 | ACC-10 | 98,99 | 180 | 365,679 | 183 | 183 | 102 | 1 |
| | ACC-11 | 100,25 | | 363,536 | 182 | | | |
| | ACC-12 | 99,42 | | 368,153 | 184 | | | |

Tablica 85: Rezultati mjerenja točnosti za antimon

GRANICA ODREĐIVANJA

| Oznaka | <i>m</i> (mg) | Dodani ppm | <i>C</i> (ng/mL) | Izračunati ppm | Srednji ppm | Analitički prinos (%) | Prosječna vrijednost | SD | RSD (%) |
|--------|---------------|---------------|---------------------|-------------------|----------------|--------------------------|-------------------------|-----|------------|
| ACC-1 | 99,73 | 0,00 | 0,000 | 0,00 | 0,00 | - | 112 | 1,0 | 3 |
| ACC-2 | 100,74 | | 0,000 | 0,00 | | - | | | |
| ACC-3 | 100,55 | | 0,000 | 0,00 | | - | | | |
| QL-1 | 100,53 | 36 | 81,236 | 41 | 40 | 113 | | | |
| QL-2 | 99,93 | | 82,046 | 41 | | 114 | | | |
| QL-3 | 98,83 | | 81,952 | 41 | | 114 | | | |
| QL-4 | 102,70 | | 82,171 | 41 | | 114 | | | |
| QL-5 | 99,84 | | 77,841 | 39 | | 108 | | | |
| QL-6 | 100,27 | | 78,133 | 39 | | 109 | | | |

Tablica 86: Rezultati mjerenja granice određivanja za antimon

PRECIZNOST

| Oznaka | <i>m</i> (mg) | <i>c</i> (ng/mL) | ppm | Srednja vrijednost | SD | RSD (%) |
|--------|---------------|------------------|-----|--------------------|----|---------|
| PRE-1 | 100,38 | 242,606 | 121 | 123 | 1 | 1 |
| PRE-2 | 100,44 | 243,135 | 122 | | | |
| PRE-3 | 99,93 | 245,060 | 123 | | | |
| PRE-4 | 99,54 | 246,885 | 123 | | | |
| PRE-5 | 99,84 | 247,424 | 124 | | | |
| PRE-6 | 100,53 | 246,210 | 123 | | | |

Tablica 87: Rezultati mjerenja preciznosti za antimon

PONOVLJIVOST

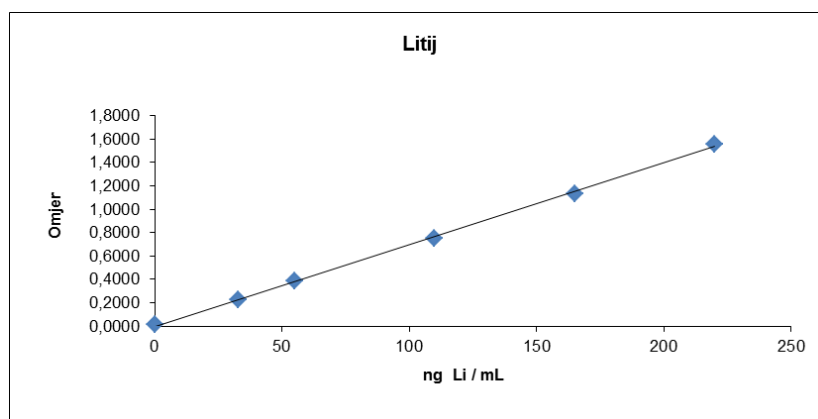
| | |
|--------------------|----------|
| Srednja vrijednost | 123 |
| SD | 1 |
| RSD(%) | 1 |

Tablica 88: Rezultati mjerenja ponovljivosti za antimon

Koeficijent korelacije za antimon iznosi 0,9998 što zadovoljava kriterij prihvatljivosti za linearnost. Analitički prinos i RSD vrijednost zadovoljavaju kriterije za granica određivanja i točnost. RSD vrijednost zadovoljava kriterij prihvatljivosti za preciznost i ponovljivost. Svi kriteriji su zadovoljeni stoga je metoda izvrsna za određivanje antimona.

4.2.19 LITIJ

LINEARNOST



| <i>c</i> (ng/mL) | Omjer |
|---------------------|--------|
| 0,0 | 0,0135 |
| 33,0 | 0,2278 |
| 55,0 | 0,3840 |
| 110,0 | 0,7479 |
| 165,0 | 1,1341 |
| 220,0 | 1,5567 |

| | |
|------------------------|--------|
| Nagib (a) | 0,0069 |
| Odsjek (b) | 0,0135 |
| Koeficijent korelacije | 0,9996 |

Slika 23: Rezultati mjerenja linearnosti za litij

TOČNOST

| Level | Oznaka | <i>m</i> (mg) | Dodani ppm | <i>c</i> (ng/mL) | Izračunati ppm | Srednji ppm | Analitički prinos (%) | RSD (%) |
|---------|--------|---------------|---------------|---------------------|-------------------|----------------|--------------------------|------------|
| Level 0 | ACC-1 | 99,73 | 0,0 | 0,000 | 0,0 | 0,0 | - | - |
| | ACC-2 | 100,74 | | 0,000 | 0,0 | | | |
| | ACC-3 | 100,55 | | 0,000 | 0,0 | | | |
| Level 1 | ACC-4 | 99,04 | 27,5 | 53,560 | 26,8 | 26,5 | 96 | 1 |
| | ACC-5 | 99,12 | | 53,080 | 26,5 | | | |
| | ACC-6 | 99,83 | | 52,185 | 26,1 | | | |
| Level 2 | ACC-7 | 100,99 | 55,0 | 106,664 | 53,3 | 54,4 | 99 | 2 |
| | ACC-8 | 99,41 | | 109,750 | 54,9 | | | |
| | ACC-9 | 101,79 | | 110,088 | 55,0 | | | |
| Level 3 | ACC-10 | 98,99 | 82,5 | 167,660 | 83,8 | 86,1 | 104 | 3 |
| | ACC-11 | 100,25 | | 171,169 | 85,6 | | | |
| | ACC-12 | 99,42 | | 177,809 | 88,9 | | | |

Tablica 89: Rezultati mjerenja točnosti za litij

GRANICA ODREĐIVANJA

| Oznaka | <i>m</i> (mg) | Dodani ppm | <i>C</i> (ng/mL) | Izračunati ppm | Srednji ppm | Analitički prinos (%) | | | |
|--------|---------------|---------------|---------------------|-------------------|----------------|--------------------------|-------------------------|-----|------------|
| ACC-1 | 99,73 | 0,00 | 0,000 | 0,00 | 0,00 | - | | | |
| ACC-2 | 100,74 | | 0,000 | 0,00 | | - | | | |
| ACC-3 | 100,55 | | 0,000 | 0,00 | | - | | | |
| | | | | | | | Prosječna vrijednost | SD | RSD (%) |
| QL-1 | 100,53 | 16,5 | 35,920 | 18,0 | 17,5 | 109 | 106 | 0,6 | 3 |
| QL-2 | 99,93 | | 35,814 | 17,9 | | 109 | | | |
| QL-3 | 98,83 | | 36,314 | 18,2 | | 110 | | | |
| QL-4 | 102,70 | | 34,918 | 17,5 | | 106 | | | |
| QL-5 | 99,84 | | 33,718 | 16,9 | | 102 | | | |
| QL-6 | 100,27 | | 33,610 | 16,8 | | 102 | | | |

Tablica 90: Rezultati mjerenja granice određivanja za litij

PRECIZNOST

| Oznaka | <i>m</i> (mg) | <i>c</i> (ng/mL) | ppm | Srednja vrijednost | SD | RSD (%) |
|--------|---------------|---------------------|------|-----------------------|----|---------|
| PRE-1 | 100,38 | 108,055 | 54,0 | 55,0 | 1 | 2 |
| PRE-2 | 100,44 | 106,437 | 53,2 | | | |
| PRE-3 | 99,93 | 111,877 | 55,9 | | | |
| PRE-4 | 99,54 | 109,989 | 55,0 | | | |
| PRE-5 | 99,84 | 111,502 | 55,8 | | | |
| PRE-6 | 100,53 | 112,335 | 56,2 | | | |

Tablica 91: Rezultati mjerenja preciznosti za litij

PONOVLJIVOST

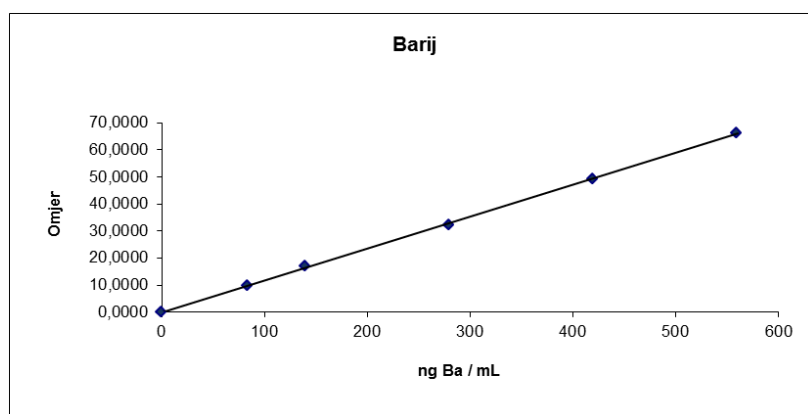
| | |
|--------------------|----------|
| Srednja vrijednost | 54,7 |
| SD | 1 |
| RSD(%) | 2 |

Tablica 92: Rezultati mjerenja ponovljivosti za litij

Koeficijent korelacije za litij iznosi 0,9996 što zadovoljava kriterij prihvatljivosti za linearnost. Analitički prinos i RSD vrijednost zadovoljavaju kriterije za granica određivanja i točnost. RSD vrijednost zadovoljava kriterij prihvatljivosti za preciznost i ponovljivost. Svi kriteriji su zadovoljeni stoga je metoda izvrsna za određivanje litija.

4.2.20 BARIJ

LINEARNOST



| <i>c</i> (ng/mL) | Omjer |
|---------------------|---------|
| 0 | 0,0023 |
| 84 | 9,9244 |
| 140 | 16,9570 |
| 280 | 32,2665 |
| 420 | 49,2527 |
| 560 | 66,4489 |

| | |
|------------------------|--------|
| Nagib (a) | 0,1179 |
| Odsjek (b) | 0,0023 |
| Koeficijent korelacije | 0,9998 |

Slika 24: Rezultati mjerenja linearnosti za barij

TOČNOST

| Level | Oznaka | <i>m</i> (mg) | Dodani ppm | <i>c</i> (ng/mL) | Izračunati ppm | Srednji ppm | Analitički prinos (%) | RSD (%) |
|---------|--------|---------------|---------------|---------------------|-------------------|----------------|--------------------------|------------|
| Level 0 | ACC-1 | 99,73 | 0 | 0,017 | 0 | 0 | - | - |
| | ACC-2 | 100,74 | | 0,000 | 0 | | | |
| | ACC-3 | 100,55 | | 0,121 | 0 | | | |
| Level 1 | ACC-4 | 99,04 | 70 | 137,397 | 69 | 69 | 99 | 1 |
| | ACC-5 | 99,12 | | 139,623 | 70 | | | |
| | ACC-6 | 99,83 | | 138,770 | 69 | | | |
| Level 2 | ACC-7 | 100,99 | 140 | 277,262 | 139 | 141 | 101 | 1 |
| | ACC-8 | 99,41 | | 285,156 | 143 | | | |
| | ACC-9 | 101,79 | | 283,678 | 142 | | | |
| Level 3 | ACC-10 | 98,99 | 210 | 419,876 | 210 | 209 | 100 | 1 |
| | ACC-11 | 100,25 | | 411,764 | 206 | | | |
| | ACC-12 | 99,42 | | 422,943 | 211 | | | |

Tablica 93: Rezultati mjerenja točnosti za barij

GRANICA ODREĐIVANJA

| Oznaka | <i>m</i> (mg) | Dodani ppm | <i>C</i> (ng/mL) | Izračunati ppm | Srednji ppm | Analitički prinos (%) | | | |
|--------|---------------|---------------|---------------------|-------------------|----------------|--------------------------|-------------------------|-----|------------|
| ACC-1 | 99,73 | 0,00 | 0,017 | 0,00 | 0,00 | - | | | |
| ACC-2 | 100,74 | | 0,000 | 0,00 | | - | | | |
| ACC-3 | 100,55 | | 0,121 | 0,00 | | - | | | |
| | | | | | | | Prosječna vrijednost | SD | RSD (%) |
| QL-1 | 100,53 | 42 | 89,252 | 45 | 44 | 106 | 105 | 0,8 | 2 |
| QL-2 | 99,93 | | 89,165 | 45 | | 106 | | | |
| QL-3 | 98,83 | | 88,834 | 44 | | 106 | | | |
| QL-4 | 102,70 | | 90,550 | 45 | | 108 | | | |
| QL-5 | 99,84 | | 86,376 | 43 | | 103 | | | |
| QL-6 | 100,27 | | 86,461 | 43 | | 103 | | | |

Tablica 94: Rezultati mjerenja granice određivanja za barij

PRECIZNOST

| Oznaka | <i>m</i> (mg) | <i>c</i> (ng/mL) | ppm | Srednja vrijednost | SD | RSD (%) |
|--------|---------------|---------------------|-----|-----------------------|----|---------|
| PRE-1 | 100,38 | 280,119 | 140 | 141 | 1 | 1 |
| PRE-2 | 100,44 | 281,200 | 141 | | | |
| PRE-3 | 99,93 | 281,657 | 141 | | | |
| PRE-4 | 99,54 | 284,544 | 142 | | | |
| PRE-5 | 99,84 | 284,481 | 142 | | | |
| PRE-6 | 100,53 | 279,617 | 140 | | | |

Tablica 95: Rezultati mjerenja preciznosti za barij

PONOVLJIVOST

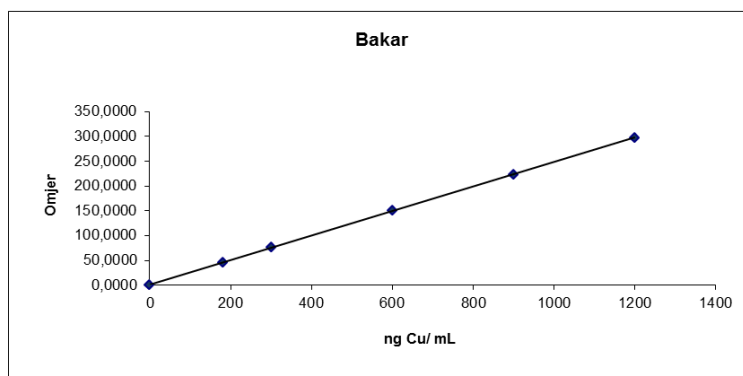
| | |
|--------------------|----------|
| Srednja vrijednost | 141 |
| SD | 1 |
| RSD(%) | 1 |

Tablica 96: Rezultati mjerenja ponovljivosti za barij

Koeficijent korelacije za barij iznosi 0,9998 što zadovoljava kriterij prihvatljivosti za linearnost. Analitički prinos i RSD vrijednost zadovoljavaju kriterije za granica određivanja i točnost. RSD vrijednost zadovoljava kriterij prihvatljivosti za preciznost i ponovljivost. Svi kriteriji su zadovoljeni stoga je metoda izvrsna za određivanje barija.

4.2.21 BAKAR

LINEARNOST



| <i>c</i> (ng/mL) | Omjer |
|---------------------|----------|
| 0 | 0,0616 |
| 180 | 45,9559 |
| 300 | 76,5992 |
| 600 | 150,3832 |
| 900 | 223,1751 |
| 1200 | 297,2489 |

| | |
|------------------------|--------|
| Nagib (a) | 0,2484 |
| Odsjek (b) | 0,0616 |
| Koeficijent korelacije | 1,0000 |

Slika 25: Rezultati mjerenja linearnosti za bakar

TOČNOST

| Level | Oznaka | <i>m</i> (mg) | Dodani ppm | <i>c</i> (ng/mL) | Izračunati ppm | Srednji ppm | Analitički prinos (%) | RSD (%) |
|---------|--------|---------------|---------------|---------------------|-------------------|----------------|--------------------------|------------|
| Level 0 | ACC-1 | 99,73 | 0 | 0,000 | 0 | 0 | - | - |
| | ACC-2 | 100,74 | | 0,000 | 0 | | | |
| | ACC-3 | 100,55 | | 0,125 | 0 | | | |
| Level 1 | ACC-4 | 99,04 | 150 | 300,210 | 150 | 150 | 100 | 1 |
| | ACC-5 | 99,12 | | 297,545 | 149 | | | |
| | ACC-6 | 99,83 | | 300,566 | 150 | | | |
| Level 2 | ACC-7 | 100,99 | 300 | 604,333 | 302 | 301 | 100 | 0 |
| | ACC-8 | 99,41 | | 598,547 | 299 | | | |
| | ACC-9 | 101,79 | | 600,488 | 300 | | | |
| Level 3 | ACC-10 | 98,99 | 450 | 884,084 | 442 | 447 | 99 | 1 |
| | ACC-11 | 100,25 | | 901,094 | 451 | | | |
| | ACC-12 | 99,42 | | 899,060 | 450 | | | |

Tablica 97: Rezultati mjerenja točnosti za bakar

GRANICA ODREĐIVANJA

| Oznaka | <i>m</i> (mg) | Dodani ppm | <i>C</i> (ng/mL) | Izračunati ppm | Srednji ppm | Analitički prinos (%) | Prosječna vrijednost | SD | RSD (%) |
|--------|---------------|---------------|---------------------|-------------------|----------------|--------------------------|-------------------------|-----|------------|
| ACC-1 | 99,73 | 0,00 | 0,000 | 0,00 | 0,00 | - | 108 | 1,8 | 2 |
| ACC-2 | 100,74 | | 0,000 | 0,00 | | - | | | |
| ACC-3 | 100,55 | | 0,125 | 0,00 | | - | | | |
| QL-1 | 100,53 | 90 | 194,65 2 | 97 | 97 | 108 | | | |
| QL-2 | 99,93 | | 195,068 | 98 | | 108 | | | |
| QL-3 | 98,83 | | 199,217 | 100 | | 111 | | | |
| QL-4 | 102,70 | | 193,299 | 97 | | 107 | | | |
| QL-5 | 99,84 | | 190,067 | 95 | | 106 | | | |
| QL-6 | 100,27 | | 189,511 | 95 | | 105 | | | |

Tablica 98: Rezultati mjerenja granice određivanja za bakar

PRECIZNOST

| Oznaka | <i>m</i> (mg) | <i>c</i> (ng/mL) | ppm | Srednja vrijednost | SD | RSD (%) |
|--------|---------------|---------------------|-----|-----------------------|----|---------|
| PRE-1 | 100,38 | 604,547 | 302 | 303 | 3 | 1 |
| PRE-2 | 100,44 | 607,336 | 304 | | | |
| PRE-3 | 99,93 | 613,826 | 307 | | | |
| PRE-4 | 99,54 | 611,254 | 306 | | | |
| PRE-5 | 99,84 | 602,447 | 301 | | | |
| PRE-6 | 100,53 | 599,660 | 300 | | | |

Tablica 99: Rezultati mjerenja preciznosti za bakar

PONOVLJIVOST

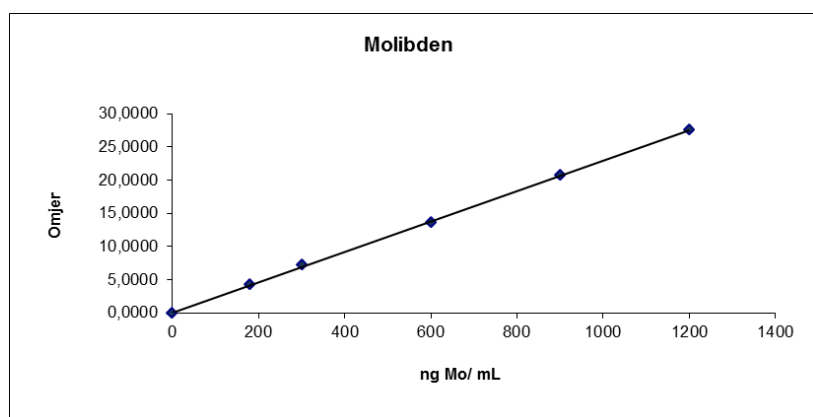
| | |
|--------------------|----------|
| Srednja vrijednost | 302 |
| SD | 3 |
| RSD(%) | 1 |

Tablica 100: Rezultati mjerenja ponovljivosti za bakar

Koeficijent korelacije za bakar iznosi 1,0000 što zadovoljava kriterij prihvatljivosti za linearnost. Analitički prinos i RSD vrijednost zadovoljavaju kriterije za granica određivanja i točnost. RSD vrijednost zadovoljava kriterij prihvatljivosti za preciznost i ponovljivost. Svi kriteriji su zadovoljeni stoga je metoda izvrsna za određivanje bakra.

4.2.22 MOLIBDEN

LINEARNOST



| <i>c</i> (ng/mL) | Omjer |
|---------------------|---------|
| 0 | 0,0042 |
| 180 | 4,2243 |
| 300 | 7,1881 |
| 600 | 13,6095 |
| 900 | 20,6821 |
| 1200 | 27,5265 |

| | |
|------------------------|--------|
| Nagib (a) | 0,0230 |
| Odsjek (b) | 0,0042 |
| Koeficijent korelacije | 0,9999 |

Slika 26: Rezultati mjerenja linearnosti za molibden

TOČNOST

| Level | Oznaka | <i>m</i> (mg) | Dodani ppm | <i>c</i> (ng/mL) | Izračunati ppm | Srednji ppm | Analitički prinos (%) | RSD (%) |
|---------|--------|---------------|---------------|---------------------|-------------------|----------------|--------------------------|------------|
| Level 0 | ACC-1 | 99,73 | 0 | 0,000 | 0 | 0 | - | - |
| | ACC-2 | 100,74 | | 0,000 | 0 | | | |
| | ACC-3 | 100,55 | | 0,000 | 0 | | | |
| Level 1 | ACC-4 | 99,04 | 150 | 300,661 | 150 | 151 | 101 | 1 |
| | ACC-5 | 99,12 | | 301,837 | 151 | | | |
| | ACC-6 | 99,83 | | 305,375 | 153 | | | |
| Level 2 | ACC-7 | 100,99 | 300 | 604,459 | 302 | 304 | 101 | 1 |
| | ACC-8 | 99,41 | | 611,039 | 306 | | | |
| | ACC-9 | 101,79 | | 609,605 | 305 | | | |
| Level 3 | ACC-10 | 98,99 | 450 | 897,722 | 449 | 450 | 100 | 1 |
| | ACC-11 | 100,25 | | 896,652 | 448 | | | |
| | ACC-12 | 99,42 | | 907,174 | 454 | | | |

Tablica 101: Rezultati mjerenja točnosti za molibden

GRANICA ODREĐIVANJA

| Oznaka | <i>m</i> (mg) | Dodani ppm | <i>C</i> (ng/mL) | Izračunati ppm | Srednji ppm | Analitički prinos (%) | | | |
|--------|---------------|---------------|---------------------|-------------------|----------------|--------------------------|-------------------------|-----|------------|
| ACC-1 | 99,73 | 0,00 | 0,000 | 0,00 | 0,00 | - | | | |
| ACC-2 | 100,74 | | 0,000 | 0,00 | | - | | | |
| ACC-3 | 100,55 | | 0,000 | 0,00 | | - | | | |
| | | | | | | | Prosječna vrijednost | SD | RSD (%) |
| QL-1 | 100,53 | 90 | 192,01 | 96 | 95 | 107 | 105 | 1,7 | 2 |
| QL-2 | 99,93 | | 189,705 | 95 | | 105 | | | |
| QL-3 | 98,83 | | 192,127 | 96 | | 107 | | | |
| QL-4 | 102,70 | | 191,300 | 96 | | 106 | | | |
| QL-5 | 99,84 | | 186,532 | 93 | | 104 | | | |
| QL-6 | 100,27 | | 183,880 | 92 | | 102 | | | |

Tablica 102: Rezultati mjerenja granice određivanja za molibden

PRECIZNOST

| Oznaka | <i>m</i> (mg) | <i>c</i> (ng/mL) | ppm | Srednja vrijednost | SD | RSD (%) |
|--------|---------------|------------------|-----|--------------------|----|---------|
| PRE-1 | 100,38 | 603,220 | 302 | 303 | 1 | 0 |
| PRE-2 | 100,44 | 608,921 | 304 | | | |
| PRE-3 | 99,93 | 608,824 | 304 | | | |
| PRE-4 | 99,54 | 609,607 | 305 | | | |
| PRE-5 | 99,84 | 605,752 | 303 | | | |
| PRE-6 | 100,53 | 605,116 | 303 | | | |

Tablica 103: Rezultati mjerenja preciznosti za molibden

PONOVLJIVOST

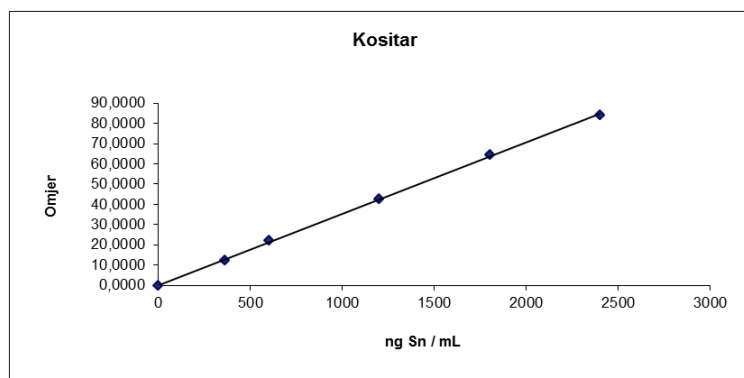
| | |
|--------------------|----------|
| Srednja vrijednost | 304 |
| SD | 1 |
| RSD(%) | 0 |

Tablica 104: Rezultati mjerenja ponovljivosti za molibden

Koeficijent korelacije za molibden iznosi 0,9999 što zadovoljava kriterij prihvatljivosti za linearnost. Analitički prinos i RSD vrijednost zadovoljavaju kriterije za granica određivanja i točnost. RSD vrijednost zadovoljava kriterij prihvatljivosti za preciznost i ponovljivost. Svi kriteriji su zadovoljeni stoga je metoda izvrsna za određivanje molibdena.

4.2.23 KOSITAR

LINEARNOST



| <i>c</i> (ng/mL) | Omjer |
|---------------------|---------|
| 0 | 0,0218 |
| 360 | 12,5279 |
| 600 | 21,9694 |
| 1200 | 42,4447 |
| 1800 | 64,2903 |
| 2400 | 83,9038 |

| | |
|------------------------|--------|
| Nagib (a) | 0,0353 |
| Odsjek (b) | 0,0218 |
| Koeficijent korelacije | 0,9998 |

Slika 27: Rezultati mjerenja linearnosti za kositar

TOČNOST

| Level | Oznaka | <i>m</i> (mg) | Dodani ppm | <i>c</i> (ng/mL) | Izračunati ppm | Srednji ppm | Analitički prinos (%) | RSD (%) |
|---------|--------|---------------|---------------|---------------------|-------------------|----------------|--------------------------|------------|
| Level 0 | ACC-1 | 99,73 | 0 | 0,000 | 0 | 0 | - | - |
| | ACC-2 | 100,74 | | 0,000 | 0 | | | |
| | ACC-3 | 100,55 | | 0,000 | 0 | | | |
| Level 1 | ACC-4 | 99,04 | 300 | 599,522 | 300 | 300 | 100 | 0 |
| | ACC-5 | 99,12 | | 597,764 | 299 | | | |
| | ACC-6 | 99,83 | | 603,288 | 302 | | | |
| Level 2 | ACC-7 | 100,99 | 600 | 1184,410 | 592 | 604 | 101 | 2 |
| | ACC-8 | 99,41 | | 1224,001 | 612 | | | |
| | ACC-9 | 101,79 | | 1216,385 | 608 | | | |
| Level 3 | ACC-10 | 98,99 | 900 | 1802,997 | 901 | 898 | 100 | 0 |
| | ACC-11 | 100,25 | | 1790,971 | 895 | | | |
| | ACC-12 | 99,42 | | 1795,506 | 898 | | | |

Tablica 105: Rezultati mjerenja točnosti za kositar

GRANICA ODREĐIVANJA

| Oznaka | <i>m</i> (mg) | Dodani ppm | <i>C</i> (ng/mL) | Izračunati ppm | Srednji ppm | Analitički prinos (%) | Prosječna vrijednost | SD | RSD (%) |
|--------|---------------|---------------|---------------------|-------------------|----------------|--------------------------|-------------------------|-----|------------|
| ACC-1 | 99,73 | 0,00 | 0,000 | 0,00 | 0,00 | - | 105 | 3,6 | 2 |
| ACC-2 | 100,74 | | 0,000 | 0,00 | | - | | | |
| ACC-3 | 100,55 | | 0,000 | 0,00 | | - | | | |
| QL-1 | 100,53 | 180 | 382,46 4 | 191 | 190 | 106 | | | |
| QL-2 | 99,93 | | 381,134 | 191 | | 106 | | | |
| QL-3 | 98,83 | | 387,685 | 194 | | 108 | | | |
| QL-4 | 102,70 | | 383,671 | 192 | | 107 | | | |
| QL-5 | 99,84 | | 368,716 | 184 | | 102 | | | |
| QL-6 | 100,27 | | 372,916 | 186 | | 104 | | | |

Tablica 106: Rezultati mjerenja granice određivanja za kositar

PRECIZNOST

| Oznaka | <i>m</i> (mg) | <i>c</i> (ng/mL) | ppm | Srednja vrijednost | SD | RSD (%) |
|--------|---------------|---------------------|-----|-----------------------|----|---------|
| PRE-1 | 100,38 | 1211,106 | 606 | 604 | 4 | 1 |
| PRE-2 | 100,44 | 1209,886 | 605 | | | |
| PRE-3 | 99,93 | 1193,995 | 597 | | | |
| PRE-4 | 99,54 | 1216,595 | 608 | | | |
| PRE-5 | 99,84 | 1213,545 | 607 | | | |
| PRE-6 | 100,53 | 1202,541 | 601 | | | |

Tablica 107: Rezultati mjerenja preciznosti za kositar

PONOVLJIVOST

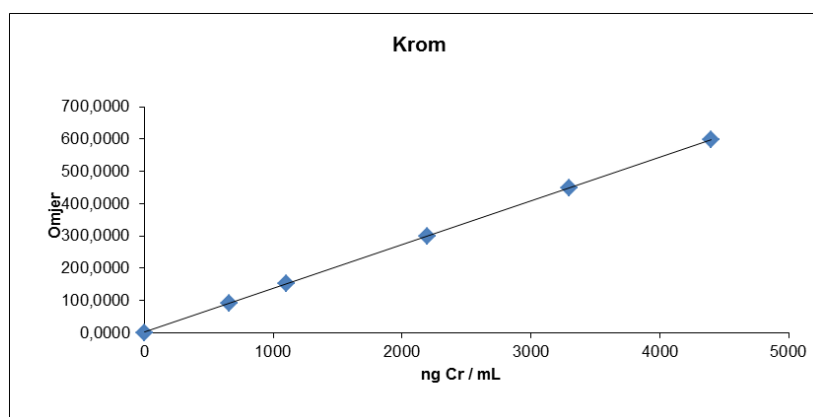
| | |
|--------------------|----------|
| Srednja vrijednost | 604 |
| SD | 6 |
| RSD(%) | 1 |

Tablica 108: Rezultati mjerenja ponovljivosti za kositar

Koeficijent korelacije za kositar iznosi 0,9998 što zadovoljava kriterij prihvatljivosti za linearnost. Analitički prinos i RSD vrijednost zadovoljavaju kriterije za granica određivanja i točnost. RSD vrijednost zadovoljava kriterij prihvatljivosti za preciznost i ponovljivost. Svi kriteriji su zadovoljeni stoga je metoda izvrsna za određivanje kositra.

4.2.24 KROM

LINEARNOST



| <i>c</i> (ng/mL) | Omjer |
|---------------------|----------|
| 0 | 0,0217 |
| 660 | 92,2529 |
| 1100 | 153,2511 |
| 2200 | 300,6059 |
| 3300 | 448,0696 |
| 4400 | 599,5209 |

| | |
|------------------------|--------|
| Nagib (a) | 0,1363 |
| Odsjek (b) | 0,0217 |
| Koeficijent korelacije | 1,0000 |

Slika 28: Rezultati mjerenja linearnosti za krom

TOČNOST

| Level | Oznaka | <i>m</i> (mg) | Dodani ppm | <i>c</i> (ng/mL) | Izračunati ppm | Srednji ppm | Analitički prinos (%) | RSD (%) |
|---------|--------|---------------|---------------|---------------------|-------------------|----------------|--------------------------|------------|
| Level 0 | ACC-1 | 99,73 | 0 | 0,000 | 0 | 0 | - | - |
| | ACC-2 | 100,74 | | 0,000 | 0 | | | |
| | ACC-3 | 100,55 | | 0,613 | 0 | | | |
| Level 1 | ACC-4 | 99,04 | 550 | 1107,330 | 554 | 549 | 100 | 1 |
| | ACC-5 | 99,12 | | 1089,088 | 545 | | | |
| | ACC-6 | 99,83 | | 1094,827 | 547 | | | |
| Level 2 | ACC-7 | 100,99 | 1100 | 2188,363 | 1094 | 1098 | 100 | 0 |
| | ACC-8 | 99,41 | | 2198,033 | 1099 | | | |
| | ACC-9 | 101,79 | | 2200,592 | 1100 | | | |
| Level 3 | ACC-10 | 98,99 | 1650 | 3239,301 | 1620 | 1631 | 99 | 1 |
| | ACC-11 | 100,25 | | 3280,364 | 1640 | | | |
| | ACC-12 | 99,42 | | 3266,867 | 1633 | | | |

Tablica 109: Rezultati mjerenja točnosti za krom

GRANICA ODREĐIVANJA

| Oznaka | <i>m</i> (mg) | Dodani ppm | <i>C</i> (ng/mL) | Izračunati ppm | Srednji ppm | Analitički prinos (%) | | | |
|--------|---------------|---------------|---------------------|-------------------|----------------|--------------------------|-------------------------|-----|------------|
| ACC-1 | 99,73 | 0,00 | 0,000 | 0,00 | 0,00 | - | | | |
| ACC-2 | 100,74 | | 0,000 | 0,00 | | - | | | |
| ACC-3 | 100,55 | | 0,613 | 0,00 | | - | | | |
| | | | | | | | Prosječna vrijednost | SD | RSD (%) |
| QL-1 | 100,53 | 330 | 714,868 | 357 | 353 | 108 | 107 | 6,6 | 2 |
| QL-2 | 99,93 | | 725,717 | 363 | | 110 | | | |
| QL-3 | 98,83 | | 710,087 | 355 | | 108 | | | |
| QL-4 | 102,70 | | 699,597 | 350 | | 106 | | | |
| QL-5 | 99,84 | | 694,438 | 347 | | 105 | | | |
| QL-6 | 100,27 | | 691,527 | 346 | | 105 | | | |

Tablica 110: Rezultati mjerenja granice određivanja za krom

PRECIZNOST

| Oznaka | <i>m</i> (mg) | <i>c</i> (ng/mL) | ppm | Srednja vrijednost | SD | RSD (%) |
|--------|---------------|---------------------|------|-----------------------|----|---------|
| PRE-1 | 100,38 | 2253,695 | 1127 | 1119 | 9 | 1 |
| PRE-2 | 100,44 | 2218,255 | 1109 | | | |
| PRE-3 | 99,93 | 2224,119 | 1112 | | | |
| PRE-4 | 99,54 | 2259,184 | 1130 | | | |
| PRE-5 | 99,84 | 2245,398 | 1123 | | | |
| PRE-6 | 100,53 | 2226,511 | 1113 | | | |

Tablica 111: Rezultati mjerenja preciznosti za krom

PONOVLJIVOST

| | |
|--------------------|----------|
| Srednja vrijednost | 1108 |
| SD | 13 |
| RSD(%) | 1 |

Tablica 112: Rezultati mjerenja ponovljivosti za krom

Koeficijent korelacije za krom iznosi 1,0000 što zadovoljava kriterij prihvatljivosti za linearnost. Analitički prinos i RSD vrijednost zadovoljavaju kriterije za granica određivanja i točnost. RSD vrijednost zadovoljava kriterij prihvatljivosti za preciznost i ponovljivost. Svi kriteriji su zadovoljeni stoga je metoda izvrsna za određivanje kroma.

4.3 ANALIZA ELEMENTARNIH ONEČIŠĆENJA U UZORKU ERITROMICINA

1) m(uzorka)=100,16

2) m (uzorka)=99.99

| Element | 1) c (ng/mL) | ppm | 2) c (ng/mL) | ppm | 3) srednja vrijednost ppm |
|---------|--------------|-------------|--------------|-------------|---------------------------|
| Li | 0,000 | 0,00 | 0,000 | 0,00 | 0,00 |
| V | 0,009 | 0,00 | 0,017 | 0,01 | 0,01 |
| Cr | 0,000 | 0,00 | 0,000 | 0,00 | 0,00 |
| Co | 0,000 | 0,00 | 0,000 | 0,00 | 0,00 |
| Ni | 0,000 | 0,00 | 0,000 | 0,00 | 0,00 |
| Cu | 0,000 | 0,00 | 0,000 | 0,00 | 0,00 |
| As | 0,000 | 0,00 | 0,000 | 0,00 | 0,00 |
| Se | 0,000 | 0,00 | 0,000 | 0,00 | 0,00 |
| Mo | 0,000 | 0,00 | 0,000 | 0,00 | 0,00 |
| Ru | 0,000 | 0,00 | 0,000 | 0,00 | 0,00 |
| Rh | 0,000 | 0,00 | 0,000 | 0,00 | 0,00 |
| Pd | 0,002 | 0,00 | 0,000 | 0,00 | 0,00 |
| Ag | 0,000 | 0,00 | 0,000 | 0,00 | 0,00 |
| Cd | 0,000 | 0,00 | 0,000 | 0,00 | 0,00 |
| Sn | 0,000 | 0,00 | 0,000 | 0,00 | 0,00 |
| Sb | 0,000 | 0,00 | 0,000 | 0,00 | 0,00 |
| Ba | 0,000 | 0,00 | 0,000 | 0,00 | 0,00 |
| Os | 0,000 | 0,00 | 0,000 | 0,00 | 0,00 |
| Ir | 0,000 | 0,00 | 0,000 | 0,00 | 0,00 |
| Pt | 0,000 | 0,00 | 0,000 | 0,00 | 0,00 |
| Au | 0,000 | 0,00 | 0,000 | 0,00 | 0,00 |
| Hg | 0,000 | 0,00 | 0,000 | 0,00 | 0,00 |
| Tl | 0,000 | 0,00 | 0,000 | 0,00 | 0,00 |
| Pb | 0,000 | 0,00 | 0,000 | 0,00 | 0,00 |

Tablica 113: Rezultati određivanja koncentracije elementarnih onečišćenja u eritromicinu

Prema rezultatima prikazanim u tablici 113, ispitivani eritromicin ne sadrži elementarna onečišćenja osim vanadija u koncentraciji 0,01 ppm. Koncentracija vanadija je manja od specifikacije prema ICH (3 ppm) te samog limita kvantifikacije što znači da je uzorak eritromicina u skladu s zahtjevima.

5. ZAKLJUČAK

Validirana je analitička metoda za određivanje elementarnih onečišćenja u eritromicinu korištenjem ICP-MS tehnike.

Kod validacije analitičke metode ispitivani su parametri: linearnost, točnost, granica određivanja, preciznost i ponovljivosti. Rezultati provedenih validacijskih mjerenja za sve parametre nalazili su se unutar unaprijed postavljenih granica pojedinog parametra. **Time se pokazalo da je analitička metoda stabilitetno indikativna i prikladna za određivanje onečišćenja u eritromicinu u propisanim uvjetima.**

Analitički prinos zlata kod mjerenja točnosti je na granici prihvatljivosti, a mogao bi se poboljšati dodatnom stabilizacijom zlata kada bi, nakon što se uzorak otopi, dodali još klorovodične kiseline.

Koeficijent korelacije za talij iznosi 0,995 što je nešto niža vrijednost od očekivane, ali zadovoljava kriterij prihvatljivosti za linearnost. Dodatnim provjerama uočeno je da je odaziv detektora s talijem u slijepoj probi bio povišen. Nakon snimanja otopina za utvrđivanje linearnosti uređaj je očišćen. Kontaminacija talijem se spustila pa u idućim ispitivanjima nije bilo tih problema.

Metoda je pokazala da ispitivani uzorak eritromicina ne sadrži elementarna onečišćenja, osim vanadija u koncentraciji manjoj od specifikacije prema ICH te samog limita kvantifikacije, što znači da je u skladu s propisanim zahtjevima.

6. LITERATURA

1. Agilent Technologies, Inductively Coupled Plasma Mass Spectrometry: General Article
2. Agilent Technologies, Inductively Coupled Plasma Mass Spectrometry: Basic components od ICP-MS
3. Bazilio A, Weinrich J. The Easy Guide to: Inductively Coupled Plasma – Mass Spectrometry. 2012
4. Hill JS. Inductively Coupled Plasma Spectrometry and its Application. 2. edition, 2007
5. ICH Harmonised Guideline, Guideline for Elemental Impurities, Q3D, 2014
6. ICH Harmonised Tripartite Guideline, Impurities in New Drug Products Q3B, 2006
7. ICH Harmonised Tripartite Guideline, Impurities in New Drug Substances Q3A, 2006
8. Katica Lazarić, Validacija analitičkih metoda – osnovna načela
9. Katzung GB, Masters BS, Trevor JA. Basic Clinical Pharmacology. 12th edition, 2012., str. 811-814
10. Mutschler E, Derendorf H. Drug Actions. *Medpharm*, 1995., str. 539-540
11. Nigović B, Predavanja iz kolegija Analitika lijekova, 2013./2014.
12. Pilaniya K, Chandrawanshi HK, Pilaniya U, Manchandani P, Jain P, Singh N. Recent trends in the impurity profile of pharmaceuticals. *J Adv Pharm Technol Res* 2010;1:302-10
13. Qiu F, Norwood LD. Identification of Pharmaceutical Impurities. *J Liq Chromatogr Relat Technol*, 2007, 30:5-7, 877-935
14. Rama Rao N, Mani Kiran SS, Prasanthi N. L. Pharmaceutical Impurities: An Overview, *Indian H. Pharm. Educ. Res.*, 44(3), Jul-Sep, 2010
15. Thomas R. Practical Guide to ICP-MS. 2004 (1-100. str)
16. Vogiatzis CG, Zachariadis GA. Tandem mass spectrometry in metallomics and the involving role of ICP-MS detection: A review. *Anal Chim Acta*, 2014;819:1-14
17. Wang T, Wu J, Hartman R, Jia X, Egan SR. A multi-element ICP-MS survey method as an alternative to the heavy metals limit test for pharmaceutical materials. *J Pharm Biomed Anal*, Oct. 2010
18. Waterman CK, Adami CR, Hong J. Impurities in Drug Products. U: Handbook of Isolation and Characterization of impurities in Pharmaceuticals. Satinder Ahuja, Karen Mills Alsante, Pfizer, Inc., Groton, 2003, str. 80-83

7. SAŽETAK/SUMMARY

7.1 SAŽETAK

Eritromicin je antibiotik u klasi makrolida, strukturno sličnih spojeva koje karakterizira makrociklični prsten. Izoliran je 1952. godine iz *Streptomyces erythreus*.

U ovom radu, razvijena je i validirana brza i učinkovita metoda s kojom se mogu odrediti, u jednom snimanju, sva elementarna onečišćenja propisana ICH Q3D smjernicom u eritromicinu koristeći masenu spektroskopiju s induktivno spregnutom plazmom (ICP-MS). Ispitivanje topljivosti eritromicina pokazalo je da se 100 mg eritromicina izvrsno otapa u 1 mL H₂O₂ i 1 mL HCl.

Kod validacije analitičke metode ispitivani su parametri: linearnost, točnost, granica određivanja, preciznost i ponovljivosti. Rezultati provedenih validacijskih mjerenja za sve parametre nalazili su se unutar unaprijed postavljenih granica pojedinog parametra. Time se pokazalo da je analitička metoda stabilitetno indikativna i prikladna za određivanje onečišćenja u eritromicinu u propisanim uvjetima. Metoda je pokazala da ispitivani uzorak eritromicina ne sadrži elementarna onečišćenja, osim vanadija u koncentraciji manjoj od specifikacije prema ICH te samog limita kvantifikacije, što znači da je uzorak u skladu s propisanim zahtjevima.

7.2 SUMMARY

Erythromycin is an antibiotic belonging to the macrolide class, structurally similar compounds which are characterized by a macrocyclic ring. It was isolated from *Streptomyces erythreus* in 1952.

In this paper an effective method was developed and validated with which it is possible to determine all elementary impurities proposed by ICH Q3D guideline in erythromycin using inductively coupled plasma mass spectrometry (ICP-MS) in a single screening. Solubility testing had shown that 100 mg of erythromycin is excellently soluble in 1 mL of H₂O₂ i 1 mL of HCL.

Following parameters were tested for method validation: linearity, accuracy, limit of quantification, precision and repeatability. Results of the conducted measuring for all parameters were found within boundaries set in advance for each parameter. That has shown that the analytical method is indicative of stability and appropriate for determining impurities in erythromycin within proposed conditions. Method has shown that the tested erythromycin

does not contain elementary impurities except for vanadium in a concentration smaller than ICH specification and the limit of quantification meaning that the sample is in accordance with regulatory requirements.

Temeljna dokumentacijska kartica

Sveučilište u Zagrebu
Farmaceutsko-biokemijski fakultet
Studij: Farmacija
Zavod za analitiku i kontrolu lijekova
A. Kovačića 1, 10000 Zagreb, Hrvatska

Diplomski rad

Razvoj i validacija metode za određivanje elementarnih onečišćenja u eritromicinu

Ana Brzović

SAŽETAK

Eritromicin je antibiotik u klasi makrolida, strukturno sličnih spojeva koje karakterizira makrociklični prsten. Izoliran je 1952. godine iz *Streptomyces erythreus*. U ovom radu, razvijena je i validirana brza i učinkovita metoda s kojom se mogu odrediti, u jednom snimanju, sva elementarna onečišćenja propisana ICH Q3D smjernicom u eritromicinu koristeći masenu spektroskopiju s induktivno spregnutom plazmom (ICP-MS). Ispitivanje topljivosti eritromicina pokazalo je da se 100 mg eritromicina izvrsno otapa u 1 mL H₂O₂ i 1 mL HCl. Kod validacije analitičke metode ispitivani su parametri: linearnost, točnost, granica određivanja, preciznost i ponovljivosti. Rezultati provedenih validacijskih mjerenja za sve parametre nalazili su se unutar unaprijed postavljenih granica pojedinog parametra. Time se pokazalo da je analitička metoda stabilitetno indikativna i prikladna za određivanje onečišćenja u eritromicinu u propisanim uvjetima. Metoda je pokazala da ispitivani uzorak eritromicina ne sadrži elementarna onečišćenja, osim vanadija u koncentraciji manjoj od specifikacije prema ICH te samog limita kvantifikacije, što znači da je uzorak u skladu s propisanim zahtjevima.

Rad je pohranjen u Središnjoj knjižnici Sveučilišta u Zagrebu Farmaceutsko-biokemijskog fakulteta.

Rad sadrži: 93 stranica, 28 grafičkih prikaza, 113 tablica i 18 literaturnih navoda. Izvornik je na hrvatskom jeziku.

Ključne riječi: Eritromicin, elementarna onečišćenja, validacija, induktivno spregnuta plazma s masenom spektrometrijom

Mentor: **Dr. sc. Biljana Nigović**, redovita profesorica Sveučilišta u Zagrebu Farmaceutsko-biokemijskog fakulteta.

Ocjenjivači: **Dr. sc. Biljana Nigović**, redovita profesorica Sveučilišta u Zagrebu Farmaceutsko-biokemijskog fakulteta.

Dr. sc. Ana Mornar Turk, izvanredna profesorica Sveučilišta u Zagrebu Farmaceutsko-biokemijskog fakulteta.

Dr. sc. Ernest Meštrović, naslovni redoviti profesor Sveučilišta u Zagrebu Prirodoslovno matematičkog fakulteta

Rad prihvaćen: rujan 2016.

Basic documentation card

University of Zagreb
Faculty of Pharmacy and Biochemistry
Study: Pharmacy
Department of Pharmaceutical Analysis
A. Kovačića 1, 10000 Zagreb, Croatia

Diploma thesis

Development and validation of analytical method for determination of elemental impurities in erythromycin

Ana Brzović

SUMMARY

Erythromycin is an antibiotic belonging to the macrolide class, structurally similar compounds which are characterized by a macrocyclic ring. It was isolated from *Streptomyces erythreus* in 1952. In this paper an effective method was developed and validated with which it is possible to determine all elementary impurities proposed by ICH Q3D guideline in erythromycin using inductively coupled plasma mass spectrometry (ICP-MS) in a single screening. Solubility testing had shown that 100 mg of erythromycin is excellently soluble in 1 mL of H₂O₂ i 1 mL of HCL. Following parameters were tested for method validation: linearity, accuracy, limit of quantification, precision and repeatability. Results of the conducted measuring for all parameters were found within boundaries set in advance for each parameter. That has shown that the analytical method is indicative of stability and appropriate for determining impurities in erythromycin within proposed conditions. Method has shown that the tested erythromycin does not contain elementary impurities except for vanadium in a concentration smaller than ICH specification and the limit of quantification meaning that the sample is in accordance with regulatory requirements.

The thesis is deposited in the Central Library of the University of Zagreb Faculty of Pharmacy and Biochemistry.

Thesis includes: 93 pages, 28 figures, 113 tables and 18 references. Original is in Croatian language.

Keywords: Erythromycin, Elementary impurities, Validation, Inductively coupled plasma mass spectrometry

Mentor: **Biljana Nigović, Ph.D.** Full Professor, University of Zagreb Faculty of Pharmacy and Biochemistry

Reviewers: **Biljana Nigović, Ph.D.** Full Professor, University of Zagreb Faculty of Pharmacy and Biochemistry
Ana Mornar Turk, Ph.D. Associate Professor, University of Zagreb Faculty of Pharmacy and Biochemistry
Ernest Meštrović, Ph.D. Adjunct Full Professor, University of Zagreb Faculty of Science

The thesis was accepted: September 2016.